



محاضرات فى  
الإلكتروستاتيكا والمغناطيسية الساكنة

إعداد  
الدكتور / نصر الدين فريد الأنصارى

كلية العلوم بقنا  
قسم الرياضيات

العام الجامعي  
2023/2022

## بيانات الكتاب

---

الكلية: التربية بالغردقة

الفرقة: الرابعة

التخصص: تعليم اساسي رياضيات

تاريخ النشر:

عدد الصفحات: 132

المؤلف: الدكتور/ نصر الدين فريد الانصارى

## الرموز المستخدمة

---

نص للقراءة والدراسة



أنشطة ومهام



أسئلة للتفكير والتقييم الذاتي



فيديو للمشاهدة

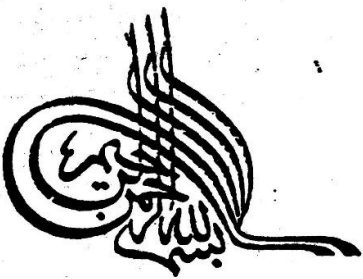


رابط خارجي



تواصل عبر مؤتمر الفيديو





قَالَ رَبُّكَ مَا سِعْيَ إِنَّكَ لَمْ تَرَكْ مَا

هَلْمَتْكَ

إِنَّكَ أَنْتَ الْمَلِيمُ الْعَلِيمُ

”صدق الله العظيم“

## **رسالة الكلية**

التميز في تعليم العلوم الأساسية والبحث العلمي للمساهمة في التنمية المستدامة.

## **رسالة الكلية**

تقديم تعليم مميز في مجالات العلوم الأساسية وإنجاح بحوث علمية تطبيقية للمساهمة في التنمية المستدامة من خلال اعداد خريجين متميزين طبقاً للمعايير الأكاديمية القومية، وتطوير مهارات وقدرات الموارد البشرية وتوفير خدمات مجتمعية وبيئية تلبى طموحات مجتمع جنوب الوادى، وبناء الشراكات المجتمعية الفاعلة.

## المحتوى

1.....	الباب الأول.....
1.....	المتجهات.....
2.....	متجه الوحدة.....
2.....	مركبات المتجه.....
3.....	ضرب القياسي لمتجهين.....
3.....	ضرب الاتجاهى لمتجهين.....
3.....	ضرب الثلاثي للمتجهات.....
4.....	تفاضل المتجهات.....
5.....	التفاضل الجزئى للمتجهات.....
8.....	المجالات القياسية والاتجاهية.....
8.....	أ- مجالات قياسية.....
8.....	ب- مجالات اتجاهية.....
9.....	الدرج أو الانحدار.....
9.....	التباعد ( الانسياب ) .....
10.....	دوران.....
10.....	أمثلة محلولة.....
14.....	تكامل المتجهات.....
14.....	التكامل الخطى.....
15.....	التكامل السطحى.....
16.....	التكامل الحجمى.....
17.....	نظريّة جاوس للانسياب.....
17.....	نظريّة ستوكس.....
17.....	نظريّة جرين في المستوى.....
17.....	نظريّات التكامل المرتبطة.....
18.....	الاحداثيات.....
18.....	تحويل الاحداثيات.....
19.....	الاحداثيات المنحنية المتعامدة.....
19.....	متجهات الوحدة.....
20.....	طول القوس و عنصر الحجم.....
21.....	الدرج والتباعد والدوران ولا بلسيان في الاحداثيات المنحنية.....
22.....	حالات خاصة.....
25.....	الباب الثاني.....
25.....	1- قانون كولوم.....
27.....	2- المجال الكهربى.....
28.....	3- الجهد الكهربى.....
30.....	نظريّة جاوس الفيض.....
32.....	معادلة بواسون.....
32.....	معادلة لا بلس.....
33.....	خطوط القوى وأنابيب القوى.....
34.....	أمثلة محلولة.....

37	الظاهرة الكهربائية لتركيبات من الشحنة
37	1- مجموعة من الشحنات على خط مستقيم
39	2- المجال الكهربى والجهد الكهربى لشحنات خطية
41	3- المزدوج الكهربى
44	تمارين
45	المواد العازلة القابلة للاستقطاب
46	متجه الاستقطاب
46	قاعدة بواسون للتوزيع المكافى
47	متجه الازاحة الكهربية
48	نتائج
50	الشروط السطحية
51	تطبيق
53	التيارات الكهربية
53	شدة التيار الكهربى
54	متجه كثافة التيار
54	معادلة الاتصال
54	تمارين
56	الباب الثالث
56	القانون العكسي لكولوم
56	الجهد المغناطيسي لمغناطيس صغير
58	المجال المغناطيسي لمغناطيس صغير
59	المواد القابلة للمقطة
59	الجهد الاتجاهى
60	أمثلة محلولة
62	الجهد لقشرة مغناطيسية منتظمة
64	أمثلة محلولة
72	الباب الرابع
72	قانون فرداي
73	تيار الازاحة – قانون أمبير الدائري
75	معادلات ماكسويل
76	الجهود الكهرومغناطيسية في معادلات ماكسويل
78	أمثلة محلولة
84	الباب الخامس
84	حركة جسم مشحون في مجال كهروستاتيكي
85	حركة جسم مشحون في مجال مغناطيسي منتظم
85	حركة جسم مشحون في مجال كهرومغناطيسي منتظم
86	الجيسيمات المشحونة Charged particles
87	أمثلة محلولة
113	تطبيقات Applications
113	أ – راسم الذبذبات Cathode ray oscilloscope
119	ب – منتقى السرعة velocity Selector
120	ج – مطياف الكتلة ( spectrograph )
121	د – السيكلotron Cyclotron
124	المراجع ..

## الصور والاشكال

1 .....	شكل 1 - 1
6 .....	شكل 1 - 2
7 .....	شكل 1 - 3
16 .....	شكل 1 - 4
19 .....	شكل 1 - 5
20 .....	شكل 1 - 6
22 .....	شكل 1 - 7
23 .....	شكل 1 - 8
25 .....	شكل 2 - 1
28 .....	شكل 2 - 2
29 .....	شكل 2 - 3
31 .....	شكل 2 - 4
33 .....	شكل 2 - 5
34 .....	شكل 2 - 6
35 .....	شكل 2 - 7
36 .....	شكل 2 - 8
37 .....	شكل 2 - 9
39 .....	شكل 2 - 10
40 .....	شكل 2 - 11
41 .....	شكل 2 - 12
43 .....	شكل 2 - 13
45 .....	شكل 2 - 14
46 .....	شكل 2 - 15
 57 .....	شكل 3 - 1
63 .....	شكل 3 - 2
65 .....	شكل 3 - 3
67 .....	شكل 3 - 4
68 .....	شكل 3 - 5
70 .....	شكل 3 - 6
 87 .....	شكل 5 - 1
88 .....	شكل 5 - 2
90 .....	شكل 5 - 3
92 .....	شكل 5 - 4
93 .....	شكل 5 - 5
95 .....	شكل 5 - 6
97 .....	شكل 5 - 7
99 .....	شكل 5 - 8
100 .....	شكل 5 - 9
102 .....	شكل 5 - 10
103 .....	شكل 5 - 11
104 .....	شكل 5 - 12

107 .....	شكل 5 - 13
109 .....	شكل 5 - 14
110 .....	شكل 5 - 15
112 .....	شكل 5 - 16
113 .....	شكل 5 - 17
114 .....	شكل 5 - 18
117 .....	شكل 5 - 19
118 .....	شكل 5 - 20
119 .....	شكل 5 - 21
120 .....	شكل 5 - 22
122 .....	شكل 5 - 23

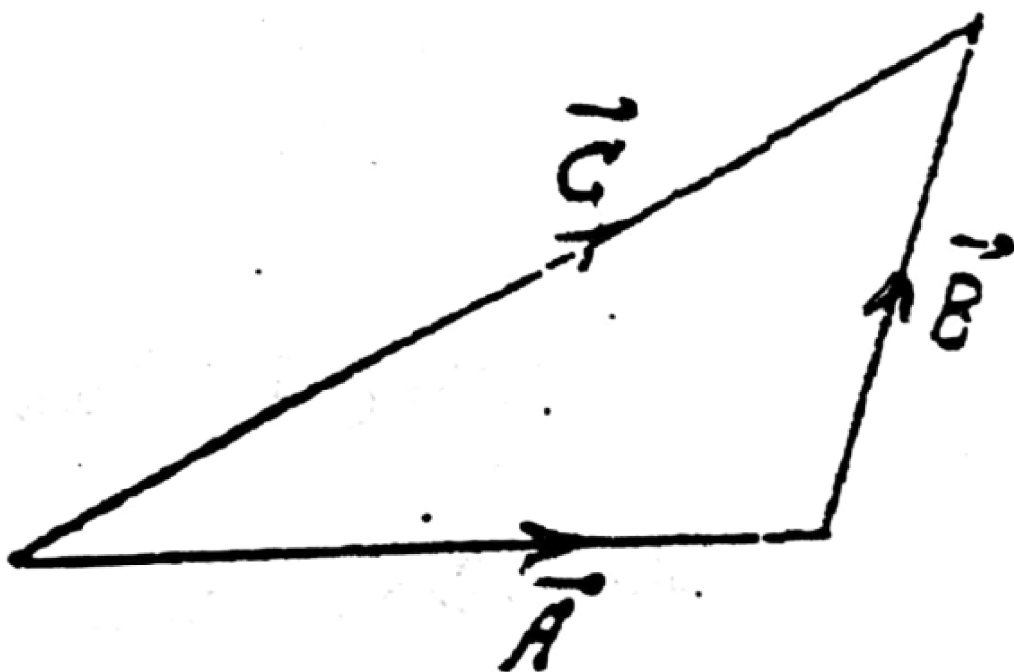
# الباب الأول

## مقدمة رياضية

المتجهات



المتجه هو كمية تتحدد بالمقدار والاتجاه مثل الازاحة والسرعة والقوة . أما الكمية القياسية فانها تتحدد بالمقدار فقط مثل الطول والزمن ودرجة الحرارة . المتجهان  $\vec{A}, \vec{B}$  يتساوليان اذا كان لهما نفس المقدار والاتجاه بغض النظر عن نقطة البداية ، وبذلك يكون  $\vec{B} = \vec{A}$  . مجموع او محصلة متجهين  $\vec{A}, \vec{B}$  هو المتجه  $\vec{C}$  اي ان  $\vec{C} = \vec{A} + \vec{B}$  ، والفرق بين المتجهين



شكل 1-1

$\vec{A} - \vec{B} = \vec{A} + (-\vec{B})$  هو عبارة عن المتجه . اذا كان  $\vec{A} = \vec{B}$  فان  $\vec{A} + (-\vec{B}) = \vec{0}$  . ويعرف  $\vec{0}$

بالمتجه الصفرى أي متجه مقداره يساوى صفر وليس له اتجاه محدد .

ضرب المتجه  $\vec{A}$  بكمية قياسية  $m$  هو المتجه  $m\vec{A}$  قيمته  $m$  مضروبة في مقدار المتجه  $\vec{A}$  وله نفس اتجاه المتجه  $\vec{A}$  أو عكس اتجاه المتجه تبعاً لقيمة الكمية  $m$  موجبة أو سالبة على الترتيب.

اذا كان  $\vec{C}, \vec{B}, \vec{A}$  ثلاثة متجهات ،  $n, m$  كميات قياسية فان:

$$\vec{A} + \vec{B} = \vec{B} + \vec{A} \quad \text{قانون التبديل للجمع :}$$

$$\vec{A} + (\vec{B} + \vec{C}) = (\vec{A} + \vec{B}) + \vec{C} \quad \text{قانون التنسيق للجمع :}$$

$$(m+n)\vec{A} = m\vec{A} + n\vec{A} \quad \text{قانون التوزيع :}$$

$$m(\vec{A} + \vec{B}) = m\vec{A} + m\vec{B} \quad \text{قانون التوزيع :}$$

### متجه الوحدة

هو متجه مقداره الوحدة , فإذا كان  $\vec{A}$  متجه غير صفرى فان  $\vec{A}/|A|$  هو متجه وحدة في اتجاه المتجه  $\vec{A}$  . ومثال على ذلك متجهات الوحدة  $\vec{i}, \vec{j}, \vec{k}$  في اتجاه المحاور الكارتيزية المتعامدة  $x, y, z$ .

### مركبات المتجه

في الفضاء الثلاثي يمكن التعبير عن أي متجه  $\vec{A}$  بنقطة بداية عند نقطة الأصل  $O$  للاحاديث المتعامدة ولتكن  $(A_1, A_2, A_3)$  الاحاديث المتعامدة لنقطة النهاية للمتجه  $\vec{A}$  . المتجهات  $A_3\vec{k}, A_2\vec{j}, A_1\vec{i}$  تسمى المركبات الاتجاهية للمتجه  $\vec{A}$  في الاتجاهات  $x, y, z$  على الترتيب . الكميات  $A_1, A_2, A_3$  تسمى المركبات القياسية أو مركبات المتجه  $\vec{A}$  في اتجاه المحاور  $x, y, z$  على الترتيب , وفي هذه الحالة فان المتجه  $\vec{A}$  يكتب في الصورة الرياضية :

$$\vec{A} = A_1\vec{i} + A_2\vec{j} + A_3\vec{k}$$

ومقدار هذا المتجه هو :

$$|\vec{A}| = |A| = \sqrt{A_1^2 + A_2^2 + A_3^2}$$

وجيوب تمام اتجاه هذا المتجه مع المحاور المتعامدة  $x, y, z$  هي :

$$\cos \theta_1 = \frac{A_1}{|A|} , \quad \cos \theta_2 = \frac{A_2}{|A|} , \quad \cos \theta_3 = \frac{A_3}{|A|}$$

على الترتيب . واضح أن :

$$\cos^2 \theta_1 + \cos^2 \theta_2 + \cos^2 \theta_3 = 1$$

**الضرب القياسي لمتجهين**

ويعرف بالصورة :

$$\vec{A} \cdot \vec{B} = AB \cos \theta$$

حيث  $\theta$  هي الزاوية بين المتجهين  $\vec{A}, \vec{B}$ . لأى ثلات متجهات  $\vec{C}, \vec{B}, \vec{A}$  تتحقق العلاقات الآتية :

$$\vec{A} \cdot \vec{B} = \vec{B} \cdot \vec{A}$$

$$\vec{A} \cdot (\vec{B} + \vec{C}) = \vec{A} \cdot \vec{B} + \vec{A} \cdot \vec{C}$$

$$\vec{A} \cdot \vec{B} = A_1 B_1 + A_2 B_2 + A_3 B_3$$

**الضرب الاتجاهى لمتجهين**

ويعرف بالصورة الرياضية :

$$\vec{C} = \vec{A} \wedge \vec{B} = AB \sin \theta \cdot \vec{e}$$

حيث  $\theta$  هي الزاوية بين المتجهين  $\vec{A}, \vec{B}$  و  $\vec{e}$  متجه وحدة في الاتجاه العمودى على المستوى الذى يجمع المتجهين  $\vec{A}, \vec{B}$  ، ولأى ثلات متجهات  $\vec{C}, \vec{B}, \vec{A}$  تتحقق العلاقات التالية :

$$\vec{A} \wedge \vec{B} = -\vec{B} \wedge \vec{A}$$

$$\vec{A} \wedge (\vec{B} + \vec{C}) = \vec{A} \wedge \vec{B} + \vec{A} \wedge \vec{C}$$

$$\vec{A} \wedge \vec{B} = \begin{vmatrix} \vec{i} & \vec{j} & \vec{k} \\ A_1 & A_2 & A_3 \\ B_1 & B_2 & B_3 \end{vmatrix}$$

**الضرب الثلاثي للمتجهات**يسمى حاصل الضرب :  $\vec{A} \cdot (\vec{B} \wedge \vec{C})$  بالضرب الثلاثي القياسي والذى يمكن وضعه

بالصورة :

$$\vec{A} \cdot (\vec{B} \wedge \vec{C}) = \begin{vmatrix} A_1 & A_2 & A_3 \\ B_1 & B_2 & B_3 \\ C_1 & C_2 & C_3 \end{vmatrix}$$

أما حاصل الضرب الثلاثي  $\vec{A} \wedge (\vec{B} \wedge \vec{C})$  فيسمى بحاصل الضرب الثلاثي الاتجاهى والذى

يمكن كتابته بالصورة :

$$\vec{A} \wedge (\vec{B} \wedge \vec{C}) = (\vec{A} \bullet \vec{C}) \vec{B} - (\vec{A} \bullet \vec{B}) \vec{C}$$

وهو متجه يقع في المستوى الذي يقع فيه المتجهان  $\vec{C}, \vec{B}$ .

### تفاضل المتجهات

نفرض أن  $\vec{A} = \vec{A}(u)$  متجه يتوقف على المتغير العددي  $u$  فيكون :

$$\frac{\Delta \vec{A}}{\Delta u} = \frac{\vec{A}(u + \Delta u) - \vec{A}(u)}{\Delta u}$$

$$\lim_{\Delta u \rightarrow 0} \frac{\Delta \vec{A}}{\Delta u} = \frac{d\vec{A}}{du}$$

ويسمى هذا المتجه مشتقة المتجه  $\vec{A}$  بالنسبة للمتغير  $u$ . وهو متجه يتوقف على  $u$ .

اذا كانت المتجهات  $\vec{C}, \vec{B}, \vec{A}$  دوال اتجاهية في المتغير  $u$  وكانت  $\Phi$  دالة قياسية قابلة

للتفاضل فان:

$$\frac{d}{du} (\vec{A} + \vec{B}) = \frac{d\vec{A}}{du} + \frac{d\vec{B}}{du} \quad (1)$$

$$\frac{d}{du} (\vec{A} \bullet \vec{B}) = \vec{A} \bullet \frac{d\vec{B}}{du} + \frac{d\vec{A}}{du} \bullet \vec{B} \quad (2)$$

$$\frac{d}{du} (\vec{A} \wedge \vec{B}) = \vec{A} \wedge \frac{d\vec{B}}{du} + \frac{d\vec{A}}{du} \wedge \vec{B} \quad (3)$$

$$\frac{d}{du} (\Phi \vec{A}) = \Phi \frac{d\vec{A}}{du} + \vec{A} \frac{d\Phi}{du} \quad (4)$$

$$\frac{d}{du} [\vec{A} \bullet (\vec{B} \wedge \vec{C})] = \vec{A} \bullet \left( \vec{B} \wedge \frac{d\vec{C}}{du} \right) + \vec{A} \bullet \left( \frac{d\vec{B}}{du} \wedge \vec{C} \right) + \frac{d\vec{A}}{du} \bullet (\vec{B} \wedge \vec{C}) \quad (5)$$

$$\frac{d}{du} [\vec{A} \wedge (\vec{B} \wedge \vec{C})] = \vec{A} \wedge \left( \vec{B} \wedge \frac{d\vec{C}}{du} \right) + \vec{A} \wedge \left( \frac{d\vec{B}}{du} \wedge \vec{C} \right) + \frac{d\vec{A}}{du} \wedge (\vec{B} \wedge \vec{C}) \quad (6)$$

الترتيب في العلاقات (3 , 5 , 6) مهم .

### التفاضل الجزئي للمتجهات

اذا كان المتجه يعتمد على أكثر من متغير قياسي ول يكن تفاضل المتجه بالنسبة للمتغير أو بالنسبة للمتغير أو بالنسبة للمتغير تعطى بالصيغة :

$$\frac{\partial \vec{A}}{\partial x} = \lim_{\Delta x \rightarrow 0} \frac{\vec{A}(x + \Delta x, y, z) - \vec{A}(x, y, z)}{\Delta x}$$

$$\frac{\partial \vec{A}}{\partial y} = \lim_{\Delta y \rightarrow 0} \frac{\vec{A}(x, y + \Delta y, z) - \vec{A}(x, y, z)}{\Delta y}$$

$$\frac{\partial \vec{A}}{\partial z} = \lim_{\Delta z \rightarrow 0} \frac{\vec{A}(x, y, z + \Delta z) - \vec{A}(x, y, z)}{\Delta z}$$

باستخدام القواعد المعروفة في التفاضل الجزئي فإنه يمكن التحقق من العلاقات الآتية :

$$\frac{\partial}{\partial x} (\vec{A} \cdot \vec{B}) = \vec{A} \cdot \frac{\partial \vec{B}}{\partial x} + \frac{\partial \vec{A}}{\partial x} \cdot \vec{B}$$

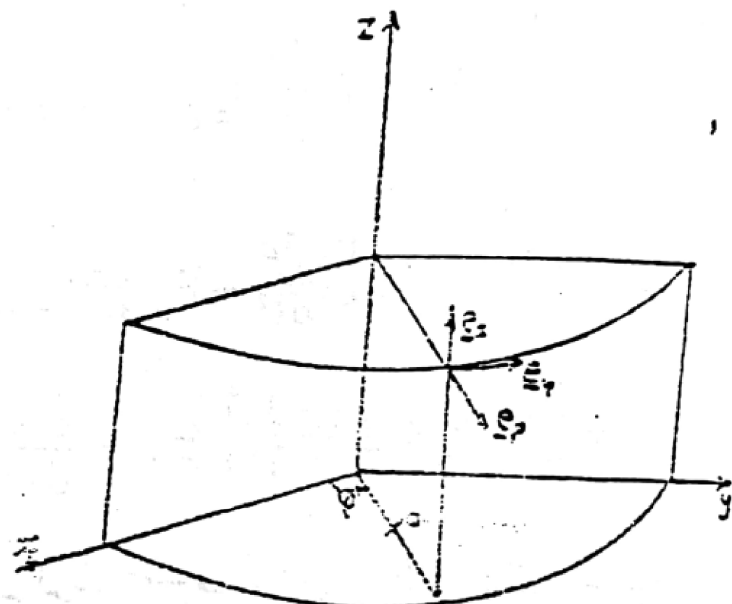
$$\frac{\partial}{\partial x} (\vec{A} \wedge \vec{B}) = \vec{A} \wedge \frac{\partial \vec{B}}{\partial x} + \frac{\partial \vec{A}}{\partial x} \wedge \vec{B}$$

$$\frac{\partial^2}{\partial y \partial x} (\vec{A} \cdot \vec{B}) = \frac{\partial}{\partial y} \left( \vec{A} \cdot \frac{\partial \vec{B}}{\partial x} + \frac{\partial \vec{A}}{\partial x} \cdot \vec{B} \right)$$

$$= \vec{A} \cdot \frac{\partial^2 \vec{B}}{\partial y \partial x} + \frac{\partial \vec{A}}{\partial y} \cdot \frac{\partial \vec{B}}{\partial x} + \frac{\partial \vec{A}}{\partial x} \cdot \frac{\partial \vec{B}}{\partial y} + \frac{\partial^2 \vec{A}}{\partial y \partial x} \cdot \vec{B}$$

الخ ..... .

نفرض أن الاحداثيات الاسطوانية لجسم متحرك ( كما هو موضح بالشكل ) هي :  
عند اللحظة الزمنية  $t$  . يمكن اثبات أن :



شكل 2-1

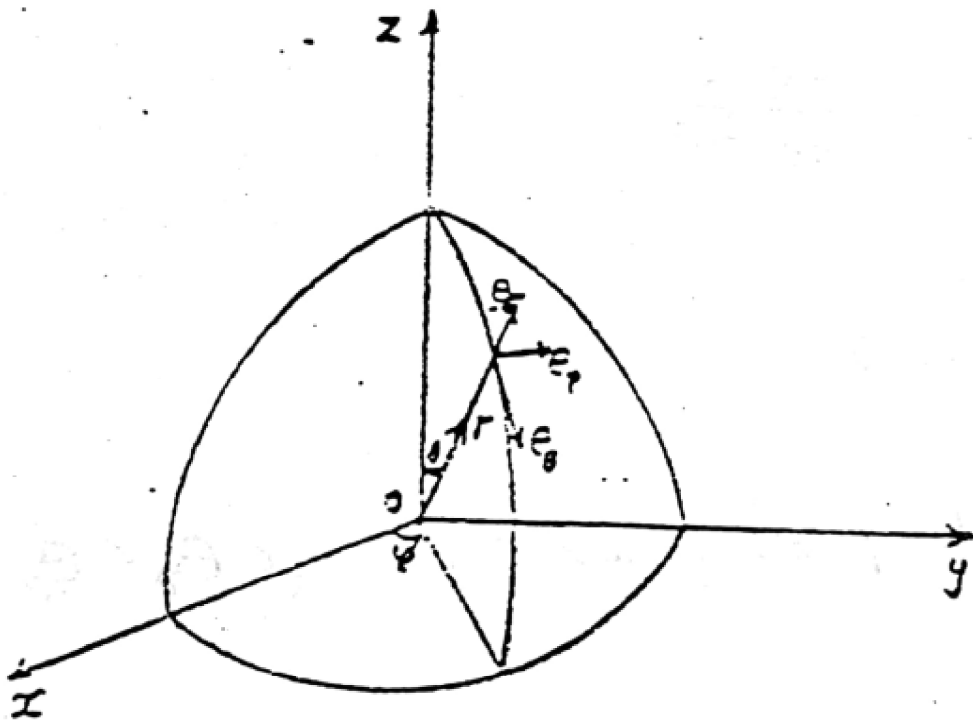
$$\frac{d\vec{e}_\rho}{dt} = \frac{d\phi}{dt} \vec{e}_\theta, \quad \frac{d\vec{e}_\theta}{dt} = -\frac{d\phi}{dt} \vec{e}_\rho, \quad \frac{d\vec{e}_z}{dt} = \vec{0}$$

حيث  $\vec{e}_\rho, \vec{e}_\theta, \vec{e}_z$  هي متجهات الوحدة في اتجاه  $z, \phi, \rho$  على الترتيب . باستخدام العلاقات السابقة فان متجهي السرعة والعجلة لجسيم يتحرك في الاحاديثيات الاسطوانية يمكن ايجادها على الصورة :

$$\vec{v} = \frac{d\rho}{dt} \vec{e}_\rho + \rho \frac{d\phi}{dt} \vec{e}_\theta + \frac{dz}{dt} \vec{e}_z$$

$$\vec{f} = \frac{d\vec{v}}{dt} = \left[ \frac{d^2\rho}{dt^2} - \rho \left( \frac{d\phi}{dt} \right)^2 \right] \vec{e}_\rho + \left[ \rho \frac{d^2\phi}{dt^2} + 2 \frac{d\rho}{dt} \frac{d\phi}{dt} \right] \vec{e}_\theta + \frac{d^2z}{dt^2} \vec{e}_z$$

اذا كانت  $(r, \theta, \phi)$  هي الاحاديثيات القطبية الكروية لجسيم عند اللحظة الزمنية  $t$  كما هو موضح بالشكل . فإنه يمكن اثبات أن :



شكل 3-1

$$\frac{d\vec{e}_r}{dt} = \frac{d\theta}{dt}\vec{e}_\theta + \frac{d\phi}{dt}\sin\theta \cdot \vec{e}_\phi$$

$$\frac{d\vec{e}_\theta}{dt} = -\frac{d\theta}{dt}\vec{e}_r + \frac{d\phi}{dt}\cos\theta \cdot \vec{e}_\phi$$

$$\frac{d\vec{e}_\phi}{dt} = -\frac{d\phi}{dt}\cos\theta \cdot \vec{e}_\theta - \frac{d\phi}{dt}\sin\theta \cdot \vec{e}_r$$

حيث  $\vec{e}_\phi, \vec{e}_\theta, \vec{e}_r$  هي متجهات الوحدة في اتجاه  $\phi, \theta, r$  على الترتيب . وبذلك فإنه يمكن

إيجاد متجهى السرعة والعجلة لجسم يتحرك في الاحاديثيات القطبية الكروية على الصورة :

$$\vec{v} = \frac{dr}{dt}\vec{e}_r + r \frac{d\theta}{dt}\vec{e}_\theta + r \frac{d\phi}{dt}\sin\theta \cdot \vec{e}_\phi$$

$$\vec{f} = \left[ \frac{d^2 r}{dt^2} - r \left( \frac{d\theta}{dt} \right)^2 - r \left( \frac{d\phi}{dt} \right)^2 \sin^2 \theta \right] \vec{e}_r + \left[ 2 \frac{dr}{dt} \frac{d\theta}{dt} + r \frac{d^2 \theta}{dt^2} r \left( \frac{d\phi}{dt} \right)^2 \sin \theta \cos \theta \right] \vec{e}_\theta + \left[ 2 \frac{dr}{dt} \frac{d\phi}{dt} \sin \theta + r \frac{d^2 \phi}{dt^2} \sin \theta + 2r \frac{d\theta}{dt} \frac{d\phi}{dt} \cos \theta \right] \vec{e}_\phi$$

### المجالات القياسية والاتجاهية

يمكن التعبير عن الكمية الفيزيائية بدالة نقطية متصلة في منطقة ما في الفضاء ، ومثل هذه الدالة تسمى point function المنطقه التي تحدد فيها الكمية القياسية فتعرف بالمجال . وتنقسم هذه المجالات الى نوعين اساسيين هما :

#### أ-مجالات قياسية

ومن أمثلتها مجال توزيع درجة الحرارة ، ومجال توزيع الكثافة ، ومجال توزيع الجهد الكهربى .....الخ . وأى من هذه المجالات يمكن تمثيله بدالة قياسية متصلة تعطى المقدار للكمية المعرفة عند كل نقطة . مثل هذه الدالة لا تمر بأى تغيرات فجائية في قيمتها عند انتقالها من نقطة الى أخرى مجاورة لها . كما أن مثل هذا المجال يمكن تخطيشه بيانيا بواسطة مجموعة من السطوح مثل سطوح التساوى الحرارى isothermal surfaces, وسطح تساوى الكثافة Equi-density surfaces، وسطح تساوى الجهد Equi-potential surfaces .....الخ . والتي عندها يتحدد المجال بقيمة ثابتة ، وتختر هذه السطوح بحيث أنه عند الانتقال من سطح الى آخر نحصل على فرق اختيارى يميز ذلك المجال . كما أن هذه السطوح لا يمكن أن تتقاطع ولكنها تقع متتالية ، وأن الدوال القياسية النقطية الممثلة لها تكون وحيدة القيمة عند كل نقطة .

#### ب-مجالات اتجاهية

ومن أمثلتها مجالات توزيع السرعات في المواقع ، شدة المجال الكهربى والمغناطيسى ...الخ . وتمثل عند أي نقطة دالة اتجاهية متصلة ، وتتحدد هذه الدالة عند أي نقطة بواسطة متجه له قيمة قياسية واتجاه محددان . المقدار والاتجاه يتغيران باستمرار من نقطة الى أخرى في منطقة المجال ، وتمثل هذه الدالة الاتجاهية بواسطة منحنى يسمى خط الفيصل أو خط الانسياب أو خط المتجه vector line , line of flux or flux line . حيث يكون اتجاه الكمية المتجهة عند

أى نقطة على المنحنى هو اتجاه المماس للمنحنى عند هذه النقطة . وتحديد مقدار المتجه عند هذه النقطة على المنحنى نرسم سطحاً صغيراً جداً وعمودياً على المنحنى عند هذه النقطة فيكون عدد النقط في وحدة المساحات من هذا السطح مساوياً لمقدار المتجه ( القيمة القياسية للمتجه ) عددياً . وفي الواقع فإنه عند كل نقطة من هذه النقط يمر خط من خطوط الفيصل ، وبالتالي فإن المجال يمكن تخطيشه إذا رسمنا عبر كل نقطة من هذه النقط خط للفيصل . ومعنى ذلك أن اتجاه هذه الخطوط ( اتجاه المماسات لهذه الخطوط ) هو نفسه اتجاه الدالة الاتجاهية ، وكثافة هذه الخطوط ( عدد الخطوط التي تعبر وحدة المساحات العمودية عليها ) تساوى مقدار الدالة الاتجاهية . وكذلك فإن خطوط الفيصل لا يمكن أن تقاطع عند أي نقطة ، وذلك لأن تقاطع الخطوط يعني أنه عند نقطة التقاطع يكون اتجاه الدالة الاتجاهية غير محدد ، وهذا يخالف مضمون الكميه الاتجاهية . كما أن الدالة النقطية للمتجه يجب أن تكون وحيدة القيمة .

### الدرج أو الانحدار

نفرض أن  $(x, y, z) \Phi$  دالة قياسية معرفة وقابلة للتفاضل عند كل نقطة  $(x, y, z)$  في فضاء معين ( أي أن  $\Phi$  مجال قياسي ) . تدرج أو ميل أو انحدار الدالة  $\Phi$  يعرف رياضياً بالصورة :

$$\nabla \Phi = \text{grad } \Phi = \left( \frac{\partial}{\partial x} \vec{i} + \frac{\partial}{\partial y} \vec{j} + \frac{\partial}{\partial z} \vec{k} \right) \Phi = \frac{\partial \Phi}{\partial x} \vec{i} + \frac{\partial \Phi}{\partial y} \vec{j} + \frac{\partial \Phi}{\partial z} \vec{k}$$

يلاحظ أن  $\nabla \Phi$  عبارة عن دالة اتجاهية ( مجال اتجاهي ) .

### التباعد ( الانسياب )

نفرض أن المتجه  $\vec{A} = A_1 \vec{i} + A_2 \vec{j} + A_3 \vec{k}$  معرف وقابل للتفاضل عند كل نقطة  $(x, y, z)$  في فضاء معين ( أي أن  $\vec{A}$  يمثل مجال اتجاهي ) . فإن تبعد أو انسياب المجال  $\vec{A}$  يعرف بالصورة الرياضية :

$$\nabla \cdot \vec{A} = \text{div} \vec{A} = \left( \frac{\partial}{\partial x} \vec{i} + \frac{\partial}{\partial y} \vec{j} + \frac{\partial}{\partial z} \vec{k} \right) \cdot (A_1 \vec{i} + A_2 \vec{j} + A_3 \vec{k})$$

$$= \frac{\partial A_1}{\partial x} + \frac{\partial A_2}{\partial y} + \frac{\partial A_3}{\partial z}$$

## الدوران

إذا كان  $\vec{A}(x, y, z)$  مجال اتجاهي قابل للتفاضل عند كل نقطة  $(x, y, z)$  في فضاء معين . فان دوران المتجه يكتب بالصورة :  $\nabla \wedge \vec{A}$  ،  $\text{curl} \vec{A}$  or  $\text{rot} \vec{A}$ .

$$\begin{aligned}\nabla \wedge \vec{A} = \text{curl} \vec{A} = \text{rot} \vec{A} &= \left( \frac{\partial}{\partial x} \vec{i} + \frac{\partial}{\partial y} \vec{j} + \frac{\partial}{\partial z} \vec{k} \right) \wedge (A_1 \vec{i} + A_2 \vec{j} + A_3 \vec{k}) \\ &= \begin{vmatrix} \vec{i} & \vec{j} & \vec{k} \\ \frac{\partial}{\partial x} & \frac{\partial}{\partial y} & \frac{\partial}{\partial z} \\ A_1 & A_2 & A_3 \end{vmatrix}\end{aligned}$$

هنا يجب ملاحظة أنه عند فك المحدد (متجه في صورة محدد) فان المؤثرات التفاضلية :

$$A_1, A_2, A_3 \quad \text{لابد أن تسبق المركبات} \quad \frac{\partial}{\partial x}, \frac{\partial}{\partial y}, \frac{\partial}{\partial z}$$



أمثلة محلولة

مثال :

أثبتت أن  $\nabla(FG) = F\nabla G + G\nabla F$  هي دوال قياسية قابلة للتفاضل عند أي

نقطة  $(x, y, z)$  .

الحل :

$$\begin{aligned}\nabla(FG) &= \left( \frac{\partial}{\partial x} \vec{i} + \frac{\partial}{\partial y} \vec{j} + \frac{\partial}{\partial z} \vec{k} \right) (FG) \\ &= \frac{\partial}{\partial x} (FG) \vec{i} + \frac{\partial}{\partial y} (FG) \vec{j} + \frac{\partial}{\partial z} (FG) \vec{k} \\ &= \left( F \frac{\partial G}{\partial x} + G \frac{\partial F}{\partial x} \right) \vec{i} + \left( F \frac{\partial G}{\partial y} + G \frac{\partial F}{\partial y} \right) \vec{j} + \left( F \frac{\partial G}{\partial z} + G \frac{\partial F}{\partial z} \right) \vec{k} \\ &= F \left( \frac{\partial G}{\partial x} \vec{i} + \frac{\partial G}{\partial y} \vec{j} + \frac{\partial G}{\partial z} \vec{k} \right) + G \left( \frac{\partial F}{\partial x} \vec{i} + \frac{\partial F}{\partial y} \vec{j} + \frac{\partial F}{\partial z} \vec{k} \right)\end{aligned}$$

$$= F \nabla G + G \nabla F$$

$$\nabla \cdot (\nabla \Phi) = \frac{\partial^2 \Phi}{\partial x^2} + \frac{\partial^2 \Phi}{\partial y^2} + \frac{\partial^2 \Phi}{\partial z^2} = \nabla^2 \Phi$$

**الحل :**

$$\begin{aligned} \nabla \cdot (\nabla \Phi) &= \left( \frac{\partial}{\partial x} \vec{i} + \frac{\partial}{\partial y} \vec{j} + \frac{\partial}{\partial z} \vec{k} \right) \cdot \left( \frac{\partial \Phi}{\partial x} \vec{i} + \frac{\partial \Phi}{\partial y} \vec{j} + \frac{\partial \Phi}{\partial z} \vec{k} \right) \\ &= \frac{\partial}{\partial x} \frac{\partial \Phi}{\partial x} + \frac{\partial}{\partial y} \frac{\partial \Phi}{\partial y} + \frac{\partial}{\partial z} \frac{\partial \Phi}{\partial z} = \nabla^2 \Phi \end{aligned}$$

$$\text{مثال : أثبت أن } \nabla \cdot (\Phi \vec{A}) = (\nabla \Phi) \cdot \vec{A} + \Phi (\nabla \cdot \vec{A})$$

**الحل :**

$$\begin{aligned} \nabla \cdot (\Phi \vec{A}) &= \nabla \cdot (\Phi A_1 \vec{i} + \Phi A_2 \vec{j} + \Phi A_3 \vec{k}) \\ &= \frac{\partial}{\partial x} (\Phi A_1) + \frac{\partial}{\partial y} (\Phi A_2) + \frac{\partial}{\partial z} (\Phi A_3) \\ &= \frac{\partial \Phi}{\partial x} A_1 + \Phi \frac{\partial A_1}{\partial x} + \frac{\partial \Phi}{\partial y} A_2 + \Phi \frac{\partial A_2}{\partial y} + \frac{\partial \Phi}{\partial z} A_3 + \Phi \frac{\partial A_3}{\partial z} \\ &= \frac{\partial \Phi}{\partial x} A_1 + \frac{\partial \Phi}{\partial y} A_2 + \frac{\partial \Phi}{\partial z} A_3 + \Phi \left( \frac{\partial A_1}{\partial x} + \frac{\partial A_2}{\partial y} + \frac{\partial A_3}{\partial z} \right) \\ &= (\nabla \Phi) \cdot \vec{A} + \Phi (\nabla \cdot \vec{A}) \end{aligned}$$

$$\text{مثال : أثبت أن } \nabla \cdot (U \nabla V - V \nabla U) = U \nabla^2 V - V \nabla^2 U$$

**الحل :** بوضع  $\Phi = U$ ,  $\vec{A} = \nabla V$  فإن :

$$\nabla \cdot (U \nabla V) = \nabla U \cdot \nabla V + U (\nabla \cdot \nabla V) = \nabla U \cdot \nabla V + U \nabla^2 V$$

بتبادل  $V, U$  ينتج أن :

$$\nabla \cdot (V \nabla U) = \nabla V \cdot \nabla U + V \nabla^2 U$$

ثم بالطرح نجد أن :

$$\nabla \bullet (U \nabla V - V \nabla U) = U \nabla^2 V - V \nabla^2 U$$

**مثال :** اثبت أن :  $\nabla \wedge (\Phi \vec{A}) = (\nabla \Phi) \wedge \vec{A} + \Phi (\nabla \wedge \vec{A})$

**الحل :**

$$\nabla \wedge (\Phi \vec{A}) = \nabla \wedge (\Phi A_1 \vec{i} + \Phi A_2 \vec{j} + \Phi A_3 \vec{k})$$

$$= \begin{vmatrix} \vec{i} & \vec{j} & \vec{k} \\ \frac{\partial}{\partial x} & \frac{\partial}{\partial y} & \frac{\partial}{\partial z} \\ \Phi A_1 & \Phi A_2 & \Phi A_3 \end{vmatrix}$$

$$= \left[ \frac{\partial}{\partial y}(\Phi A_3) - \frac{\partial}{\partial z}(\Phi A_2) \right] \vec{i} + \left[ \frac{\partial}{\partial z}(\Phi A_1) - \frac{\partial}{\partial x}(\Phi A_3) \right] \vec{j} + \left[ \frac{\partial}{\partial x}(\Phi A_2) - \frac{\partial}{\partial y}(\Phi A_1) \right] \vec{k}$$

$$= \left[ \Phi \frac{\partial A_3}{\partial y} + \frac{\partial \Phi}{\partial y} A_3 - \Phi \frac{\partial A_2}{\partial z} - \frac{\partial \Phi}{\partial z} A_2 \right] \vec{i}$$

$$+ \left[ \Phi \frac{\partial A_1}{\partial z} + \frac{\partial \Phi}{\partial z} A_1 - \Phi \frac{\partial A_3}{\partial x} - \frac{\partial \Phi}{\partial x} A_3 \right] \vec{j}$$

$$+ \left[ \Phi \frac{\partial A_2}{\partial x} + \frac{\partial \Phi}{\partial x} A_2 - \Phi \frac{\partial A_1}{\partial y} - \frac{\partial \Phi}{\partial y} A_1 \right] \vec{k}$$

$$= \Phi \left[ \left( \frac{\partial A_3}{\partial y} - \frac{\partial A_2}{\partial z} \right) \vec{i} + \left( \frac{\partial A_1}{\partial z} - \frac{\partial A_3}{\partial x} \right) \vec{j} + \left( \frac{\partial A_2}{\partial x} - \frac{\partial A_1}{\partial y} \right) \vec{k} \right]$$

$$+ \left( \frac{\partial \Phi}{\partial y} A_3 - \frac{\partial \Phi}{\partial z} A_2 \right) \vec{i} + \left( \frac{\partial \Phi}{\partial z} A_1 - \frac{\partial \Phi}{\partial x} A_3 \right) \vec{j} + \left( \frac{\partial \Phi}{\partial x} A_2 - \frac{\partial \Phi}{\partial y} A_1 \right) \vec{k}$$

$$= \Phi (\nabla \wedge \vec{A}) + \begin{vmatrix} \vec{i} & \vec{j} & \vec{k} \\ \frac{\partial \Phi}{\partial x} & \frac{\partial \Phi}{\partial y} & \frac{\partial \Phi}{\partial z} \\ A_1 & A_2 & A_3 \end{vmatrix} = \Phi (\nabla \wedge \vec{A}) + (\nabla \Phi) \wedge \vec{A}$$

**مثال :** أثبت أن  $\nabla \wedge (\nabla \Phi) = \vec{0}$

**الحل :**

$$\nabla \wedge (\nabla \Phi) = \begin{vmatrix} \vec{i} & \vec{j} & \vec{k} \\ \frac{\partial}{\partial x} & \frac{\partial}{\partial y} & \frac{\partial}{\partial z} \\ \frac{\partial \Phi}{\partial x} & \frac{\partial \Phi}{\partial y} & \frac{\partial \Phi}{\partial z} \end{vmatrix}$$

$$= \left( \frac{\partial^2 \Phi}{\partial y \partial z} - \frac{\partial^2 \Phi}{\partial z \partial y} \right) \vec{i} + \left( \frac{\partial^2 \Phi}{\partial z \partial x} - \frac{\partial^2 \Phi}{\partial x \partial z} \right) \vec{j} + \left( \frac{\partial^2 \Phi}{\partial x \partial y} - \frac{\partial^2 \Phi}{\partial y \partial x} \right) \vec{k} = \vec{0}$$

**مثال :** أثبت أن  $\nabla \cdot (\nabla \wedge \vec{A}) = 0$

**الحل :**

$$\begin{aligned} \nabla \cdot (\nabla \wedge \vec{A}) &= \nabla \cdot \left[ \left( \frac{\partial A_3}{\partial y} - \frac{\partial A_2}{\partial z} \right) \vec{i} + \left( \frac{\partial A_1}{\partial z} - \frac{\partial A_3}{\partial x} \right) \vec{j} + \left( \frac{\partial A_2}{\partial x} - \frac{\partial A_1}{\partial y} \right) \vec{k} \right] \\ &= \frac{\partial}{\partial x} \left( \frac{\partial A_3}{\partial y} - \frac{\partial A_2}{\partial z} \right) + \frac{\partial}{\partial y} \left( \frac{\partial A_1}{\partial z} - \frac{\partial A_3}{\partial x} \right) + \frac{\partial}{\partial z} \left( \frac{\partial A_2}{\partial x} - \frac{\partial A_1}{\partial y} \right) = 0 \end{aligned}$$

**مثال :** أثبت أن  $\nabla \wedge (\nabla \wedge \vec{A}) = -\nabla^2 \vec{A} + \nabla (\nabla \cdot \vec{A})$

**الحل :**

$$\nabla \wedge (\nabla \wedge \vec{A}) = \nabla \wedge \left[ \left( \frac{\partial A_3}{\partial y} - \frac{\partial A_2}{\partial z} \right) \vec{i} + \left( \frac{\partial A_1}{\partial z} - \frac{\partial A_3}{\partial x} \right) \vec{j} + \left( \frac{\partial A_2}{\partial x} - \frac{\partial A_1}{\partial y} \right) \vec{k} \right]$$

$$= \begin{vmatrix} \vec{i} & \vec{j} & \vec{k} \\ \frac{\partial}{\partial x} & \frac{\partial}{\partial y} & \frac{\partial}{\partial z} \\ \frac{\partial A_3}{\partial y} - \frac{\partial A_2}{\partial z} & \frac{\partial A_1}{\partial z} - \frac{\partial A_3}{\partial x} & \frac{\partial A_2}{\partial x} - \frac{\partial A_1}{\partial y} \end{vmatrix}$$

$$\begin{aligned}
&= \left[ \frac{\partial}{\partial y} \left( \frac{\partial A_2}{\partial x} - \frac{\partial A_1}{\partial y} \right) - \frac{\partial}{\partial z} \left( \frac{\partial A_1}{\partial z} - \frac{\partial A_3}{\partial x} \right) \right] \vec{i} \\
&\quad + \left[ \frac{\partial}{\partial z} \left( \frac{\partial A_3}{\partial y} - \frac{\partial A_2}{\partial z} \right) - \frac{\partial}{\partial x} \left( \frac{\partial A_2}{\partial x} - \frac{\partial A_1}{\partial y} \right) \right] \vec{j} \\
&\quad + \left[ \frac{\partial}{\partial x} \left( \frac{\partial A_1}{\partial z} - \frac{\partial A_3}{\partial x} \right) - \frac{\partial}{\partial y} \left( \frac{\partial A_3}{\partial y} - \frac{\partial A_2}{\partial z} \right) \right] \vec{k} \\
&= - \left( \frac{\partial^2}{\partial x^2} + \frac{\partial^2}{\partial y^2} + \frac{\partial^2}{\partial z^2} \right) A_1 \vec{i} - \left( \frac{\partial^2}{\partial x^2} + \frac{\partial^2}{\partial y^2} + \frac{\partial^2}{\partial z^2} \right) A_2 \vec{j} - \left( \frac{\partial^2}{\partial x^2} + \frac{\partial^2}{\partial y^2} + \frac{\partial^2}{\partial z^2} \right) A_3 \vec{k} \\
&\quad + \left( \frac{\partial^2 A_1}{\partial x^2} + \frac{\partial^2 A_2}{\partial y \partial x} + \frac{\partial^2 A_3}{\partial z \partial x} \right) \vec{i} + \left( \frac{\partial^2 A_1}{\partial x \partial y} + \frac{\partial^2 A_2}{\partial y^2} + \frac{\partial^2 A_3}{\partial z \partial y} \right) \vec{j} + \left( \frac{\partial^2 A_1}{\partial x \partial z} + \frac{\partial^2 A_2}{\partial y \partial z} + \frac{\partial^2 A_3}{\partial z^2} \right) \vec{k} \\
&= - \left( \frac{\partial^2}{\partial x^2} + \frac{\partial^2}{\partial y^2} + \frac{\partial^2}{\partial z^2} \right) \cdot (A_1 \vec{i} + A_2 \vec{j} + A_3 \vec{k}) + \left( \frac{\partial}{\partial x} \vec{i} + \frac{\partial}{\partial y} \vec{j} + \frac{\partial}{\partial z} \vec{k} \right) \cdot \left( \frac{\partial A_1}{\partial x} + \frac{\partial A_2}{\partial y} + \frac{\partial A_3}{\partial z} \right) \\
&= -\nabla^2 \vec{A} + \nabla (\nabla \cdot \vec{A})
\end{aligned}$$

### تكامل المتجهات

نفرض أن المتجه  $\vec{A}$  يعتمد على التغير  $u$  أي

$$\vec{A} = \vec{A}(u) = A_1(u) \vec{i} + A_2(u) \vec{j} + A_3(u) \vec{k}$$

حيث  $A_1, A_2, A_3$  دوال متصلة في منطقة فضائية معينة. التكامل المحدود للمتجه  $\vec{A}$  بين

ال نهايات يمكن وضعه في الصورة :

$$\int_a^b \vec{A} du = \vec{i} \int_a^b A_1 du + \vec{j} \int_a^b A_2 du + \vec{k} \int_a^b A_3 du$$

وكما هو معروف فإن هذا التكمل يمكن اعتباره كنهاية لمجموع .

### التكامل الخطى

نفرض أن  $\vec{r} = xi \vec{i} + yj \vec{j} + zk \vec{k}$  متجه موضع نقطة موجودة على المنحنى  $c$  الواصل بين نقطتين  $p_2, p_1$  ونفرض أن  $\vec{A} = A_1 \vec{i} + A_2 \vec{j} + A_3 \vec{k}$  دالة في الموضع ومتصلة على

المنحنى  $c$ . حينئذ يكون التكامل للمركبة المماسية للمتجه  $\vec{A}$  على طول المنحنى  $c$  من النقطة  $p_1$  الى النقطة  $p_2$  في الصورة :

$$\int_{p_1}^{p_2} \vec{A} \cdot d\vec{r} = \int_c (A_1 dx + A_2 dy + A_3 dz)$$

ويعرف هذا التكامل بالتكامل الخطى للمتجه  $\vec{A}$ . اذا كان  $\vec{F} = \vec{A}$  حيث  $\vec{F}$  هي القوة المؤثرة على جسم يتحرك على المنحنى  $c$  المغلق والبسيط (أي لا يقطع نفسه في أي مكان) فان التكامل الخطى يأخذ الصورة :

$$\oint_c \vec{F} \cdot d\vec{r} = \oint_c (A_1 dx + A_2 dy + A_3 dz)$$

وهذا التكامل يمثل الشغل المبذول ضد القوة . في ميكانيكا المواقع وديناميكا الطيران التكامل الخطى يمثل دوران المتجه  $\vec{A}$  على المنحنى  $c$  حيث  $\vec{A}$  يمثل سرعة المائع .

**نظريه :**

اذا كان  $\vec{A} = \nabla \Phi$  في منطقة فضائية  $R$  حيث  $\Phi = \Phi(x, y, z)$  دالة قياسية تفاضلية ووحيدة القيمة ومتصلة في هذه المنطقة الفضائية فان :

$$\int_{p_1}^{p_2} \vec{A} \cdot d\vec{r} \quad (1)$$

ب )  $\oint_c \vec{A} \cdot d\vec{r} = 0$  حول أي منحنى مغلق في المنطقة الفضائية  $R$  .

### التكامل السطحي

باعتبار أن  $S$  سطح له جانبان كما هو موضح بالشكل ، ونختار متجه الوحدة  $\vec{n}$  العمودي على أحد جانبي السطح  $S$  ( الجانب الموجب للسطح ). المتجه  $d\vec{S}$  ( عنصر سطحي ) يمكن كتابته بالصورة :

$$d\vec{S} = \vec{n} dS$$

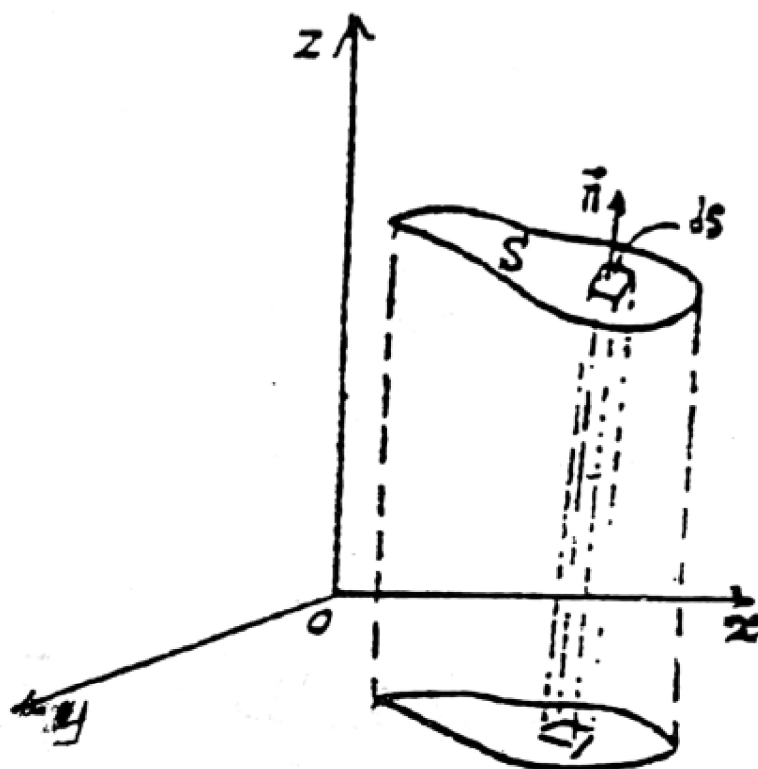
التكامل :

$$\iint \vec{A} \cdot d\vec{S} = \iint \vec{A} \cdot \vec{n} dS$$

يسماى بالتكامل السطحي ( انسياپ او تدفق المتجه  $\vec{A}$  ) للمتجه  $\vec{A}$  فوق السطح  $S$  .  
تكاملات سطحية أخرى في الصور :

$$\iint \Phi d\vec{S} = \iint \Phi \vec{n} dS , \quad \iint \vec{A} \wedge d\vec{S}$$

حيث دالة قياسية . الرمز  $\oint$  أو الرمز  $\oint$  يستخدم ليبين أن التكامل مأخوذ على السطح المغلق  $S$  أو المنحنى المغلق  $C$  على الترتيب .



شكل 1 - 4

### التكامل الحجمي

نفرض أن السطح المغلق  $S$  يحتوى على الحجم  $V$  ( يحيط بالحجم ) . التكاملات :

$$\iiint_V \vec{A} d\tau , \quad \iiint_V \Phi d\tau$$

تمثل تكاملات حجمية أو تكاملات في الفضاء .  $d\tau$  تمثل عنصر حجمي .

**نظريّة جاوس للانسياب**

وتنص على أنه اذا كان  $V$  هو الحجم المحدد بالسطح  $S$  والمتّجه  $\vec{A}$  دالة في الموضع وتفاضلية ومتعلقة فان :

$$\iiint_V (\nabla \cdot \vec{A}) d\tau = \oint_S \vec{A} \cdot \vec{n} dS$$

حيث  $\vec{n}$  هو متّجه وحدة عمودي (للخارج) على السطح  $S$  و  $d\tau$  عنصر الحجم .

**نظريّة ستوكس**

تنص على أنه اذا كان  $S$  سطحاً مفتوحاً ومحدوداً بالمنحنى  $c$  (حيث  $c$  منحنى بسيط) وكان المتّجه  $\vec{A}$  متّجه تفاضلي متصل فان :

$$\oint_c \vec{A} \cdot d\vec{r} = \iint_S (\nabla \wedge \vec{A}) \cdot d\vec{S} = \iint_S (\nabla \wedge \vec{A}) \cdot \vec{n} dS$$

**نظريّة جرين في المستوى**

اذا كانت  $R$  منطقة مغلقة في المستوى  $xy$  ومحددة بمنحنى بسيط مغلق  $c$  وكانت الدالتان متصلتين ولهمما مشتقات متصلة فان :

$$\oint_c (M dx + N dy) = \iint_R \left( \frac{\partial N}{\partial x} - \frac{\partial M}{\partial y} \right) dx dy$$

**نظريات التكامل المرتبطة**

(1)

$$\iiint_V (\Phi \nabla^2 \psi + \nabla \Phi \cdot \nabla \psi) d\tau = \iint_S (\Phi \nabla \psi) \cdot d\vec{S}$$

تسمى نظرية جرين أو متطابقة جرين الأولى .

(2)

$$\iiint_V (\Phi \nabla^2 \psi - \psi \nabla^2 \Phi) d\tau = \iint_S (\Phi \nabla \psi - \psi \nabla \Phi) \cdot d\vec{S}$$

تسمى متطابقة جرين الثانية أو نظرية جرين المتماثلة .

(3)

$$\iiint_V (\nabla \wedge \vec{A}) d\tau = \iint_S (\vec{n} \wedge \vec{A}) dS = \iint_S d\vec{S} \wedge \vec{A}$$

(4)

$$\oint_c \Phi d\vec{r} = \iint_S (\vec{n} \wedge \nabla \Phi) dS = \iint_S d\vec{S} \wedge \nabla \Phi$$

(5)

نفرض أن  $\psi$  تمثل اما دالة اتجاهية أو دالة قياسية تبعا للرمز \* الذي بين ضرب قياسي أو ضرب اتجاهي أو ضرب عادي اذن :

$$\iiint_V (\nabla * \psi) d\tau = \iint_S (\vec{n} * \psi) dS = \iint_S d\vec{S} * \psi$$

$$\oint_c d\vec{r} * \psi = \iint_S (\vec{n} \wedge \nabla) * \psi dS = \iint_S (d\vec{S} \wedge \nabla) * \psi$$

واضح أن نظرية جاووس للانسياب ونظرية ستوكس والنتيجتين (4), (3) هي حالات خاصة من هذه النظرية .

## الاحداثيات

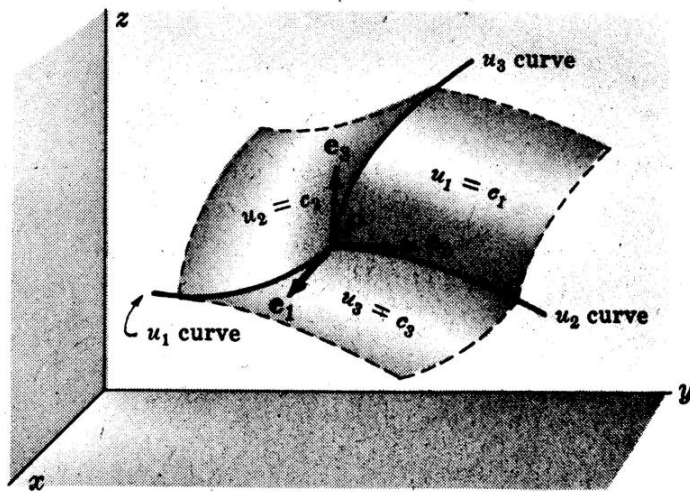
### تحويل الاحداثيات

نفرض أنه يمكن وضع الاحداثيات الكارتيزية لنقطة مادية  $(x, y, z)$  في الصورة :

$$\begin{aligned} x &= x(u_1, u_2, u_3) \\ y &= y(u_1, u_2, u_3) \\ z &= z(u_1, u_2, u_3) \end{aligned} \quad (1)$$

بحل هذه المعادلات أي إيجاد  $u_3, u_2, u_1$  بدلالة  $x, y, z$  فإنه يمكن الحصول على :

$$\begin{aligned} u_1 &= u_1(x, y, z) \\ u_2 &= u_2(x, y, z) \\ u_3 &= u_3(x, y, z) \end{aligned} \quad (2)$$



شكل 5 - 1

واضح أنه أمكن تعين النقطة  $p$  بواسطة الأحداثيات المتعامدة  $(x, y, z)$  أو بواسطة الأحداثيات  $(u_1, u_2, u_3)$  والتي تسمى بالأحداثيات المنحنية . مجموعة المعادلات (1),(2) تعرف بـأحداثيات التحويل .

### الأحداثيات المنحنية المتعامدة

**السطح :**  $u_3 = c_3, u_2 = c_2, u_1 = c_1$  ( حيث  $c_3, c_2, c_1$  ثوابت ) تسمى أحداثيات السطوح وكل زوج من هذه السطوح تتقاطع في منحنيات تسمى أحداثي المنحنيات أو الخطوط كما هو مبين بالشكل السابق . اذا تقاطعت المنحنيات ( احداثيات السطوح ) في زوايا قائمة تسمى الأحداثيات عندئذ بالأحداثيات المنحنية المتعامدة . الأحداثيات  $(u_1, u_2, u_3)$  في هذه الحالة تشبه محاور الأحداثيات  $(x, y, z)$  في نظام الأحداثيات المتعامدة .

### متجهات الوحدة

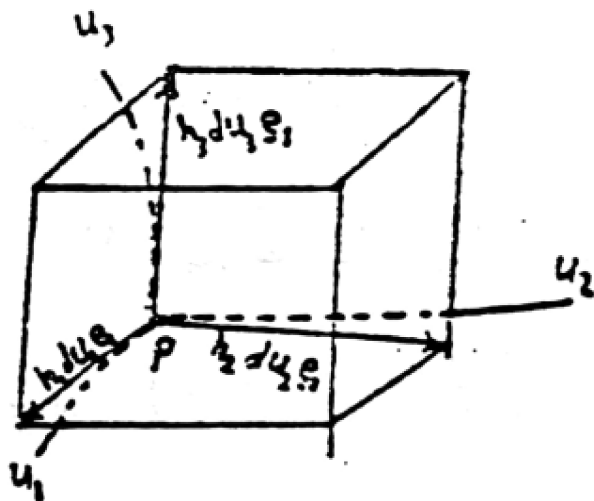
نفرض أن متجه موضع النقطة  $p$  هو  $\vec{r} = xi\hat{i} + yj\hat{j} + zk\hat{k}$  . واضح أنه يمكن وضع  $\vec{r}$  في الصورة  $\vec{r} = \vec{r}(u_1, u_2, u_3)$  . متجه المماس للمنحنى  $u_1$  عند  $p$  ( التي لها  $u_1, u_2, u_3$  ثوابت )

$$\frac{\partial \vec{r}}{\partial u_1} = h_1 \vec{e}_1 = \frac{\partial \vec{r}}{\partial u_1} / \left| \frac{\partial \vec{r}}{\partial u_1} \right| \quad \text{هو : } \frac{\partial \vec{r}}{\partial u_1} \quad \text{اذن وحدة المتجه في اتجاه هذا المماس هو :}$$

حيث  $h_1$  هو مقدار متوجه المماس . بالمثل اذا كانت  $\vec{e}_3, \vec{e}_2$  هي متوجهات الوحدة الأساسية للمنحنىات  $u_3, u_2$  عند النقطة  $p$  على الترتيب فان :  $\frac{\partial \vec{r}}{\partial u_3} = h_3 \vec{e}_3$  ،  $\frac{\partial \vec{r}}{\partial u_2} = h_2 \vec{e}_2$  حيث  $h_3 = \left| \frac{\partial \vec{r}}{\partial u_3} \right|$  ،  $h_2 = \left| \frac{\partial \vec{r}}{\partial u_2} \right|$  . متوجهات الوحدة  $\vec{e}_3, \vec{e}_2, \vec{e}_1$  في اتجاه تزايد  $u_3, u_2, u_1$  على الترتيب .

### طول القوس وعنصر الحجم

نفرض أن  $\vec{r} = \vec{r}(u_1, u_2, u_3)$  هو متوجه موضع النقطة  $p$  واضح من الشكل أن :



شكل 6-1

$$\begin{aligned} d\vec{r} &= \frac{\partial \vec{r}}{\partial u_1} du_1 + \frac{\partial \vec{r}}{\partial u_2} du_2 + \frac{\partial \vec{r}}{\partial u_3} du_3 \\ &= h_1 du_1 \vec{e}_1 + h_2 du_2 \vec{e}_2 + h_3 du_3 \vec{e}_3 \end{aligned}$$

ويكون كذلك :

$$(ds)^2 = d\vec{r} \cdot d\vec{r} = h_1^2 (du_1)^2 + h_2^2 (du_2)^2 + h_3^2 (du_3)^2$$

حيث أخذنا في الاعتبار أنه بالنسبة للاحاديث المثلثية المتراعمة يكون :

$$\vec{e}_1 \cdot \vec{e}_2 = \vec{e}_2 \cdot \vec{e}_3 = \vec{e}_1 \cdot \vec{e}_3 = 0 \quad \text{و} \quad \vec{e}_1 \cdot \vec{e}_1 = \vec{e}_2 \cdot \vec{e}_2 = \vec{e}_3 \cdot \vec{e}_3 = 1$$

واضح من الشكل السابق أن عنصر الحجم في الاحاديث المنحنية المتعامدة يمكن كتابته بالصورة :

$$\begin{aligned} d\tau &= (h_1 du_1 \vec{e}_1) \bullet [(h_2 du_2 \vec{e}_2) \wedge (h_3 du_3 \vec{e}_3)] \\ &= h_1 h_2 h_3 du_1 du_2 du_3 \end{aligned}$$

وذلك لأن  $\vec{e}_1 \bullet (\vec{e}_2 \wedge \vec{e}_3) = 1$  .

**الدرج والتبع والدوران ولا بلسيان في الاحاديث المنحنية**

نفرض أن  $\vec{A} = \vec{A}(u_1, u_2, u_3)$  دالة قياسية والتجهيز  $\vec{A}$  حيث  $\Phi = \Phi(u_1, u_2, u_3)$  هي احاديث منحنية متعامدة . في هذه الاحاديث المنحنية يمكن الحصول على الصيغ الآتية :

$$\nabla \Phi = \frac{1}{h_1} \frac{\partial \Phi}{\partial u_1} \vec{e}_1 + \frac{1}{h_2} \frac{\partial \Phi}{\partial u_2} \vec{e}_2 + \frac{1}{h_3} \frac{\partial \Phi}{\partial u_3} \vec{e}_3 \quad (أ)$$

$$\nabla \cdot \vec{A} = \frac{1}{h_1 h_2 h_3} \left[ \frac{\partial}{\partial u_1} (h_2 h_3 A_1) + \frac{\partial}{\partial u_2} (h_3 h_1 A_2) + \frac{\partial}{\partial u_3} (h_1 h_2 A_3) \right] \quad (ب)$$

$$\nabla \wedge \vec{A} = \frac{1}{h_1 h_2 h_3} \begin{vmatrix} h_1 \vec{e}_1 & h_2 \vec{e}_2 & h_3 \vec{e}_3 \\ \frac{\partial}{\partial u_1} & \frac{\partial}{\partial u_2} & \frac{\partial}{\partial u_3} \\ h_1 A_1 & h_2 A_2 & h_3 A_3 \end{vmatrix} \quad (ج)$$

$$\nabla^2 \Phi = \frac{1}{h_1 h_2 h_3} \left[ \frac{\partial}{\partial u_1} \left( \frac{h_2 h_3}{h_1} \frac{\partial \Phi}{\partial u_1} \right) + \frac{\partial}{\partial u_2} \left( \frac{h_3 h_1}{h_2} \frac{\partial \Phi}{\partial u_2} \right) + \frac{\partial}{\partial u_3} \left( \frac{h_1 h_2}{h_3} \frac{\partial \Phi}{\partial u_3} \right) \right] \quad (د)$$

## حالات خاصة

### الإحداثيات الاسطوانية

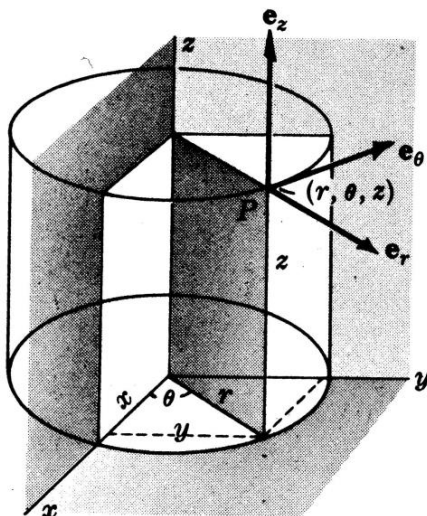
في الإحداثيات الاسطوانية  $(\rho, \phi, z)$  يكون :

$$x = \rho \cos \phi , \quad y = \rho \sin \phi , \quad z = z$$

$$u_1 = \rho , \quad u_2 = \phi , \quad u_3 = z$$

$$\vec{e}_1 = \vec{e}_\rho , \quad \vec{e}_2 = \vec{e}_\phi , \quad \vec{e}_3 = \vec{e}_z$$

$$h_1 = h_\rho = 1 , \quad h_2 = h_\phi = \rho , \quad h_3 = h_z = 1$$



شكل 7 - 1

العلاقات (أ) - (د) السابقة تأخذ في حالة الإحداثيات الاسطوانية على الترتيب الصور الآتية

$$\nabla \Phi = \frac{\partial \Phi}{\partial \rho} \vec{e}_\rho + \frac{1}{\rho} \frac{\partial \Phi}{\partial \phi} \vec{e}_\phi + \frac{\partial \Phi}{\partial z} \vec{e}_z$$

$$\nabla \cdot \vec{A} = \frac{1}{\rho} \left[ \frac{\partial}{\partial \rho} (\rho A_\rho) + \frac{\partial A_\phi}{\partial \phi} + \frac{\partial}{\partial z} (\rho A_z) \right]$$

$$\nabla \wedge \vec{A} = \frac{1}{\rho} \begin{vmatrix} \vec{e}_\rho & \rho \vec{e}_\phi & \vec{e}_z \\ \frac{\partial}{\partial \rho} & \frac{\partial}{\partial \phi} & \frac{\partial}{\partial z} \\ A_\rho & \rho A_\phi & A_z \end{vmatrix}$$

$$\nabla^2 \Phi = \frac{1}{\rho} \frac{\partial}{\partial \rho} \left( \rho \frac{\partial \Phi}{\partial \rho} \right) + \frac{1}{\rho^2} \frac{\partial^2 \Phi}{\partial \phi^2} + \frac{\partial^2 \Phi}{\partial z^2}$$

### الاحداثيات الكرية

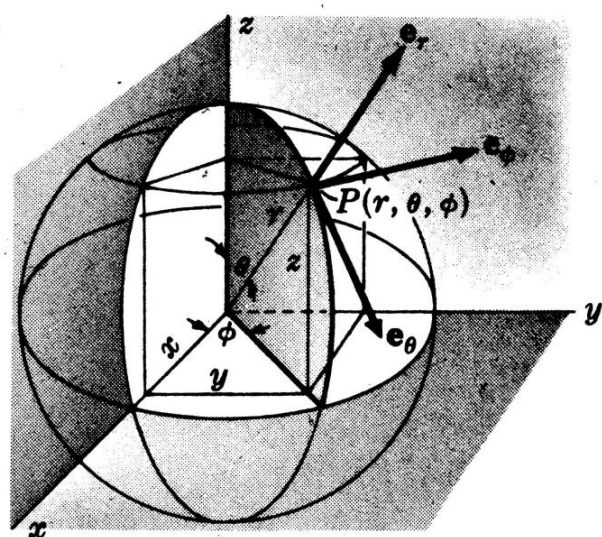
في الاحداثيات الكرية  $(r, \theta, \phi)$  تكون :

$$x = r \sin \theta \cos \phi , \quad y = r \sin \theta \sin \phi , \quad z = r \cos \theta$$

$$u_1 = r , \quad u_2 = \theta , \quad u_3 = \phi$$

$$\vec{e}_1 = \vec{e}_r , \quad \vec{e}_2 = \vec{e}_\theta , \quad \vec{e}_3 = \vec{e}_\phi$$

$$h_1 = h_r = 1 , \quad h_2 = h_\theta = r , \quad h_3 = h_\phi = r \sin \theta$$



شكل 8 - 1

وعليه فإن العلاقات  $(\alpha) - (\delta)$  في الاحاديث الكمية تأخذ على الترتيب الصور :

$$\nabla \Phi = \frac{\partial \Phi}{\partial r} \vec{e}_r + \frac{1}{r} \frac{\partial \Phi}{\partial \theta} \vec{e}_\theta + \frac{1}{r \sin \theta} \frac{\partial \Phi}{\partial \phi} \vec{e}_\phi$$

$$\nabla \cdot \vec{A} = \frac{1}{r^2} \frac{\partial}{\partial r} (r^2 A_r) + \frac{1}{r \sin \theta} \frac{\partial}{\partial \theta} (A_\theta \sin \theta) + \frac{1}{r \sin \theta} \frac{\partial A_\phi}{\partial \phi}$$

$$\nabla \wedge \vec{A} = \frac{1}{r^2 \sin \theta} \begin{vmatrix} \vec{e}_r & r \vec{e}_\theta & r \sin \theta \vec{e}_\phi \\ \frac{\partial}{\partial r} & \frac{\partial}{\partial \theta} & \frac{\partial}{\partial \phi} \\ A_r & r A_\theta & r \sin \theta A_\phi \end{vmatrix}$$

$$\nabla^2 \Phi = \frac{1}{r^2} \frac{\partial}{\partial r} \left( r^2 \frac{\partial \Phi}{\partial r} \right) + \frac{1}{r^2 \sin \theta} \frac{\partial}{\partial \theta} \left( \sin \theta \frac{\partial \Phi}{\partial \theta} \right) + \frac{1}{r^2 \sin^2 \theta} \frac{\partial^2 \Phi}{\partial \phi^2}$$

## الباب الثاني

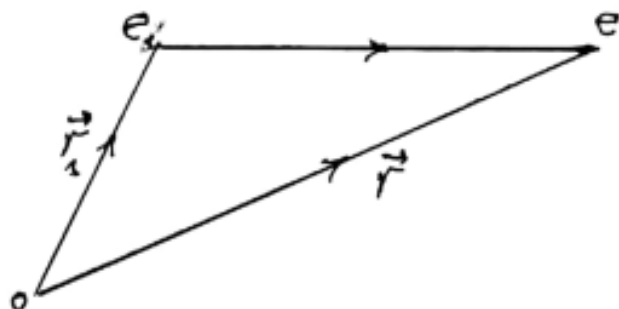
### الكهرباء الساكنة

إن الوثائق التي ترجع إلى ما قبل 600 سنة قبل الميلاد تدل على توفر معلومات معرفية بالكهرباء الساكنة وكلمة إستاتيكية مشتقة من الكلمة الإغريقية لمادة الكهرب . وقد كان الإغريق يقضون الساعات الطويلة بذلك قطعة من القماش بمادة الكهرب ويلاحظون كيف أن هذه المادة تقوم بعدها بجذب القطع الصغيرة إلا أن اهتمام الإغريق كان مركزاً على المنطق والفلسفة وليس على العلم التجاربي . ولهذا إنقضت فترة طويلة قبل أن يصبح في الإمكان إثبات أن ظاهرة الجذب هذه ليست سحراً.



#### 1- قانون كولوم

أول من أجرى تجارب عملية هو الدكتور كليرت طبيب ملكة إنجلترا حيث أعلن في عام 1600 أن هذه الظاهرة لا تقتصر على الكهرب فقد بل تتعادها إلى الزجاج والخشب والكريبتة ومواد أخرى . وبعد ذلك بقليل أجرى مهندس الجيش الفرنسي كولوم عدداً من التجارب المتقدمة بإستعمال ميزان الترافق خاص حقيقي بعرض معرفة مقدار قوة الجذب بين جسمين يحمل كلاً منهما شحنة كهربائية إستاتيكية . إن نتائج كولوم تعرف الآن باسم قانون كولوم وتحمل شبههاً كبيراً بقانون الجذب العام لينيويتن والذي اكتشف قبل ذلك بمائة عام . إن قانون كولوم ينص على أن القوة بين جسمين مشحونين ومفصولين بمسافة كبيرة بالنسبة لحجميهما تتناسب طردياً مع حاصل ضرب الشحتتين وعكسياً مع مربع المسافة بينهما . وهذه القوة تعتبر قوة تناقض للشحنات التي لها نفس الإشارة وقوة تجاذب للشحنات مختلفة الإشارة . ويأخذ قانون كولوم الصورة الرياضية الآتية :



شكل 2-1

$$\vec{F} = \frac{e e_i}{|\vec{r} - \vec{r}_i|^3} (\vec{r} - \vec{r}_i) . \quad (1)$$

حيث  $\vec{F}$  هي القوة المؤثرة على الشحنة  $e$  الناتجة عن وجود الشحنة  $e_i$  ،  $\vec{r}_i$  هو متجة موضع  $e_i$  بالنسبة لنقطة الأصل  $O$  . في الصيغة (1) إخترنا ثابت التناسب يساوى الوحدة . إذا كان هناك  $n$  من الشحنات  $e_1, e_2, \dots, e_n$  فإن القوة المؤثرة على الشحنة  $e$  تصبح على الصورة :

$$\vec{F} = e \sum_{i=1}^n \frac{e_i}{|\vec{r} - \vec{r}_i|^3} (\vec{r} - \vec{r}_i) . \quad (2)$$

ويمكن تعليم الصيغتين (1)،(2) في حالة التوزيع المتصل(المنتظم) من الشحنات والذي يميزه بـالذين قياسيتين في الموضع هما :

أ - الكثافة الحجمية للشحنة وهي الشحنة لوحدة الحجم يرمز لها بالرمز  $(\rho(r'))$  .

ب - الكثافة السطحية للشحنة وهي الشحنة لوحدة المساحات ويرمز لها بالرمز  $(\sigma(r'))$  . وفي هذه الحالة يمكن وضع القوة المؤثرة على الشحنة  $e$  الناشئة عن الجسم المشحون في الصورة :

$$\begin{aligned} \vec{F} = & e \iiint_V \frac{\rho(r')}{|\vec{r} - \vec{r}'|^3} (\vec{r} - \vec{r}') d\tau + \\ & e \iint_S \frac{\sigma(r')}{|\vec{r} - \vec{r}'|^3} (\vec{r} - \vec{r}') dS \end{aligned} \quad (3)$$

حيث  $V$  هو حجم الجسم ،  $d\tau$  عنصر الحجم ،  $S$  هو سطح الجسم ،  $dS$  عنصر السطح . والصورة الرياضية العامة لقانون كولوم لقوة على شحنة  $e$  الناشئة عن توزيع مركز للشحنات بالإضافة للتوزيعين السابقين هي :

$$\vec{F} = e \iiint_V \frac{\rho(r')}{|\vec{r} - \vec{r}'|^3} (\vec{r} - \vec{r}') d\tau +$$

$$e \iint_S \frac{\sigma(r')}{|\vec{r} - \vec{r}'|^3} (\vec{r} - \vec{r}') dS +$$

$$e \sum_{i=1}^n \frac{e_i}{|\vec{r} - \vec{r}_i|^3} (\vec{r} - \vec{r}_i) . \quad (4)$$

## 2- المجال الكهربى

هو مفهوم رياضي نستخدمه لتمييز ظاهرة الكهربية ، وهو دالة إتجاهية في الموضع ، ونُعرف شدة المجال الكهربى عند نقطة بأنه القوة المؤثرة على وحدة الشحنات الموجبة إذا وضعت عند هذه النقطة . والصورة الرياضية العامة لشدة المجال الكهربى هي :

$$\begin{aligned} \vec{E} = & \iiint_V \frac{\rho(r')}{|\vec{r} - \vec{r}'|^3} (\vec{r} - \vec{r}') d\tau + \\ & \iint_S \frac{\sigma(r')}{|\vec{r} - \vec{r}'|^3} (\vec{r} - \vec{r}') dS + \\ & \sum_{i=1}^n \frac{e_i}{|\vec{r} - \vec{r}_i|^3} (\vec{r} - \vec{r}_i) . \end{aligned} \quad (5)$$

بتكوين حاصل الضرب الإتجاهى للمؤثر  $\nabla$  والمتجه  $\vec{E}$  (أى دوران المتجه  $\vec{E}$ ) المعطى بالمعادلة (5) نجد أن :

$$\nabla \wedge \vec{E} = \vec{0} . \quad (6)$$

باستخدام نظرية ستوكس لتحويل التكامل السطحي إلى تكامل خطى أى أن :

$$\iint_S (\nabla \wedge \vec{E}) \cdot d\vec{S} = \oint_C \vec{E} \cdot d\vec{l} .$$

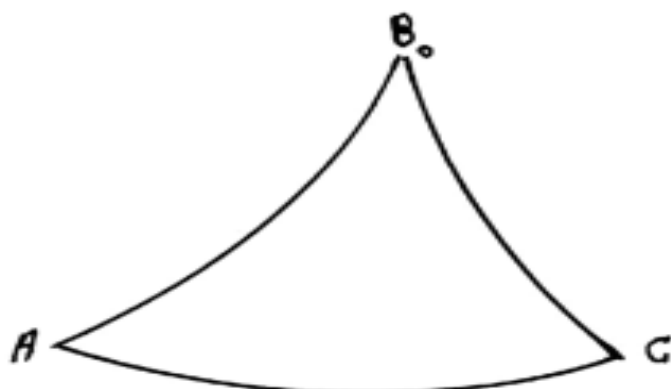
حيث  $S$  سطح محدد بواسطة المنحنى المغلق  $C$  ،  $d\vec{l}$  عنصر متجه الطول من المنحنى  $C$ . ثم بالتعويض في المعادلة (6) نجد أن :

$$\oint_C \vec{E} \cdot d\vec{l} = 0 . \quad (7)$$

أى أن المتجه  $\vec{E}$  (شدة المجال الكهربى) يمثل مجال محافظ (أى قوة محافظة) .

### 3 - الجهد الكهربى

يكون أحياناً من الصعب إيجاد شدة المجال الكهربى  $\vec{E}$  باستخدام قانون كولوم ( وفى كثير من الحالات معقد جداً ) ويرجع السبب في ذلك إلى أن متجه شدة المجال الكهربى من نوع المجالات الاتجاهية الناشئة من توزيعات الشحنات ، ومن الضروري في أغلب الحالات اجراء ثلاثة تكاملات ( واحدة لكل مركبة من مركبات المجال الكهربى ) . كما أن تحليل المجال لمركباته يزيد من صعوبة عملية التكامل في أغلب الحالات . لذلك فمن المرغوب فيه إيجاد دالة قياسية وبعملية واحدة للتكامل يمكن الحصول منها على المجال الكهربى . تعرف هذه الدالة القياسية بدالة الجهد وهي دالة في الموضع ، وحيث أن المجال الكهربى قوة محافظة فإن الشغل المبذول بواسطة المجال لنقل وحدة الشحنات الموجبة من موضع  $A_0$  إلى موضع  $B_0$  لا يتوقف على المسار ، وإنما يتوقف فقط على هذين الموضعين . فإذا كانت  $B_0$  نقطة ثابتة معينة متفق عليها يسمى عند الشغل المبذول بواسطة المجال الكهربى لنقل وحدة الشحنات الموجبة من الموضع  $A$  إلى الموضع القياسي  $B_0$  ( يؤخذ هذا الموضع القياسي في مالانهاية ) بطاقة جهد الشحنة الموجبة التي مقدارها الوحدة عندما توضع عند  $A$  . أو باختصار جهد المجال عند  $A$  . ويرمز له بالرمز  $\Phi_A$  ، وحيث أن الشغل لا يتوقف على المسار بين النقطتين فتكون الدالة القياسية في الموضع دالة وحيدة القيمة عند أي نقطة في الفضاء . فإذا رمزنا للشغل بالرمز  $W$  فإن :



شكل 2-2

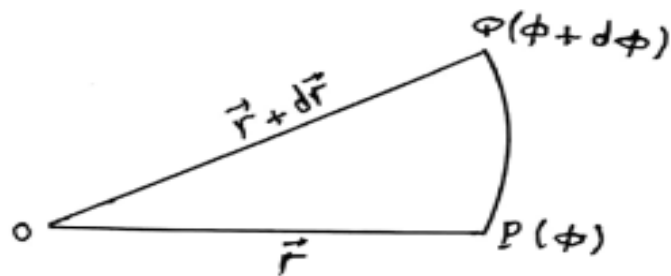
$$\Phi_A = W_{AB_0}, \Phi_C = W_{CB_0}$$

وعليه فإن :

$$W_{AC} = W_{AB_0} + W_{B_0C} = W_{AB_0} - W_{CB_0}$$

$$= \Phi_A - \Phi_C = -(\Phi_C - \Phi_A) \quad (8)$$

وهذا يعني أن الشغل المبذول بواسطة المجال لنقل وحدة الشحنات الموجبة يساوى التغير في دالة الجهد بين الموضعين مضروبا في إشارة سالبة . والآن نفرض ان الشغل لنقل وحدة الشحنات الموجبة من النقطة  $P(\vec{r})$  حيث دالة الجهد عندها  $\phi$  والنقطة  $Q(\vec{r} + d\vec{r})$  ودالة الجهد عنها  $\Phi + d\Phi$  هو  $dW$  حيث :



شكل 2-3

$$dW = -[\Phi + d\Phi - \Phi] = -d\Phi$$

وهذا الشغل يمكن وضعه بالصورة :

$$dW = \vec{E} \cdot d\vec{r}$$

$$\vec{E} \cdot d\vec{r} = -d\Phi = -\left( \frac{\partial \Phi}{\partial x} dx + \frac{\partial \Phi}{\partial y} dy + \frac{\partial \Phi}{\partial z} dz \right)$$

$$= -\left( \frac{\partial \Phi}{\partial x} \vec{i} + \frac{\partial \Phi}{\partial y} \vec{j} + \frac{\partial \Phi}{\partial z} \vec{k} \right) \cdot (dx \vec{i} + dy \vec{j} + dz \vec{k})$$

$$= -(\nabla \Phi) \cdot d\vec{r} \quad (9)$$

$$\vec{E} = -\nabla \Phi = \text{grad } \Phi \quad (10)$$

وهذه العلاقة تأخذ في الاحاديثيات الكارتيزية والاسطوانية والكرية على الترتيب الصور :

$$(E_x, E_y, E_z) = - \left( \frac{\partial \Phi}{\partial x}, \frac{\partial \Phi}{\partial y}, \frac{\partial \Phi}{\partial z} \right)$$

$$(E_\rho, E_\phi, E_z) = - \left( \frac{\partial \Phi}{\partial \rho}, \frac{1}{\rho} \frac{\partial \Phi}{\partial \phi}, \frac{\partial \Phi}{\partial z} \right)$$

$$(E_r, E_\theta, E_\phi) = - \left( \frac{\partial \Phi}{\partial r}, \frac{1}{r} \frac{\partial \Phi}{\partial \theta}, \frac{1}{r \sin \phi} \frac{\partial \Phi}{\partial \phi} \right)$$

يلاحظ أن العلاقة (10) تحقق :  $\nabla \wedge \vec{E} = \vec{0}$ . كما يلاحظ مما سبق أنه إذا كانت هناك شحنة  $e$  موضوعة في مجال كهربى قان القوة المؤثرة على هذه الشحنة تصبح  $e\vec{E}$  وطاقة جهد الشحنة هي  $e\Phi$ .



**مثال :** أوجد مجال وجهد شحنة موضوعة عند نقطة الأصل.  
**الحل :** نفرض أن  $\vec{r}$  موضع النقطة  $P$  بالنسبة للشحنة فيكون المجال عند هذه النقطة هو :

$$\vec{E} = \frac{e}{r^3} \vec{r}$$

أما دالة الجهد فتعطى بالصورة :

$$\Phi = \int_P^\infty \vec{E} \cdot d\vec{r} = \int_P^\infty \frac{e}{r^3} \vec{r} \cdot d\vec{r} = \int_r^\infty \frac{e}{r^2} dr = \frac{e}{r}$$

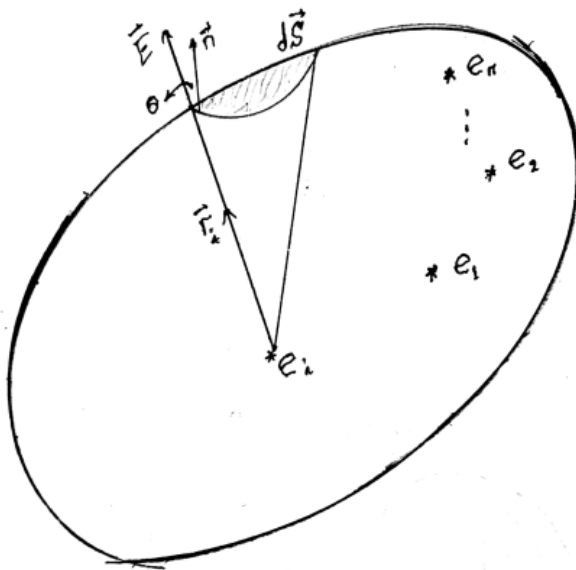
### نظريّة جاوس للفيض



إذا كانت  $N$  الفيض الكهربى الخارج من السطح المغلق  $S$  للمجال الكهربى  $\vec{E}$  فان هذا الفيض يعطى بالصيغة :

$$N = \iint_S \vec{E} \cdot d\vec{S} = 4\pi Q$$

حيث  $Q$  هي الشحنة الكلية داخل السطح .



شكل 2-4

**البرهان :** نفرض أن  $\vec{E}_i$  شدة المجال الناشئ عن الشحنة  $e_i$  عند النقطة  $P(\vec{r}_i)$  كما هو موضح بالشكل . التكامل السطحي السابق يمكن وضعه بالصورة :

$$\iint_S \vec{E} \cdot d\vec{S} = \iint_S \left( \sum_{i=1}^n \frac{e_i}{r_i^3} \vec{r}_i \right) \cdot d\vec{S}$$

$$= \sum_{i=1}^n e_i \iint_S \frac{\vec{r}_i \cdot d\vec{S}}{r_i^3} = \sum_{i=1}^n e_i \iint_S d\omega_i = \sum_{i=1}^n e_i \omega_i$$

حيث  $\omega_i$  هي الزاوية المجمعة عند الشحنة  $e_i$  . وتكون :  $\omega_i = 0$  أو  $\omega_i = 4\pi$  عندما تكون الشحنة خارج أو داخل السطح على الترتيب . وعليه فان التكامل السطحي السابق يصبح :

$$\iint_S \vec{E} \cdot d\vec{S} = 4\pi Q \quad (11)$$

اذا كانت هناك شحنات  $e'_i$  موزعة على السطح  $S$  بالإضافة للتوزيع السابق . في هذه الحالة تكون الزاوية المجمعة  $\omega'_i$  المناظرة للشحنة السطحية  $e'_i$  . وعليه فان الفيصل الكلى الناتج من الشحنات السطحية والتوزيع الداخلى للشحنات بالصيغة :

$$\oint_S \vec{E} \cdot d\vec{S} = 4\pi Q + 2\pi Q'$$

حيث  $Q'$  هي الشحنة الكلية الموجودة على السطح  $S$ . أما في حالة التوزيع المنتظم للشحنة ، وبفرض أن الكثافة الحجمية للشحنة داخل السطح هي  $\rho$  فيكون الفيصل بالصورة :

$$\oint_S \vec{E} \cdot d\vec{S} = 4\pi \iiint_V \rho d\tau \quad (12)$$

حيث  $V$  هو الحجم المحاط بالسطح  $S$  ،  $d\tau$  عنصر الحجم . اذا كان هناك توزيع سطحي منتظم بكثافة سطحية  $\sigma$  بالإضافة للتوزيع الحجمي المنتظم السابق فان الفيصل يأخذ الصيغة :

$$\oint_S \vec{E} \cdot d\vec{S} = 4\pi \iiint_V \rho d\tau + 2\pi \iint_S \sigma dS$$

باستخدام العلاقة التكاملية

$$\iint_S \vec{E} \cdot d\vec{S} = \iiint_V (\nabla \cdot \vec{E}) d\tau$$

وبالتعويض في المعادلة (12) نجد أن :

$$\nabla \cdot \vec{E} = 4\pi\rho \quad (13)$$

وتعرف هذه المعادلة بالصيغة التفاضلية لقانون جاوس . اذا كانت  $\rho = 0$  فان :

$$\nabla \cdot \vec{E} = 0 \quad (14)$$

أي أنه عند النقط التي ليس بها شحنات يتلاشى تباعد المجال الالكترونيستاتيكي .

### معادلة بواسون

بوضع  $\vec{E} = -\nabla\Phi$  في (13) نحصل على :

$$\nabla^2\Phi = -4\pi\rho \quad (15)$$

وهذه تسمى معادلة بواسون ، وهى معادلة أساسية في علم الكهرباء .

### معادلة لا بلاس

بوضع  $\rho = 0$  في المعادلة (15) نحصل على :

$$\nabla^2\Phi = 0 \quad (16)$$

وتسمى هذه المعادلة بمعادلة لا بلاس وهى احدى المعادلات الهامة في فروع الفيزياء النظرية.

## خطوط القوى وأنابيب القوى

خط القوة هو المنحنى الذي يكون المماس له عند أي نقطة عليه ينطبق مع اتجاه المجال الكهربى عند هذه النقطة . بفرض أن  $d\vec{\ell}$  هو عنصر الطول الاتجاهى من المنحنى  $\ell$  فيكون :

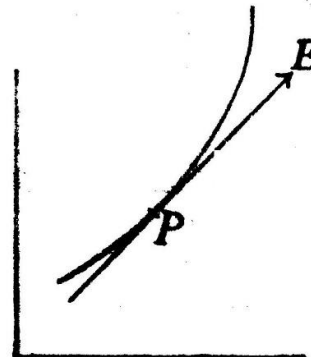
$$d\vec{\ell} = dx\vec{i} + dy\vec{j} + dz\vec{k}$$

$$\vec{E} = E_x\vec{i} + E_y\vec{j} + E_z\vec{k}$$

$$d\vec{\ell} = \lambda \vec{E}$$

حيث  $\vec{i}$  ،  $\vec{j}$  ،  $\vec{k}$  متجهات

الوحدة الأساسية ، ويكون :



شكل 5 - 2

$$\frac{dx}{E_x} = \frac{dy}{E_y} = \frac{dz}{E_z} = \lambda$$

عامة عند كل نقطة في الفضاء يمر خط قوة واحد من خطوط القوى ، ولكن عندما يكون  $\vec{E} = \vec{0}$  فان اتجاه خط القوة عند هذه النقطة يكون غير محدد ، ومثل هذه النقطة تسمى نقطة التعادل . حزمة خطوط القوى التي تمر بمنحنى مغلق تسمى أنبوبة القوى . الفيصل خلال أي مقطع من أنبوبة القوى يسمى شدة الانبوبة . أنبوبة الوحدة هي تلك الأنبوبة التي شدتها الوحدة .

### ملاحظات :

(أ) خط تساوى الجهد يقطع خط القوة على التعماد لأن المجال الكهربى  $\vec{E}$  يكون عموديا على خط تساوى الجهد .

(ب) اذا شجن جسم موصل بشحنة فان هذه الشحنة تستقر فقط وتتوزع على سطح الموصل اي لن توجد شحنات داخل هذا الموصل .

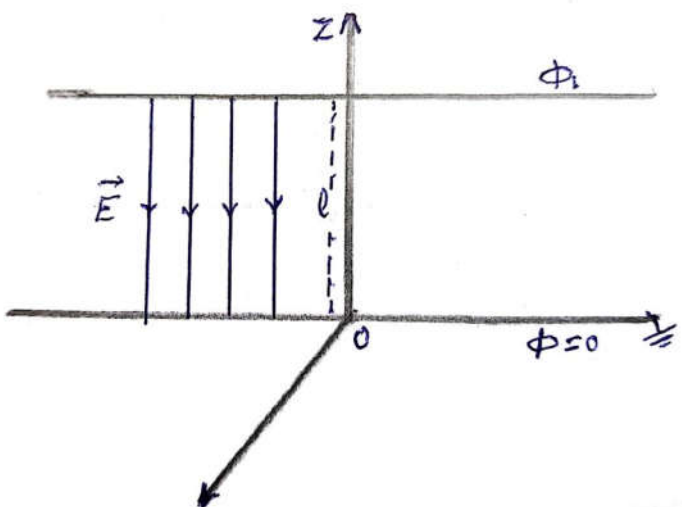
(ج) سطح الموصل هو سطح تساوى الجهد .

## أمثلة محلولة



**مثال (1) :** استنتاج الجهد الكهربى وشدة المجال الكهربى لمكافف يتكون من صفيحتين مستويتين موصلتين ولانهائيتين في الطول . احذاهم موصلة بالأرض بينما الجهد على الصفيحة الأخرى عند أي نقطة عليها يساوى  $\Phi_1$  والمسافة بين الصفيحتين يساوى  $l$  .

**الحل :** باختيار مجموعة المحاور الكارتيزية بحيث يكون المحور  $z$  عموديا على مستوى كل صفيحة . كما بالشكل .



شكل 2-6

واضح من التماثل أن الجهد الكهربى ( والمجال الكهربى ) دالة في المتغير  $z$  أي أن  $\Phi = \Phi(z)$  وتصبح معادلة لابلاس بالصورة :

$$\frac{d^2\Phi}{dz^2} = 0$$

ثم بالتكامل نجد أن :

$$\Phi = Az + B$$

باستخدام الشرطين :  $\Phi = 0$  عندما  $z = 0$  ،  $\Phi = \Phi_1$  عندما  $z = l$  نجد أن :

$B = 0$  وبذلك فان دالة الجهد الكهربى تأخذ الصورة :

$$\Phi = \frac{\Phi_1}{l} z$$

وشدة المجال الكهربى تعطى بالعلاقة :

$$\vec{E} = -\frac{d\Phi}{dz} \hat{k} = -\frac{\Phi_a}{l} \hat{k}$$

حيث  $\hat{k}$  متجه الوحدة في اتجاه المحور  $z$ . واضح أن المجال الكهربى مجال منتظم وفى اتجاه الصفيحة الموصلة بالأرض.

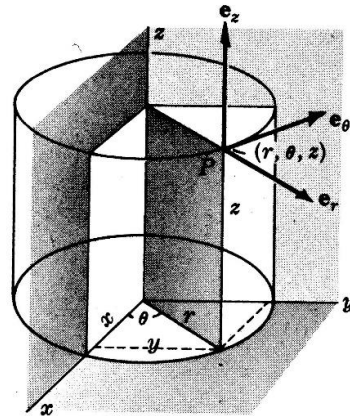
**مثال (2):** أوجد الجهد الكهربى والمجال الكهربى لمكثف يتكون من اسطوانتين لا نهايتين في الطول ومشتركتين في المحور ، ونصف قطر الأسطوانة الداخلية  $a$  ودالة الجهد عند أي نقطة عليها  $\Phi_a$  بينما الأسطوانة الخارجية موصلة بالأرض ونصف قطرها  $b$ .

الحل :

باختيار مجموعة المحاور الأسطوانية

$(\rho \cdot \phi \cdot z)$  بحيث أن المحور  $z$  ينطبق على المحور المشترك لاستوانة المكثف من الواضح أن جميع النقط الواقعة على أسطوانة نصف قطرها  $\rho$  حيث  $a < \rho < b$  حيث

متماالة لكل من دالة الجهد الكهربى



شكل 7-2

والمجال الكهربى . أي أن دالة الجهد  $\Phi = \Phi(\rho)$  . معادلة لابلاس في الاحديات الاسطوانية :

$$\nabla^2 \Phi = \frac{1}{\rho} \frac{\partial}{\partial \rho} \left( \rho \frac{\partial \Phi}{\partial \rho} \right) + \frac{1}{\rho^2} \frac{\partial^2 \Phi}{\partial \phi^2} + \frac{\partial^2 \Phi}{\partial z^2} = 0$$

والتي تصبح في هذه الحالة بالصورة :

$$\frac{1}{\rho} \frac{d}{d\rho} \left( \rho \frac{d\Phi}{d\rho} \right) = 0$$

ثم بالتكامل مررتين متتاليتين نجد أن :

$$\Phi = A \ln \rho + B$$

باستخدام الشرطين :  $\Phi = 0$  ،  $\rho = a$  ،  $\Phi = \Phi_a$  عندما  $\rho = b$  نجع أن :

$$A = -\frac{\Phi_a}{\ln b - \ln a} , \quad B = \frac{\Phi_a \ln b}{\ln b - \ln a}$$

وشدة المجال للمكثف يعطى بالصورة :

$$\vec{E} = -\frac{d\Phi}{d\rho} \vec{e}_\rho = \frac{\Phi_a}{\rho(\ln b - \ln a)} \vec{e}_\rho$$

حيث  $\vec{e}_\rho$  متجه الوحدة في اتجاه  $\rho$ . واضح أن المجال يتاسب عكسيا مع  $\rho$ , واتجاهه من الأسطوانة الصغرى إلى الأسطوانة الكبرى.

مثال (3): أوجد الجهد الكهربى والمجال الكهربى لمكثف يتكون من قشرتين رقيقتين كرويتين ومشتركتين في المركز. نصف قطر الكرة الداخلية  $a$  ودالة الجهد عليها  $\Phi_a$ . أما الكرة الخارجية فموصلة بالأرض ونصف قطرها  $b$ .

**الحل :** باختيار مجموعة المحاور الكرية

من الواضح أنه لجميع النقط الواقعة على سطح كرة نصف قطرها  $a < r < b$  فإن دالة الجهد والمجال الكهربى متاثران لهذه النقط أي

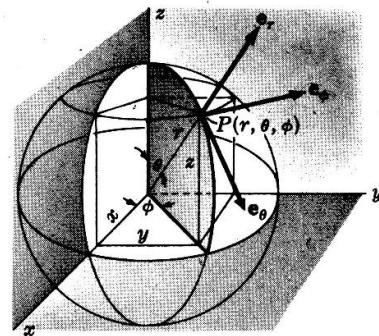


Fig. 22-13. Spherical coordinates.

أن : شكل 2 - 8

أي أن :  $\Phi = \Phi(r)$  ، ومعادلة لابلاس في الاحداثيات الكرية هي :

$$\nabla^2 \Phi = \frac{1}{r^2} \frac{\partial}{\partial r} \left( r^2 \frac{\partial \Phi}{\partial r} \right) + \frac{1}{r^2 \sin \theta} \frac{\partial}{\partial \theta} \left( \sin \theta \frac{\partial \Phi}{\partial \theta} \right) + \frac{1}{r^2 \sin^2 \theta} \frac{\partial^2 \Phi}{\partial \phi^2} = 0$$

والتي تصبح في هذه الحالة بالصيغة :

$$\frac{1}{r^2} \frac{d}{dr} \left( r^2 \frac{d\Phi}{dr} \right) = 0$$

بالتكامل نجد أن :

$$\Phi = -\frac{A}{r} + B$$

باستخدام الشرطين :  $r=b$  ،  $\Phi=0$  عندما  $r=a$  . نجد أن :

$$A = -\frac{ab\Phi_a}{b-a} \quad , \quad B = -\frac{a\Phi_a}{b-a}$$

وبذلك فإن :

$$\Phi = \frac{a\Phi_a}{b-a} \left( \frac{b}{r} - 1 \right)$$

$$\vec{E} = -\frac{d\Phi}{dr} \vec{e}_r = \frac{ab\Phi_a}{r^2(b-a)} \vec{e}_r$$

أي أن المجال الكهربى يتاسب عكسيًا مع  $r^2$  واتجاهه من القشرة الصغرى إلى القشرة الكبرى.

### الظاهرة الكهربية لتركيبات من الشحنة



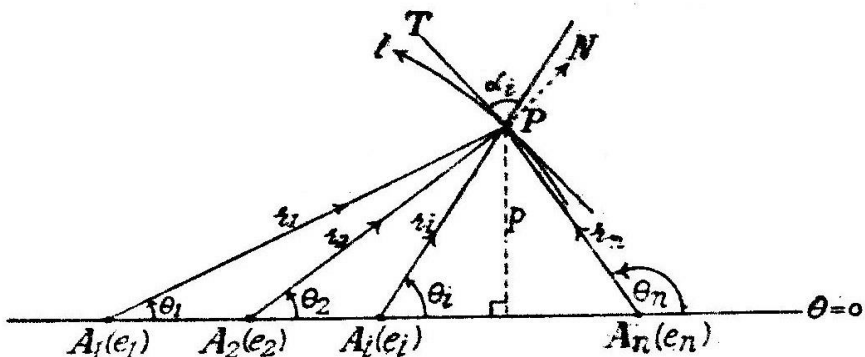
#### 1- مجموعة من الشحنات على خط مستقيم

نفرض أن  $e_1, e_2, \dots, e_n$  مجموعة من الشحنات المركزة على الخط المستقيم  $\theta=0$  عند النقط

$A_1, A_2, \dots, A_n$  . نفرض أن النقطة  $P$  على خط القوة  $\ell$  كما هو موضح بالشكل . المجال

الكهربى الكلى  $\vec{E}$  يجب أن يكون في اتجاه المماس لخط القوة المار بالنقطة  $P$  . أي أن المركبة

العمودية للمجال على المماس يجب أن تتلاشى . أي أن :



شكل 9-2

$$\frac{e_1}{r_1^2} \sin \alpha_1 + \frac{e_2}{r_2^2} \sin \alpha_2 + \dots + \frac{e_n}{r_n^2} \sin \alpha_n = 0 \quad (1)$$

حيث  $\alpha_i$  هي الزاوية بين  $\vec{E}_i$  والمماس عند النقطة  $P$  لخط القوة  $\ell$  ، وحيث أن :

$$\sin \alpha_i = r_i \frac{d\theta_i}{d\ell} \quad (1)$$

$$\frac{e_1}{r_1} d\theta_1 + \frac{e_2}{r_2} d\theta_2 + \dots + \frac{e_n}{r_n} d\theta_n = 0 \quad (2)$$

باستخدام العلاقات :

$$r_1 \sin \theta_1 = r_2 \sin \theta_2 = \dots = r_n \sin \theta_n = m \quad (3)$$

والتعويض في المعادلة (2) نحصل على :

$$e_1 \sin \theta_1 d\theta_1 + e_2 \sin \theta_2 d\theta_2 + \dots + e_n \sin \theta_n d\theta_n = 0 \quad (4)$$

وبتكامل هذه المعادلة نجد أن :

$$e_1 \cos \theta_1 + e_2 \cos \theta_2 + \dots + e_n \cos \theta_n = \text{cons.} \quad (5)$$

لجميع قيم الثابت نحصل على معادلات خطوط القوى لتوزيع الشحنات السابق . واضح أن هذه الخطوط تقع على سطح محور  $\ell$  . أما خطوط تساوى الجهد التي تقطع خطوط القوى على التعماد فتتعين من :

$$\frac{e_1}{r_1} + \frac{e_2}{r_2} + \dots + \frac{e_n}{r_n} = \text{const.}$$

أي أن :

$$e_1 \sin \theta_1 + e_2 \sin \theta_2 + \dots + e_n \sin \theta_n = \text{const.} \quad (6)$$

لجميع قيم الثابت نحصل على معادلات خطوط تساوى الجهد .

## 2- المجال الكهربى والجهد الكهربى لشحنات خطية

إذا وزعت شحنات خطية توزيعاً متصللاً على خط مستقيم لا نهائى الطول يسمى هذا التوزيع بالتوزيع الخطى للشحنة ، وتسمى الشحنة  $e$  على وحدة الطول الكثافة الطولية . وإذا كانت  $e$  لها نفس القيمة عند كل نقطة يسمى التوزيع بالتوزيع المنتظم للشحنة . لايجاد شدة المجال الكهربى والجهد الكهربى الناتج عن سلك

مشحون بشحنة منتظمة نفرض أن السلك عبارة عن أسطوانة نصف قطرها  $a$  صغير جداً وعليها شحنة خطية منتظمة . والآن نتخيل أسطوانة نصف قطرها  $r$  متعددة المحور مع الأسطوانة السابقة . الفيض الكلى الخارج من الأسطوانة الخارجية لطول مقداره  $L$  هو :

$$2\pi rLE$$

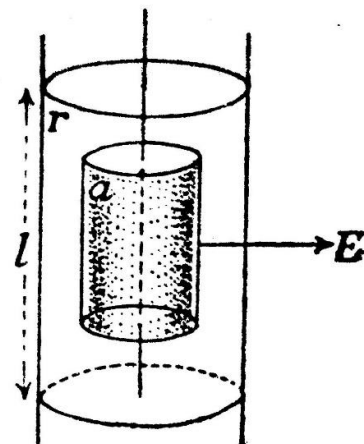
حيث  $E$  مقدار شدة المجال . وحيث أن الشحنة الداخلية الكلية هي  $(eL)$  فإنه بتطبيق

نظريّة جاؤس للفيض نجد أن :

$$2\pi rLE = 4\pi(eL)$$

$$E = \frac{2e}{r} \quad (7)$$

$$E = -\frac{d\Phi}{dr} = \frac{2e}{r}$$



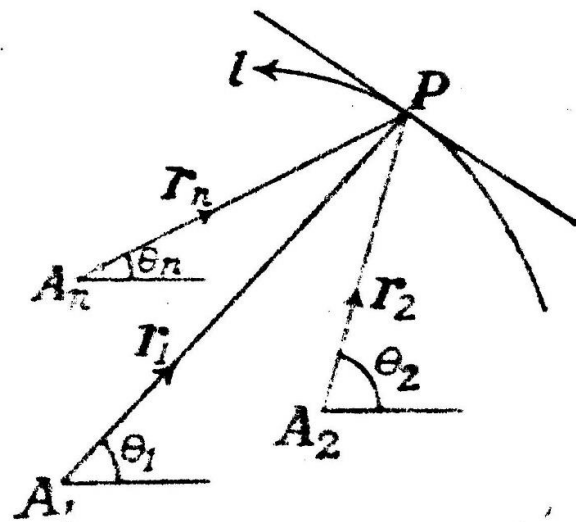
شكل 2-10

ثم بالتكامل نجد أن :

$$\Phi = \text{const.} - 2e \ln r \quad (8)$$

العلاقتان (7) ، (8) لا يعتمدان على نصف قطر الأسطوانة الداخلية ، وبفرض أن  $a \rightarrow 0$  أي أن الأسطوانة الداخلية آلت إلى سلك مشحون بشحنة خطية منتظمة ف تكون (7) ، (8) هما المعادلتان لشدة المجال الكهربى والجهد الكهربى للسلك المشحون .

لإجاد خطوط القوى لمجموعة من الأسلاك المتوازية اللانهائية الطول والمشحونة بشحنات منتiformة: نفرض أن الكثافة الطولية للشحنة لهذه الأسلاك هي  $e_1, e_2, \dots, e_n$  ونفرض أن الأسلاك تقطع على التعمد مستوى في النقط  $A_1, A_2, \dots, A_n$  على الترتيب، ونفرض أن نقطة على خط القوة  $\ell$  في هذا المستوى، ونفرض أن:  $A_1P, A_2P, \dots, A_nP$  تصنع الزوايا  $\theta_1, \theta_2, \dots, \theta_n$  مع خط ثابت في المستوى  $\theta = 0$  كما هو موضح بالشكل.



شكل 2 - 11

وحيث أن مركبة المجال الكهربى الكلى العمودية على المماس عند النقطة  $P$  للمنحنى  $\ell$  يجب أن تتلاشى فان:

$$\frac{2e_1}{r_1} \sin \alpha_1 + \frac{2e_2}{r_2} \sin \alpha_2 + \dots + \frac{2e_n}{r_n} \sin \alpha_n = 0 \quad (9)$$

حيث  $\alpha_i$  هي الزاوية بين  $A_iP$  والمماس للمنحنى وحيث أن:  $\sin \alpha_i = r_i \frac{d\theta_i}{d\ell}$

$$e_1 d\theta_1 + e_2 d\theta_2 + \dots + e_n d\theta_n = 0$$

ثم بالتكامل نجد أن:

$$e_1 \theta_1 + e_2 \theta_2 + \dots + e_n \theta_n = \text{const.} \quad (10)$$

لقيم الثابت المختلفة تعطى المعادلة (10) معادلة خطوط القوى في المستوى لمجموعة الأسلاك

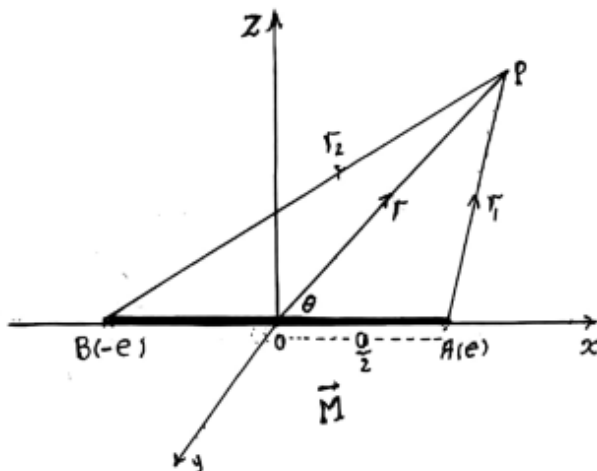
المتوازية المشحونة بشحنات خطية منتظمة . أما خطوط تساوى الجهد في هذا المستوى فتتعين من المعادلة :

$$e_1 \ln r_1 + e_2 \ln r_2 + \dots + e_n \ln r_n = \text{const.} \quad (11)$$

### 3- المزدوج الكهربى

هو عبارة عن شحتين كهربائيتين كبيرتين جدا  $(+e), (-e)$  تبعدان عن بعضهما بمسافة صغيرة جدا  $\delta\ell$  . ويتميز المزدوج الكهربى بمتوجه يسمى متوجه العزم أو الشدة الكهربية ، وهذا المتوجه يعطى بالصيغة الرياضية :

$$\vec{M} = \lim_{\delta\ell \rightarrow \infty} (e \delta\ell)$$



شكل 2-12

المتجه الواصل من الشحنة السالبة إلى الشحنة الموجبة يسمى محور المزدوج وهو نفس اتجاه متوجه العزم الكهربى . الجهد الكهربى للمزدوج عند النقطة  $P$  يمكن وضعه بالصورة :

$$\Phi(P) = \frac{(+e)}{r_1} + \frac{(-e)}{r_2} = e \left( \frac{1}{r_1} - \frac{1}{r_2} \right) \quad (12)$$

باختيار مجموعة المحاور الكارتيزية  $(x, y, z)$  بحيث ينطبق محور المزدوج على المحور  $x$  كما هو موضح بالشكل . فإنه يمكن وضع :

$$r^2 = x^2 + y^2 + z^2, M = ae$$

حيث  $a$  طول المزدوج الكهربى ( $a$  صغيرة جداً). وكذلك :

$$r_1 = \sqrt{\left(x - \frac{a}{2}\right)^2 + y^2 + z^2} = r \left(1 - \frac{ax}{r^2}\right)^{\frac{1}{2}} \quad (13)$$

$$r_2 = \sqrt{\left(x - \frac{a}{2}\right)^2 + y^2 + z^2} = r \left(1 + \frac{ax}{r^2}\right)^{\frac{1}{2}} \quad (14)$$

ثم بالتعويض في (12) نجد أن فان الجهد الكهربى للمزدوج يصبح بالصورة :

$$\begin{aligned} \Phi(P) &= \frac{e}{r} \left[ \left(1 - \frac{ax}{r^2}\right)^{-\frac{1}{2}} - \left(1 + \frac{ax}{r^2}\right)^{-\frac{1}{2}} \right] = \frac{ae}{r^2} \frac{x}{r} \\ &= \frac{M \cos \theta}{r^2} = \frac{\vec{M} \cdot \vec{r}}{r^3} \end{aligned} \quad (15)$$

حيث  $\theta$  هي الزاوية بين المتجهين :  $\vec{r}, \vec{M}$ . المجال الكهربى عند النقطة  $P$  يكون :

$$\vec{E} = -\nabla \Phi = -\nabla \left( \frac{\vec{M} \cdot \vec{r}}{r^3} \right) = -\frac{\vec{M}}{r^3} + 3 \frac{\vec{M} \cdot \vec{r}}{r^5} \vec{r} \quad (16)$$

والمركبات القطبية للمجال الكهربى يتعينا من العلاقة :

$$E_r = -\frac{\partial \Phi}{\partial r} = \frac{2M \cos \theta}{r^3} \quad (17)$$

$$E_\theta = -\frac{1}{r} \frac{\partial \Phi}{\partial \theta} = \frac{M \sin \theta}{r^3} \quad (18)$$

والمعادلة التقاضية القطبية لخطوط القوى تعطى بالصورة :

$$\frac{dr}{E_r} = \frac{rd\theta}{E_\theta}$$

ثم بالتعويض والتكامل نحصل على معادلة خطوط القوى بالصيغة :

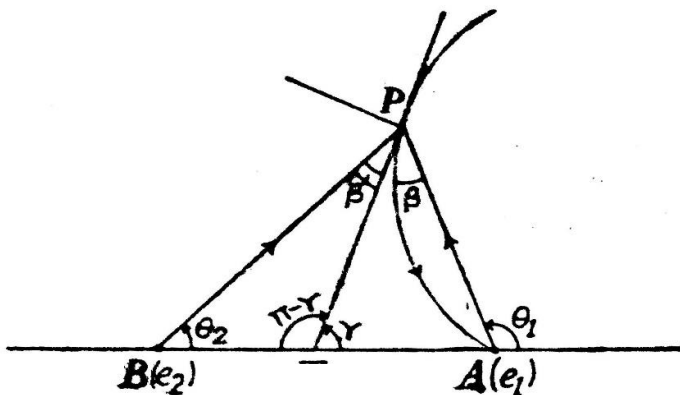
$$r = c \sin^2 \theta \quad (19)$$

**مثال (4):** ادرس خطوط القوى للشحتين الموجبتين  $e_1, e_2$  عند النقطتين  $A, B$ . ثم بين أن المماس عند اللانهاية (خط التقارب) لخط القوة الذي يبدأ من  $e_1$  بزاوية ميل  $\alpha$  مع  $BA$  يصنع مع  $BA$  الزاوية :



$$2 \sin n^{-1} \left( \sqrt{\frac{e_1}{e_1 + e_2}} \sin \frac{\alpha}{2} \right)$$

الحل :



شكل 2-13

نفرض أن  $P$  نقطة على خط القوة الذي يبدأ من  $A$  وينتهي عند مالانهاية . ونفرض أن الخط  $BA$  هو الخط :  $\theta = 0$  . معادلة خطوط القوى هي :

$$e_1 \cos \theta_1 + e_2 \cos \theta_2 = C \quad (1)$$

لإيجاد  $C$  لخط القوة الذي يبدأ من  $A$  بزاوية ميل  $\alpha$  وينتهي عند مالانهاية نستخدم الشرط

عندما  $P \rightarrow A$  فان :  $\theta_2 = 0, \theta_1 = \alpha$  ثم بالتعويض في المعادلة السابقة نجد أن :

$C = e_1 \cos \alpha + e_2$  وتصبح معادلة خط القوة الذكور بالصورة :

$$e_1 \cos \theta_1 + e_2 \cos \theta_2 = e_1 \cos \alpha + e_2 \quad (2)$$

لإيجاد ميل المماس عند الالانهاية ( وهى زاوية ميل خط التقارب ) نستخدم الشرط : عندما

$P \rightarrow \infty$  فان  $\theta_1 = \theta_2 = \theta$  ثم بالتعويض في المعادلة (2) نجد أن :

$$(e_1 + e_2) \cos \theta = e_1 \cos \alpha + e_2$$

$$(e_1 + e_2) \left( 1 - 2 \sin^2 \frac{\theta}{2} \right) = e_1 \left( 1 - 2 \sin^2 \frac{\alpha}{2} \right) + e_2$$

$$(e_1 + e_2) \sin^2 \frac{\theta}{2} = e_1 \sin^2 \frac{\alpha}{2}$$

$$\sin \frac{\theta}{2} = \sqrt{\frac{e_1}{e_1 + e_2}} \sin \frac{\alpha}{2}$$

$$\theta = 2 \sin^{-1} \left( \sqrt{\frac{e_1}{e_1 + e_2}} \sin \frac{\alpha}{2} \right)$$

## تمارين



1- أوجد خطوط القوى لسلكين متوازيين ولأنهائيين في الطول ، والكثافة الطولية للشحنة لهما  $e$  ،  $-e$  . أوجد كذلك منحنيات تساوى الجهد .

2- ثلاثة أسلاك لأنائية الطول ، والكثافة الطولية للشحنة هي : 1 ، 2 ، 1 وحدة شحنة .  
قطع هذه الأسلاك على التعامد مستوى في ثلات نقاط وعلى استقامة واحدة هي :

على الترتيب حيث  $AB = BC = a$  . أثبت أن معادلة خطوط القوى هي :  
 $BC$  عند نقطة الأصل ،  $BC$  خط قياس الزاوية  $r^2 = a^2 \cos(2\theta + \alpha) \sec \alpha$   
 $\alpha a$  بaramتر .

3- ثلاثة أسلاك رفيعة متوازية ومتماثلة في الشحنة الخطية المنتظمة ، وقطع على التعامد مستوى في ثلات نقاط  $A$  ،  $B$  ،  $C$  والتي تمثل رؤوس مثلث متساوي الأضلاع وطول ضلعه  $\sqrt{3}c$  . بين أن المعادلة القطبية لمنحنيات تساوى الجهد المرسومة في المستوى تكون على الصورة :  $r^6 + c^6 - 2r^3c^3 \cos \theta = cons.$  بفرض أن مركز المثلث هو نقطة الأصل .

4 – أربعة أسلاك متوازية ولأنائية الطول ، وضعت بحيث تقطع على التعامد مستوى في أربع نقاط هي رؤوس المربع  $ABCD$  والكثافة الطولية للشحنة المنتظمة هي :

اذا كان طول ضلع المربع هو  $2a$  عند  $D$  ،  $-e$  ،  $A$  ،  $C$  عند  $e$

فأثبت أن الجهد  $\Phi$  عند النقطة  $P$  الواقعة داخل المربع يأخذ الصورة :

الإحداثيات القطبية للنقطة  $(r, \theta)$  حيث  $\Phi = 2er^2a^{-2} \cos 2\theta$

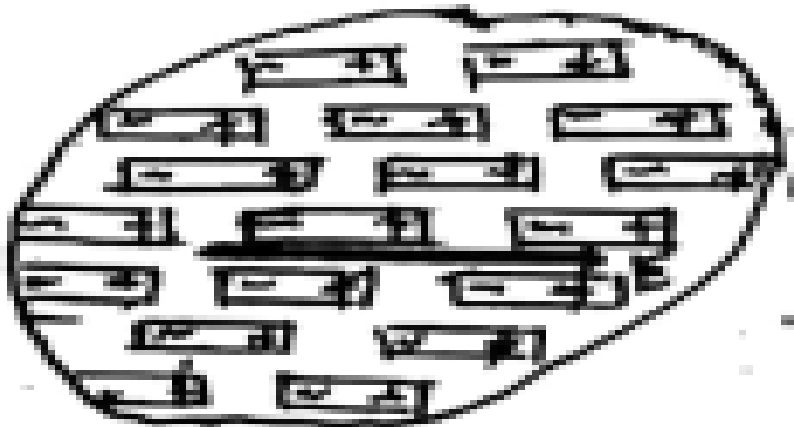
لمركز المربع .

## المواد العازلة القابلة للاستقطاب

وُجِدَ بالتجربة أن بعض المواد العازلة مثل الميكا والزجاج إذا أثر عليها كهربياً فانها تستقطب بمعنى أن كل عنصر صغير منها يتحول إلى مزدوج كهربى ، وهذه الظاهرة يمكن تفسيرها بطريقتين كما يلى :



(أ) تحتوى ذرات أي مادة على شحنات موجبة وأخرى سالبة . فإذا كانت المادة موصلة فإن الشحنات السالبة تكون حرة الحركة في المادة الواقعه تحت تأثير مجال كهربى فینتاج سريان للتيار الكهربى . أما اذا كانت المادة عازلة وقابلة للاستقطاب فان هذا السريان لا يحدث ولكن المجال الكهربى المؤثري يزعج الشحنات في الذرة إزاحة طفيفة بحيث تزاح الشحنة الوجبة في اتجاه المجال المؤثر والشحنة السالبة في الاتجاه المضاد ، وبذلك تظهر المزدو<sup>جات</sup> الكهربية في المادة المستقطبة في اتجاه المجال الكهربى .



شكل 2 - 14

(ب) يمكن تخيل أن جزيئات المادة العازلة مكونة أساساً من مزدو<sup>جات</sup> كهربية موزعة في المادة توزيعاً عشوائياً بحيث يتكون كل عنصر صغير منها على عدد كبير من هذه المزدو<sup>جات</sup> ولا يبدو هذا العنصر مستقطباً لأن هذه المزدو<sup>جات</sup> تلاشى بعضها بعضًا ، ولكن إذا وضعت هذه المادة في مجال كهربى فإنه يحدث انتظام في اتجاهات هذه المزدو<sup>جات</sup> وتأخذ اتجاه المجال ، وتصبح المادة مستقطبة .

### متجه الاستقطاب

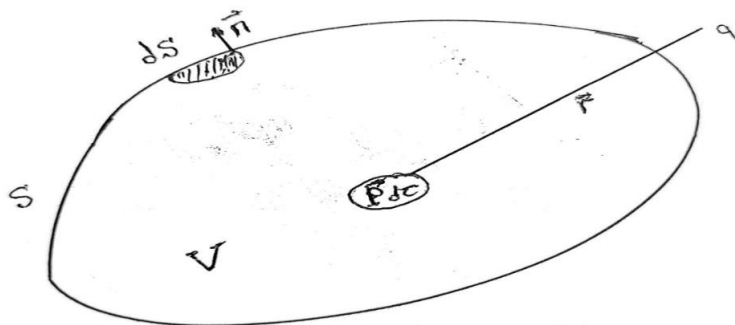
ندخل الآن مفهوما يميز شدة الاستقطاب للمادة وهو متجه الاستقطاب  $\vec{P}$  والذى يعرف بأنه متجه عزم المزدوج الكهربى المكافئ لوحدة الحجوم للمادة المستقطبة . فإذا كان لدينا حجم من المادة  $\tau$  فإنه يكفى مزدوجا كهربيا عزمه :  $\vec{P}_d \tau$  . لكثير من المواد تكون هناك علاقة خطية بين المتجه  $\vec{P}$  ومتوجه شدة المجال الكهربى  $\vec{E}$  عند أي نقطة داخل المادة المستقطبة . أي أن :

$$\vec{P} = k\vec{E}$$

حيث  $k$  ثابت يتوقف على المادة ويسمى معامل القابلية للاستقطاب . اذا كان متجه الاستقطاب ثابت في المقدار والاتجاه عند جميع نقط الماده المستقطبة قيل أن الاستقطاب منتظم .

### قاعدة بواسون للتوزيع المكافئ

نفرض أن لدينا جسما مستقطبا حجمه  $V$  ومحاط بالسطح  $S$  وأن  $d\tau$  عنصر حجم من هذا الجسم . هذا العنصر يكفى مزدوجا كهربيا متجه عزمه  $\vec{P}_d \tau$  . فإذا كانت  $q$  نقطة خارج الجسم المستقطب فان الظاهرة الكهربية الناشئة عن الجسم عند النقطة  $q$  تتميز بمتوجه المجال  $\vec{E}$  ودالة الجهد  $\Phi$  , وبقدر ان تأثيرات المزدووجات الكهربية المكونة للجسم .



شكل 2-15

لحساب دالة الجهد عند النقطة  $q$  نفرض أن الجهد الناتج عن المزدوج الكهربى  $\vec{P}_d \tau$  هو :

$$d\Phi = \vec{P}_d \tau \cdot \nabla \left( \frac{1}{r} \right)$$

ويكون الجهد الناتج عن الجسم عند النقطة  $q$  هو :

$$\Phi_q = \iiint_V \vec{P} \cdot \nabla \left( \frac{1}{r} \right) d\tau = \iiint_V \left[ \nabla \cdot \left( \frac{\vec{P}}{r} \right) - \frac{\nabla \cdot \vec{P}}{r} \right] d\tau$$

ويكون:

$$\Phi_q = \iiint_V \left( -\nabla \cdot \vec{P} \right) d\tau + \iint_S \frac{\vec{P} \cdot d\vec{S}}{r} = \iiint_V \left( -\nabla \cdot \vec{P} \right) d\tau + \iint_S \frac{P_n}{r} dS$$

وهذه النتيجة تبين أن الجسم المستقطب يكافئ تماماً النموذج الكهربى التالى :

(1) مجموعة من الشحنات الموزعة على حجم الجسم وكثافتها الحجمية للشحنة هي :

$$\rho = -\nabla \cdot \vec{P}$$

(2) مجموعة من الشحنات الموزعة على سطح الجسم وكثافتها السطحية للشحنة هي :

$$\sigma = P_n$$

التوزيعان السابقان يعرفا بتوزيع بواسون المكافئ للجسم المستقطب .

واضح أن الشحنة الكلية الناتجة عن التوزيعين السابقين هي :

$$Q = \iiint_V \left( -\nabla \cdot \vec{P} \right) d\tau + \iint_S P_n dS = - \iiint_V \left( \nabla \cdot \vec{P} \right) d\tau + \iiint_V \left( \nabla \cdot \vec{P} \right) d\tau = 0$$

كما هو متوقع لأنه يجب أن تكون الشحنة الكلية داخل الجسم المستقطب وعلى سطحه تساوى الصفر . شدة المجال الكهربى عند النقطة  $q$  الواقعة خارج الجسم المستقطب هو القوة المؤثرة على وحدة الشحنات الموجبة عند هذه النقطة ويتحقق المعادلات :

$$\vec{E} = -\nabla \Phi, \nabla \times \vec{E} = \vec{0}, \oint \vec{E} \cdot d\vec{l} = 0$$

الظاهر الكهربى داخل الجسم المستقطب يتميز أيضاً بمتوجه المجال الكهربى  $\vec{E}$  ويتحقق المعادلات السابقة .

### متوجه الازاحة الكهربى

عند أي نقطة داخل الجسم المستقطب يتحقق توزيع بواسون المكافئ . وهذا يعني أن المجال  $\vec{E}$  عند أي نقطة داخل الجسم المستقطب يرتبط بكثافة الشحنة الحجمية عند هذه النقطة ( أي بالكثافة  $-\nabla \cdot \vec{P}$  ) بواسطة نظرية جاوس للفيصل . أي أن :

$$\iint_S \vec{E} \cdot d\vec{S} = 4\pi \iiint_V \left( -\nabla \cdot \vec{P} \right) d\tau$$

حيث  $S$  هو سطح الجسم المستقطب المحاط بالحجم  $V$  . وباستخدام العلاقة التكاملية :

$$\iint_S \vec{E} \cdot d\vec{S} = \iiint_V \left( \nabla \cdot \vec{E} \right) d\tau$$

وبالتعويض في نظرية جاوس للفيصل نحصل على :

$$\nabla \cdot (\vec{E} + 4\pi \vec{P}) = 0$$

والآن يمكن تعريف متوجه جديد لتمييز الظاهرة الكهربائية داخل المادة المستقطبة والذي يمكن وضعه بالصورة :

$$\vec{D} = \vec{E} + 4\pi \vec{P}$$

ويسمى متوجه الازاحة الكهربائية ويحقق العلاقة الرياضية :  $\nabla \cdot \vec{D} = 0$  ، وهذا صحيح في حالة الجسم المستقطب فقط وغير مشحون بشحنات إضافية من الخارج . وحيث أن  $\vec{P} = k\vec{E}$  وبالتالي فان متوجه الازاحة الكهربائية يأخذ الصيغة :

$$\vec{D} = \vec{E} + 4\pi k \vec{E} = K \vec{E} , K = 1 + 4\pi k$$

ويسمى  $K$  ثابت الاستقطاب . واضح كذلك أن :

$$\nabla \cdot (K \vec{E}) = 0 , \nabla \cdot (K \nabla \Phi) = 0$$

فإذا كانت  $K$  لا تعتمد على الموضع فان دالة الجهد تتحقق معادلة لا بلاس :  $\nabla^2 \Phi = 0$  .

اما اذا كان الجسم المستقطب مشحونا بشحنات حرة إضافية وكثافتها الحجمية  $\rho$  وبتطبيق نظرية جلوس للفيض نجد أن :

$$\nabla \cdot \vec{E} = 4\pi (\rho - \nabla \cdot \vec{P}) \Rightarrow \nabla \cdot (\vec{E} + 4\pi \vec{P}) = 4\pi \rho$$

$$\nabla \cdot \vec{D} = 4\pi \rho \Rightarrow \nabla \cdot (K \nabla \Phi) = -4\pi \rho$$

وإذا كانت  $K$  لا تعتمد على الموضع فان دالة الجهد تتحقق :  $\nabla^2 \Phi = -\frac{4\pi}{K} \rho$  وهى معادلة بواسون . في حالة الفضاء  $\rho = 0$  ، وتصبح  $K = 1$  ويكون  $\vec{D} = \vec{E}$

## نتائج

1) اذا تخيلنا سطحا مغلقا مرسموم داخل المادة فانه ينتج مما سبق أن :

أ- اذا كانت المادة غير مشحونة بشحنات حرة فان :

$$\iint_S \vec{D} \cdot d\vec{S} = \iiint_V (\nabla \cdot \vec{D}) d\tau = 0$$

ب- اذا كانت المادة مشحونة بشحنات حرة كثافتها الحجمية  $\rho$  فان :

$$\iint_S \vec{D} \cdot d\vec{S} = \iiint_V (\nabla \cdot \vec{D}) d\tau = 4\pi \iiint_V \rho d\tau$$

2) اذا كان الجسم منتظم الاستقطاب أي أن  $\vec{P} = cons.$  فان المجال الكهربى داخل المادة يكون منتظماً أي أن  $\nabla \cdot \vec{E} = cons.$  اذا لم تكن هناك شحنات حرة أي  $\rho = 0$  ويؤول توزيع بواسون المكافئ الى توزيع سطحي فقط أي :

$$\Phi = \iint_S \frac{P_n}{r} dS$$

3) اذا كانت النقطة التي نحسب عندها الجهد  $\Phi$  خارج الجسم غير المشحون بشحنات حرة (أي

أي  $\rho = 0$ ) بعيدة جداً عن الجسم فان :  $\nabla \cdot \vec{E} = \frac{1}{r}$  تظل ثابتة أثناء عملية التكامل أي أن :

$$\Phi = \nabla \left( \frac{1}{r} \right) \cdot \iiint_V \vec{P} d\tau = \vec{m} \cdot \nabla \left( \frac{1}{r} \right)$$

أي أنه في هذه الحالة نعتبر الجسم المستقطب كما لو كان مزدوجاً كهربياً ومتوجه عزمه يتعين

$$\vec{m} = \iiint_V \vec{P} d\tau$$

4) اذا وضعنا شحنة  $+e$  في مادة ثابت استقطابها  $K$  وأحاطنا هذه الشحنة بكرة نصف قطرها  $r$  ومركزها الشحنة  $+e$  وكانت  $\vec{D}$ ,  $\vec{E}$ ,  $\vec{P}$  عند أي نقطة على بعد  $r$  من الشحنة فان : شكل

$$\iint_S \vec{D} \cdot d\vec{S} = 4\pi e \Rightarrow 4\pi r^2 D = 4\pi e \Rightarrow D = \frac{e}{r^2} \Rightarrow \vec{D} = \frac{e}{r^3} \vec{r}$$

والمجال الكهربى يتعين من :  $\vec{E} = \frac{e}{Kr^3} \vec{r}$  ومتوجه شدة الاستقطاب يأخذ الصورة :

$$\vec{P} = \frac{\vec{D} - \vec{E}}{4\pi} = \frac{(K-1)e}{4\pi r^3} \vec{r}$$

هذا يعني أنه اذا كانت هناك شحنة  $+e'$  على بعد  $r$  من الشحنة  $+e$  فان القوة المؤثرة على الشحنة  $+e'$  تكون بالصورة :  $\vec{F} = \frac{ee'}{r^3} \vec{r}$  واذا لم تكن هناك مادة فان  $\vec{F} = \frac{ee'}{Kr^3} \vec{r}$ , أي أن وجود

الشحنة  $+e$  داخل المادة انقص مقدارها من  $+e$  الى  $\frac{+e}{K}$  لأن  $K \geq 1$  ويمكن فهم ذلك من

توزيع بواسون كالتالي : اذا اعتبرنا الشحنة  $+e$  على هيئة كرة نصف قطرها  $b$  المادة بعد أن تستقطب تكافئ توزيع حجمي كثافته تعين من :

$$-\nabla \cdot \vec{P} = -\frac{(K-1)e}{4\pi K} \nabla \cdot \left( \frac{\vec{r}}{r^3} \right) = 0$$

وتوزيع سطحي كثافته السطحية :  $-P_{a=b}$  لأن  $\vec{P}$  في اتجاه  $\vec{r}$  أي عمودي على سطح الكرة ،

وهذا يعني ان استقطاب المادة يضيق الى الشحنة  $+e$  شحنة أخرى مقدارها

$$q = \lim_{b \rightarrow 0} 4\pi b^2 P_{r=b} = \lim_{b \rightarrow 0} -4\pi b^2 \frac{(K-1)e}{4\pi K b^2} = -\frac{(K-1)e}{K}$$

الإشارة السالبة لأن اتجاه  $\vec{P}$  هو اتجاه  $\vec{r}$  والاتجاه العمودي على السطح ( سطح الكرة ) نحو الخارج في اتجاه  $\vec{r}$  وبذلك تكون الشحنة الكلية :

$$+e - \frac{(K-1)e}{K} = \frac{e}{K}$$

### الشروط السطحية

الشروط السطحية الواجب توفرها عند السطح الفاصل بين مادتين مستقطبيتين يمكن الحصول عليها بفرض أن  $S$  هو السطح الفاصل بين مادتين (1) ، (2) وثابي استقطابهما  $K_1$  ،  $K_2$  على الترتيب . ونتخيل أسطوانة عمودية على السطح  $S$  ومساحة قاعدتها  $A$  وأن  $\vec{n}$  متوجه وحدة عمودي على السطح ، وإذا كانت هناك شحنات حرة على السطح الفاصل  $S$  وكثافتها السطحية  $\sigma$  وبفرض أن ارتفاع الأسطوانة صغير جدا بحيث يمكن إهمال فيض  $\vec{D}$  على السطح الدورانى نحصل على :

$$D_{n2}A - D_{n1}A = 4\pi\sigma A \Rightarrow D_{n2} - D_{n1} = 4\pi\sigma$$

وهذا يعني أن المركبة العمودية لمتجه الازاحة الكهربائية عند السطح الفاصل المشحون تكون غير متصلة ، حيث أن

$$\vec{D} = K\vec{E} , \quad E_n = \frac{\partial \Phi}{\partial n}$$

فنجده أن :

$$K_2 E_{n2} - K_1 E_{n1} = 4\pi\sigma \Rightarrow K_2 \frac{\partial \Phi_2}{\partial n} - K_1 \frac{\partial \Phi_1}{\partial n} = -4\pi\sigma$$

وإذا كان السطح غير مشحون أي  $\sigma = 0$  فإن :

$$D_{n2} - D_{n1} = 0 , \quad K_2 E_{n2} - K_1 E_{n1} = 0 \Rightarrow K_2 \frac{\partial \Phi_2}{\partial n} = K_1 \frac{\partial \Phi_1}{\partial n}$$

أما بخصوص المركبة المماسية لمتجه المجال الكهربى في اتجاه السطح الفاصل فانها تكون متصلة ، أي أن  $E_{t2} = E_{t1}$  ومنها نجد أن الجهد يكون دالة متصلة عند السطح أي  $\Phi_2 = \Phi_1$  اذا فرضنا أن المادة (2) هي مادة موصلة فان  $E_{t2} = 0$  أي  $\vec{E}_2 = 0$  ويكون  $E_{t1} = 0$  أي أن المجال الكهربى في المادة (1) يكون فقط عموديا على السطح  $S$  أي أن :

$$E_1 = -\frac{4\pi\sigma}{K_1}, \quad \sigma = +\frac{K_1}{4\pi} \cdot \frac{\partial\Phi}{\partial n}, \quad \Phi_1 = \Phi_2$$

## تطبيق



وضعت كرة نصف قطرها  $a$  وثابت استقطابها  $K$  في مادة ثابت استقطابها  $K_1$  وممتدة الى الانهاية ، وأثر على المادتين مجال كهربى منتظم شدته  $\vec{E}_0$  . احسب دالة الجهد عند أي نقطة .

**الحل :** يوجد حيدان (1) ، (2) داخل الكرة  $0 < r < a$  وخارج الكرة  $a < r < \infty$  .  
بأخذ المحور  $z$  في اتجاه المجال المنتظم  $\vec{E}_0$  خلال مركز الكرة  $0$  فيكون هذا المحور هو محور تماثل ، واذا اختربنا الاحداثيات القطبية الكروية للتعبير عن دالة الجهد والتي تعتمد عى  $r$  ،  $\theta$  ، اي ان  $\Phi = \Phi(r, \theta)$  لذلك سنبحث عن دالة الجهد :  $\Phi_1(r, \theta)$  ،  $\Phi_2(r, \theta)$  في المنطقتين (1) ، (2) وكل منهما تحقق الشرط :

$$\nabla^2 \Phi_1 = 0, \quad \nabla^2 \Phi_2 = 0 \quad (أ)$$

(ب)  $\Phi_1$  تكون وحيدة القيمة ومحدة القيمة عندما  $r = \infty$  ،  $\Phi_2$  تكون وحيدة القيمة ومحدة القيمة عندما  $r = 0$  .

(ج)  $\Phi_1 = \Phi_2$  عندما  $r = a$  لجميع قيم الزاوية  $\theta$  .

$$K_1 \frac{\partial \Phi_1}{\partial r} = K_2 \frac{\partial \Phi_2}{\partial r} \quad (د)$$

لذلك نركب الدالتين  $\Phi_1$  ،  $\Phi_2$  من الدوال :

$$\frac{C}{r}, \quad \frac{A \cos \theta}{r^2}, \quad Br \cos \theta, \quad -E_0 r \cos \theta$$

داخل الكرة  $0 < r < a$  نختار  $\Phi_2 = Br \cos \theta$  .

خارج الكرة  $a < r < \infty$  يجب أن يؤول الجهد الى ذلك المجال المنتظم عند  $r = \infty$  كما ان المجال عند النقط البعيدة يكون قريبا من ذلك للمزدوج الكهربى . لذا نختار

$$\Phi_1 = -E_0 r \cos \theta + \frac{A \cos \theta}{r^2}$$

ثم بتطبيق الشرطين (ج) ، (د) نحصل على :

$$-E_0 a \cos \theta + \frac{A \cos \theta}{a^2} = Ba \cos \theta$$

$$K_1 \left[ -E_0 \cos \theta - \frac{2A \cos \theta}{a^3} \right] = K_2 B \cos \theta$$

$$-E_0 + \frac{A}{a^3} = B \quad , \quad -E_0 - \frac{2A}{a^3} = \frac{K_2}{K_1} B$$

وبحل هاتين المعادلتين نجد أن :

$$A = \frac{K_2 - K_1}{K_2 + 2K_1} E_0 a^3 \quad , \quad B = \frac{-3K_1}{K_2 + 2K_1} E_0$$

وبذلك يكون :

$$\Phi_1 = -E_0 r \cos \theta + \frac{K_2 - K_1}{K_2 + 2K_1} \cdot \frac{E_0 a^3}{r^2} \cos \theta$$

$$\Phi_2 = \frac{-3K_1 E_0}{K_2 + 2K_1} \cdot r \cos \theta$$

نتيجة (1) : نستطيع أن نوجّد توزيع من الشحنات في الفضاء والمكافئ للتركيبة السابقة ويعطى

نفس دالّي الجهد  $\Phi_1$  ،  $\Phi_2$  وذلك من

$$\nabla^2 \Phi = \frac{1}{r^2} \frac{\partial}{\partial r} \left( r^2 \frac{\partial \Phi}{\partial r} \right) + \frac{1}{r^2 \sin \theta} \frac{\partial}{\partial \theta} \left( \sin \theta \frac{\partial \Phi}{\partial \theta} \right) + 0 = 4\pi\rho$$

$$(E_{n1} - E_{N2})_{r=a} = 4\pi\sigma$$

والدالتان  $\Phi_1$  ،  $\Phi_2$  تحققان معادلة لابلاس حيث  $\rho = 0$  . في الحيزين (1) ، (2) نضع

$$K_1 = 1 \quad K_2 = K$$

$$\left( \frac{\partial \Phi_1}{\partial r} - \frac{\partial \Phi_2}{\partial r} \right)_{r=a} = -4\pi\sigma$$

$$-E_0 \cos \theta - 2 \frac{K-1}{K+2} \cdot E_0 \cos \theta + \frac{3}{K+2} \cdot E_0 \cos \theta = -4\pi\sigma$$

$$\Rightarrow \sigma = \frac{3(K-1)}{4\pi(K+2)} \cdot E_0 \cos \theta$$

وهذا يعني أن توزيع من الشحنات بكثافة سطحية  $\sigma$  على سطح الكرة (نصف قطرها  $a$ ) وثبت استقطابها  $K$  موضوعة في الفضاء يعطى نفس الظاهر الكهربائية (مثل الكرة التي نصف قطرها  $a$  في مجال كهربائي منتظم  $E_0$ ).

نتيجة (2) : اذا كانت الكرة هي فجوة في المادة  $K_1$  فان :

$$\Phi_2 = \frac{-3K_1}{1+2K_1} \cdot E_0 r \cos \theta$$

**مثال (5):** احسب توزيع بواسون المكافئ في حالة كرة نصف قطرها  $a$  ومستقطبة بحيث كان متجه الاستقطاب يتبع من :  $\vec{P} = \alpha \vec{r}$  حيث  $\alpha$  ثابت ،  $\vec{r}$  متجه موضع نقطة بالنسبة الى مركز الكرة

**الحل :**

الكثافة الحجمية للشحنة تعطى من :  $\rho = -\nabla \cdot \vec{P} = -\alpha \nabla \cdot \vec{r} = -3\alpha$   
و الكثافة السطحية تتبع من :  $\sigma = \vec{P} \cdot \vec{n} = \alpha \vec{r} \cdot \frac{\vec{r}}{r} = \alpha r \Rightarrow \sigma = \alpha a$  لأن  $r = a$  عند سطح الكرة . واضح أن الشحنة الكلية :

$$Q = \iiint_V (-3\alpha) d\tau + \iint_S (\alpha a) dS = (-3\alpha) \left( \frac{4}{3} \pi a^3 \right) + (\alpha a) (4\pi a^2) = 0$$

### التيارات الكهربية

عن توصيل موصلين دالتى الجهد عليهما  $\Phi_1$  ،  $\Phi_2$  بواسطة سلك معدنى عندئذ يحدث سريان كهربى من الموصى ذى الجهد الأكبر للموصى الآخر حتى يتتساوى الجهدان .

### شدة التيار الكهربى

شدة التيار في موصى منتظم هو معدل تغير الشحنة  $Q$  أي أن :



### متجه كثافة التيار

معدل سريان التيار الكهربى عبر عنصر  $dS$  من سطح عند نقطة  $(\vec{r})$  هو :  $\vec{j} \cdot d\vec{S}$  حيث

$$(\vec{j} \cdot \vec{dS}) = \text{متجه كثافة التيار}$$

### معادلة الاتصال

معدل سريان الشحنة الكهربية خارج سطح  $S$  المحيط بالحجم  $V$  هو :  $\iint_S \vec{j} \cdot d\vec{S}$  ويساوي

معدل النقص في الشحنة ، وبفرض أن السطح ثابت فيكون :

$$\iint_S \vec{j} \cdot d\vec{S} = - \frac{\partial}{\partial T} \iiint_V \rho d\tau \quad \text{وباستخدام العلاقة التكاملية :}$$

$$\iint_S \vec{j} \cdot d\vec{S} = \iiint_V (\nabla \cdot \vec{j}) d\tau$$

نجد أن :

$$\iiint_V \left( \nabla \cdot \vec{j} + \frac{\partial \rho}{\partial t} \right) d\tau = 0$$

$$\nabla \cdot \vec{j} + \frac{\partial \rho}{\partial t} = 0$$

وتسمى هذه المعادلة بمعادلة الاتصال . عندما  $\frac{\partial \rho}{\partial t} = 0$  فإن :  $\nabla \cdot \vec{j} = 0$

بوضع  $\nabla \cdot \vec{j} = - \frac{\partial \rho}{\partial t}$  والتي تبين أن الشحنة المتباudeة في الثانية لكل وحدة حجم تساوى

معدل النقص في الشحنة بالنسبة للزمن لكل وحدة حجم عند هذه النقطة .

### تمارين



1 - شحنة  $+e$  موضوعة أمام السطح المستوى لمادة ثابت استقطابها  $K$  ونصف لانهائي أحسب القوة بين الشحنة والمادة .

2 - كرة نصف قطرها  $a$  منتظمة الاستقطاب وكان  $\bar{P}$  متجه الاستقطاب . أحسب المجال الكهربى الكلى عند المركز الناتج عن الجزء السطحى من توزيع بواسون المكافى .

3 - قضيب رفيع مساحة مقطعه  $A$  منطبق على المحور  $x$  من نقطة الأصل الى  $x = L$  فإذا علم أن الاستقطاب كان في اتجاه القضيب ويتبع من :  $|\vec{P}| = \alpha x^2 + b$ . أحسب الكثافة الحجمية لشحنة الاستقطاب وكذلك الكثافة السطحية لها عند كل طرف .

4 - ثلاثة قشرات كروية رقيقة متعددة المركز  $C$  ،  $B$  ،  $A$  أنصاف قطراتها على الترتيب حيث  $c < b < a$ . مليء الفضاء بين  $A$  ،  $B$  بمادة ثابتة  $K$  ، وفضاء بين  $C$  ،  $B$  بمادة ثابتة استقطابها  $K'$ . وصلت القشرتان استقطابها  $K$  ، وشحنة كلية  $Q$  . أثبت أن  $Q$  تتقسم على  $A$  ،  $C$  بالأرض وشحنت القشرة  $B$  بشحنة كلية  $B$  بال نسبة :  $\frac{Ka(c-b)}{K'c(b-a)}$

### الباب الثالث

#### الظاهرة المغناطيسية

الظاهرة المغناطيسية في الفضاء تتحدد بوجود متجه  $\vec{H}$  يعرف بمتجه شدة المجال المغناطيسى ودالة جهد قياسية  $\Omega$ . ويمكن معالجة الظاهرة المغناطيسية بنفس الطريقة التي عالجنا بها الظاهرة الكهربائية الاستاتيكية.



المجالات المغناطيسية تنشأ عادة من نوعين من الأجسام :

(أ) بواسطة شحنات كهربائية متحركة أو تيارات كهربائية .

(ب) بواسطة أجسام مغنة ( مواد مغناطيسية ) ويجب ملاحظة أن هناك فرق أساسى بين الظاهرة الكهربائية والظاهرة المغناطيسية حيث من الممكن ظهور شحنات كهربائية بصورة منفردة ( موجبة أو سالبة ) أما في الظاهرة المغناطيسية فان الأقطاب المغناطيسية تظهر في شكل أزواج متلازمة ( أي قطب مغناطيسي موجب يلازم قطب مغناطيسي سالب أو قطب شمالي يلازم قطب جنوبى )

#### القانون العكسي لـ كولوم

لأى قطبين مغناطيسين شديهما  $p_1$  ،  $p_2$  ، وتفصلهما مسافة  $r$  ستظهر قوة بينهما تتناسب طرديا مع حاصل الضرب  $p_1 p_2$  وتتناسب عكسيا مع مربع المسافة بين القطبين ، أي أن :

$$\vec{F} \propto \frac{p_1 p_2}{r^3} \vec{r}$$

و ثابت التنااسب يتوقف على الوسط الموجود به هذين القطبين المغناطيسين .

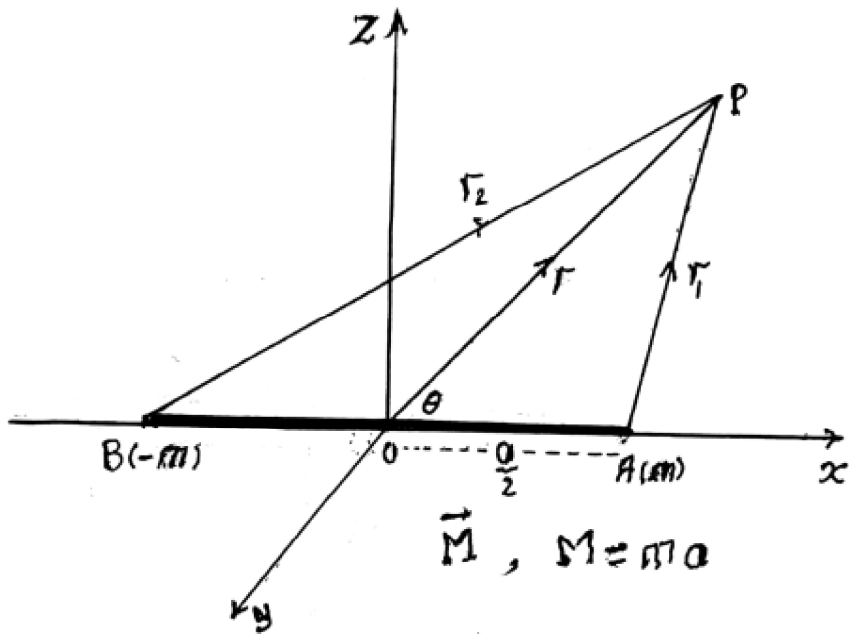
#### الجهد المغناطيسي لمغناطيس صغير

المغناطيس الصغير يسمى مزدوج مغناطيسي وهو يتكون من قطبين مغناطيسين كبيرين تفصل بينهما مسافة صغيرة جدا . متجه العزم المغناطيسي للمزدوج يرمز له بالرمز  $\vec{M}$  ومقداره : حيث  $M = ma$  حيث  $m$  شدة القطب ،  $a$  طول المغناطيس الصغير (  $a$  صغيرة جدا ) .

اتجاه متجه العزم في اتجاه محور المزدوج ( الخط الواصل من القطب السالب للقطب الموجب )

الجهد المغناطيسي الناشئ عن المزدوج عند النقطة  $(r)$  يعطى بالصيغة :

$$\Omega(p) = \frac{m}{r_1} + \frac{-m}{r_2} = m \left( \frac{1}{r_1} - \frac{1}{r_2} \right)$$



شكل 1-3

باختيار مجموعة المحاور الكارتيزية بحيث ينطبق المحور  $x$  على محور المغناطيس الصغير كما هو موضح بالشكل، وعليه يمكن وضع :

$$r = \sqrt{x^2 + y^2 + z^2}$$

$$r_1 = \sqrt{\left(x - \frac{a}{2}\right)^2 + y^2 + z^2} = r \left(1 - \frac{ax}{r^2}\right)^{\frac{1}{2}}$$

$$r_2 = \sqrt{\left(x + \frac{a}{2}\right)^2 + y^2 + z^2} = r \left(1 + \frac{ax}{r^2}\right)^{\frac{1}{2}}$$

وبالتعويض فإن دالة الجهد تصبح بالصورة :

$$\Omega(p) = \frac{m}{r} \left[ \left(1 - \frac{ax}{r^2}\right)^{-\frac{1}{2}} - \left(1 + \frac{ax}{r^2}\right)^{-\frac{1}{2}} \right] = \frac{ma}{r^2} \cdot \frac{x}{r}$$

وبفرض أن  $\theta$  هي الزاوية بين المتجهين  $\vec{M}$  ،  $\vec{r}$  فتكون :  $\cos \theta = \frac{x}{r}$  وتصبح دالة الجهد

بالصورة :

$$\Omega(p) = \frac{M \cos \theta}{r^2} = \frac{\vec{M} \cdot \vec{r}}{r^3}$$

### المجال المغناطيسي لمغناطيس صغير

شدة المجال المغناطيسي للمغناطيس الصغير عند النقطة  $p$  تتبع من العلاقة الآتية :

$$\vec{H} = -\nabla \Omega(p) = -\nabla \left( \frac{M \cos \theta}{r^2} \right)$$

وبذلك فإن مركبة المجال في اتجاه تزايد  $r$  تعطى بالشكل :

$$H_r = -\frac{\partial \Omega}{\partial r} = \frac{2M \cos \theta}{r^3}$$

أما مركبة المجال في اتجاه تزايد الزاوية  $\theta$  فتعطى بالعلاقة :

$$H_\theta = -\frac{1}{r} \cdot \frac{\partial \Omega}{\partial \theta} = \frac{H \sin \theta}{r^3}$$

يمكن وضع المجال المغناطيسي أيضاً بالصيغة :

$$\begin{aligned} \vec{H} &= -\nabla \Omega = -\nabla \left( \frac{\vec{M} \cdot \vec{r}}{r^3} \right) = -\frac{1}{r^3} \nabla (\vec{M} \cdot \vec{r}) - (\vec{M} \cdot \vec{r}) \nabla \left( \frac{1}{r^3} \right) \\ &= -\frac{\vec{M}}{r^3} + \frac{3(\vec{M} \cdot \vec{r})}{r^3} \vec{r} \end{aligned}$$

وتكون :

$$H_M = -\frac{M}{r^3} , \quad H_r = \frac{3M \cos \theta}{r^3}$$

### المواد القابلة للمغناطيسة

عناصر هذه المواد عبارة عن مغناطيسات صغيرة . هذه المغناطيسات الصغيرة في حالة توزيع عشوائي . فإذا وضع مادة قابلة للمغناطيسة في مجال مغناطيسي فإنه يحدث تعديل في المغناطيسات الصغيرة بحيث يصبح اتجاه متوجه العزم المغناطيسي لكل مغناطيس صغير في اتجاه المجال المغناطيسي الموجود به هذه المادة القابلة للمغناطيسة وتصبح عندئذ المادة ممغنطة . لدراسة مثل هذه المواد نستخدم متوجه يسمى متوجه شدة المغناطيسة ويرمز له بالرمز  $\vec{I}$  ويعرف بأنه متوجه العزم المغناطيسي لوحدة الحجوم من المادة الممغنطة . وهناك علاقة (مبرهنة عملياً لبعض المواد الممغنطة ) بين شدة المجال  $\vec{H}$  والمتجه  $\vec{I}$  للمادة الممغنطة بالصيغة :

$$\vec{I} = k\vec{H}$$

حيث  $k$  ثابت ويسمى بمعامل قابلية المادة للمغناطيسة . يرتبط مع المتجهين  $\vec{I}$  ،  $\vec{H}$  متوجه آخر  $\vec{B}$  ويسمى متوجه الحث المغناطيسي بالعلاقة :

$$\vec{B} = \vec{H} + 4\pi\vec{I} = \mu\vec{H}$$

حيث  $\mu = 1 + 4\pi k$  ويسمى معامل النفاذية المغناطيسية . متوجه الحث المغناطيسي يتحقق :

$$\nabla \cdot \vec{B} = 0$$

### الجهد الاتجاهي

من العلاقة  $\nabla \cdot \vec{B} = 0$  فإنه يمكن وضع متوجه الحث المغناطيسي على الصورة :

$$\vec{B} = \nabla \times \vec{A}$$

يسمى المتوجه  $\vec{A}$  متوجه الجهد الاتجاهي . اذا كان  $\vec{A}'$  جهد اتجاهي فان  $\vec{A}' + \nabla \Psi$  يمثل أيضاً جهد اتجاهي ( حيث  $\Psi$  دالة قياسية ) , ويعطى نفس متوجه الحث المغناطيسي ، وذلك لأنه اذا كان  $\vec{A} = \vec{A}' + \nabla \Psi$  فان :  $\nabla \times \vec{A} = \nabla \times \vec{A}'$  ، ولذلك فإنه لتحديد المتوجه  $\vec{A}$  الذي يتبعه منه متوجه الحث المغناطيسي تحديداً وحيداً فإنه يلزم وضع شرط ( قيد ) على المتوجه  $\vec{A}$  . من العلاقة  $\nabla \cdot \vec{A} = \nabla \cdot \vec{A}' + \nabla^2 \Psi$  سنتentar الدالة القياسية  $\Psi$  بحيث تتحقق الشرط :  $\nabla^2 \Psi = -\nabla \cdot \vec{A}'$  عندئذ فإن متوجه الحث المغناطيسي يعطى بالصورة :

$$\nabla \cdot \vec{A} = 0 \quad \text{والمتجه } \vec{B} = \nabla \times \vec{A} \quad \text{يحقق الشرط :}$$



أمثلة محلولة

**مثال (1) :**

أثبت أن الجهد الاتجاهي لمغناطيس صغير عند نقطة هو :  $\vec{A} = \frac{\vec{M} \wedge \vec{r}}{r^3}$ . حيث  $\vec{M}$  متجه العزم المغناطيس للمغناطيس ،  $\vec{r}$  متجه موضع النقطة بالنسبة للمغناطيس .

**الحل :**

نفرض أن محور المغناطيس الصغير ينطبق على المحور  $oz$  بحيث يكون متجه العزم للمغناطيس الصغير بالصورة  $\vec{M} = (0, 0, M)$  ، ويصبح المتجه  $\vec{A}$  بالصورة :

$$\vec{A} = \frac{\vec{M} \wedge \vec{r}}{r^3} = \left( \frac{-My}{r^3}, \frac{Mx}{r^3}, 0 \right)$$

ومنه نجد أن :

$$\nabla \wedge \vec{A} = \left( \frac{3Mxz}{r^5}, \frac{3Myz}{r^5}, \frac{3Mz^2}{r^5} - \frac{M}{r^3} \right)$$

فانه يمكن وضع هذا المتجه بالشكل :  $\vec{M} \bullet \vec{r} = Mz$  وحيث أن

$$\nabla \wedge \vec{A} = \frac{3\vec{M} \bullet \vec{r}}{r^5} \vec{r} - \frac{\vec{M}}{r^3}$$

وهذا المتجه يمثل شدة المجال المغناطيسي للمغناطيس الصغير عند نقطة  $p(r)$  ، والمتجه  $\vec{A}$  يحقق الشرط :

$$\nabla \bullet \vec{A} = \frac{\partial}{\partial x} \left( \frac{-My}{r^3} \right) + \frac{\partial}{\partial y} \left( \frac{Mx}{r^3} \right) + 0 = 0$$

وعليه فان المتجه  $\vec{A}$  يمثل الجهد الاتجاهي للمغناطيس الصغير .

**مثال (2) :**

أثبت أن الجهد الاتجاهي لمجال مغناطيسي ثابت ( حيث المجال المغناطيسي  $\vec{H}$  في اتجاه المحور  $oz$  ) يمكن وضعه في الصورة :  $\vec{A} = [0, -aHz, (1-a)Hy]$  حيث  $a$  ثابت .

**الحل :**

متجه الدوران للمتجه  $\vec{A}$  هو :

$$\nabla \wedge \vec{A} = \begin{vmatrix} \vec{i} & \vec{j} & \vec{k} \\ \frac{\partial}{\partial x} & \frac{\partial}{\partial y} & \frac{\partial}{\partial z} \\ 0 & -aHz & (1-a)Hy \end{vmatrix} = (H, 0, 0)$$

والمتجه  $\vec{A}$  يحقق الشرط :

$$\nabla \cdot \vec{A} = 0 + \frac{\partial}{\partial y}(-aHz) + \frac{\partial}{\partial z}(1-a)Hy = 0$$

ومن ذلك نستنتج أن المتجه  $\vec{A}$  هو الجهد الاتجاهي للمجال المغناطيسي الثابت  $\vec{H}$  حيث

$$\vec{H} = \vec{B}$$

**مثال (3) :**

باستخدام الاحداثيات الاسطوانية أثبتت أنه اذا كان المجال المغناطيسي  $\vec{H}$  في اتجاه المحور

$$\vec{A} = \left( 0, \frac{1}{2}H\rho, 0 \right) \text{ فان الجهد الاتجاهي يأخذ الصورة :}$$

**الحل :**

متجه الدوران للمتجه المعطى  $\vec{A}$  في الاحداثيات الاسطوانية يكون بالصورة :

$$\nabla \wedge \vec{A} = \frac{1}{\rho} \begin{vmatrix} \vec{e}_\rho & \rho \vec{e}_\phi & \vec{e}_z \\ \frac{\partial}{\partial \rho} & \frac{\partial}{\partial \phi} & \frac{\partial}{\partial z} \\ 0 & \frac{1}{2}A\rho^2 & 0 \end{vmatrix} = (0, 0, H)$$

المتجه  $\vec{A}$  يحقق الشرط :

$$\nabla \cdot \vec{A} = \frac{1}{\rho} \frac{\partial}{\partial \phi} \left( \frac{1}{2}H\rho \right) = 0$$

من ذلك ينتج أن المتجه  $\vec{A}$  يمثل الجهد الاتجاهي لمجال مغناطيسي ثابت في اتجاه المحور  $oz$

$$\vec{B} = \vec{H}$$

## مثال (4) :

أثبت أنه لمجال مغناطيسي  $\vec{H}$  يوازي محور الزاوية  $\theta$  في الاحاديث القطبية الكريية فان

$$\text{الجهد الاتجاهى يمكن وضعه بالصورة : } \vec{A} = \left( 0, 0, \frac{1}{2} Hr \sin \theta \right)$$

الحل :

متجه الدوران للمتجه  $\vec{A}$  في الاحاديث القطبية الكريية يأخذ الصورة :

$$\nabla \wedge \vec{A} = \frac{1}{r^2 \sin \theta} \begin{vmatrix} \vec{e}_r & r\vec{e}_\theta & r \sin \theta \vec{e}_\phi \\ \frac{\partial}{\partial r} & \frac{\partial}{\partial \theta} & \frac{\partial}{\partial \phi} \\ 0 & 0 & \frac{1}{2} Hr^2 \sin^2 \theta \end{vmatrix}$$

$$= H (\cos \theta, -\sin \theta, 0)$$

ومتجه  $\vec{A}$  يحقق الشرط :

$$\nabla \bullet \vec{A} = 0 + 0 + \frac{1}{r \sin \theta} \frac{\partial}{\partial \phi} \left( \frac{1}{2} Hr \sin \theta \right) = 0$$

وعليه فان المتجه  $\nabla \wedge \vec{A}$  يمثل شدة المجال المغناطيسي  $\vec{H}$ , ومركبته الأولى في اتجاه تزايد  $r$  والمرickleة الثانية في اتجاه تناقص الزاوية  $\theta$ . أي أن المجال المغناطيسي في اتجاه المحور  $oz$  وهو محور الزاوية  $\theta$ .



### الجهد لقشرة مغناطيسية منتظمة

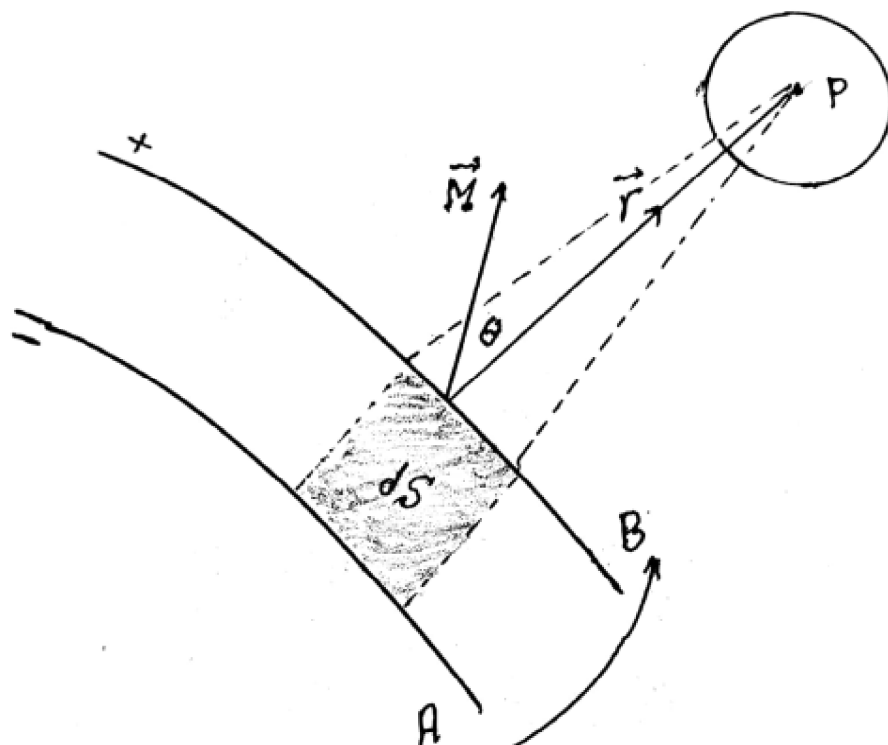
نعتبر قشرة ذات سماكة صغيرة، ونفرض ان  $n$  هو عدد الأقطاب الموجبة المغناطيسية الصغيرة لوحدة السطح لهذه القشرة. ونفرض أن  $\vec{M}$  هو متجه العزم لكل مغناطيس صغير. نفرض أن المغناطيسات الصغيرة موزعة توزيعاً منتظماً بحيث تكون الأقطاب الموجبة منطبقة على أحد سطح القشرة بينما الأقطاب السالبة منطبقه على السطح الآخر للقشرة. لا يجاد الجهد المغناطيسي الناتج عن القشرة عند النقطة  $p$  فاننا نختار العنصر  $dS$  من سطح القشرة

المغناطيسية . نفرض أن  $r$  هو موضع النقطة  $p$  بالنسبة للعنصر  $dS$ . الجهد المغناطيسي الناتج عن العنصر السطحي عند النقطة  $p$  ( الموضوعة في جهة الأقطاب الموجبة ) يكون بالصورة :

$$d\Omega(p) = \frac{Mn dS \cos \theta}{r^2}$$

نرسم مخروط قاعدته العنصر  $dS$  ورأسه النقطة  $p$  فيكون :

$$\frac{dS \cos \theta}{r^2} = d\omega$$



شكل 2-3

حيث  $d\omega$  هي الزاوية المحسنة للمخروط الذي قاعدته  $dS$  . وعليه فان الجهد المغناطيسي الكلى الناشئ عن القشرة عند النقطة  $p$  يعطى بالعلاقة :

$$\Omega(p) = \Omega_+ = \iint_S d\Omega = Mn \iint_S d\omega = Mn\omega$$

حيث  $d\omega$  هي الزاوية المحسنة التي تصنعها القشرة عند النقطة  $p$ . بوضع  $Mn = \Phi$

نجد أن :

$$\Omega_+ = \Phi\omega$$

حيث  $\Phi$  تمثل العزم المغناطيسي لوحدة السطح (لوحدة المساحة) أو الشدة المغناطيسية . عندما تكون النقطة  $p$  على الجانب الآخر (اي في جهة الأقطاب السالبة) فان :

$$\Omega_- = -\Phi\omega$$

الشغل اللازم لنقل وحدة الأقطاب الموجبة من النقطة (الواقعة على سطح الأقطاب السالبة)

إلى النقطة  $p$  (الواقعة على سطح الأقطاب الموجبة) يعطى بالعلاقة :

$$W = \int_A^B \vec{F} \cdot d\vec{\ell} = \int_A^B \vec{B} \cdot d\vec{\ell} = \mu \int_A^B \vec{H} \cdot d\vec{\ell}$$

$$= \mu(\Omega_B - \Omega_A) = \mu\Phi(\omega_B + \omega_A)$$

$\vec{B} = \mu\vec{H}$  هو متجه الحث المغناطيسي ،  $d\vec{\ell}$  عنصر الازاحة، وتعتمد الزاويتان المحسمنتان

$\omega_B$  ،  $\omega_A$  على محيط القشرة المغناطيسية . عندما تكون القشرة المغناطيسية ذات سمك

صغير جدا فان النقطة  $A$  تتطبق تقريبا على النقطة  $B$  وفي هذه الحالة فان :

$\omega_A + \omega_B = 2\pi$  ويصبح الشغل عندئذ بالصورة :

$$W = 2\pi\mu\Phi$$

أمثلة محلولة



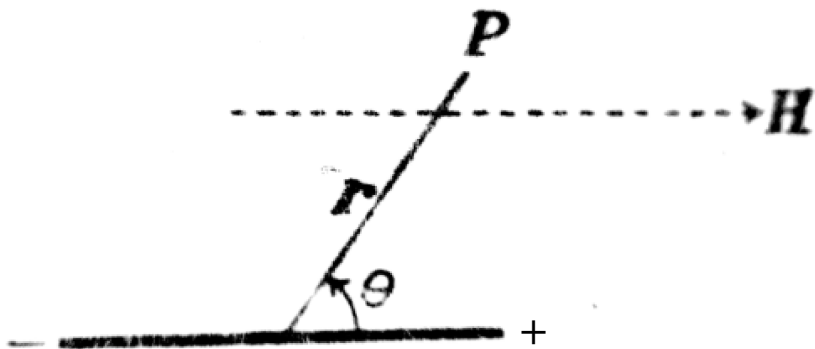
مثال (5) :

وضع مزدوج مغناطيسي عزم  $\bar{M}$  في مجال مغناطيسي منتظم  $\bar{H}$  بحيث يكون محور المغناطيس يوازي المجال المغناطيسي . بين أن المجال المحصل بتلاشى على دائرة أو عند نقطتين . اوجد النسبة بين قطر الدائرة والمسافة بين النقطتين .

الحل :

محصلة المجال المغناطيسي  $\vec{H}_1$  والمجال الناشئ عن المزدوج عند النقطة  $(r)$  هو :

$$\vec{H}_1 = \vec{H} - \frac{\vec{M}}{r^3} + \frac{3\vec{M} \cdot \vec{r}}{r^5} \vec{r}$$



شكل 3-3

المجالان  $\vec{M}$  ،  $\vec{H}$  لهما نفس الاتجاه وعليه فان المجال  $\vec{H}_1$  عبارة عن مجموع متجهين أحدهما في اتجاه المتجه  $\vec{H}$  والآخر في اتجاه المتجه  $\vec{r}$ . يتلاشى المتجه المحصل  $\vec{H}_1$  عندما يتلاشى معامل  $\vec{H}$  ،  $\vec{r}$  أي عندما يكون :

$$H - \frac{M}{r^3} , \quad \cos \theta = 0$$

ومنها نجد أن :  $r = \left( \frac{M}{H} \right)^{\frac{1}{3}}$  . أي أن المجال  $\vec{H}_1$  يتلاشى عند

كل نقط الدائرة التي نصف قطرها  $\left( \frac{M}{H} \right)^{\frac{1}{3}}$  وهذه الدائرة في مستوى عمودي على  $\vec{M}$  أي

أن الدائرة عمودية على محور المزدوج ، ومن جهة أخرى اذا كان  $\vec{M}$  في اتجاه مضاد للمتجه  $\vec{H}$  فانه يمكن وضع  $\vec{M} = -\lambda \vec{H}$  حيث  $\lambda \geq 0$  ، ويكون المجال المحصل عند ذلك بالصورة :

$$\vec{H}_1 = \left( 1 + \frac{\lambda}{r^3} \right) \vec{H} - \frac{3\lambda (\vec{H} \cdot \vec{r})}{r^5} \vec{r}$$

واضح من هذه العلاقة أن معامل  $\vec{H}$  لا يساوى الصفر ، ويختلاشى  $\vec{H}_1$  فقط عندما يتوازى

المتجهان  $\vec{r}$  ،  $\vec{H}$  . وعندما يكون  $\vec{r}$  ،  $\vec{H}$  في نفس الاتجاه فان  $\vec{H}_1$  يتلاشى عند النقطة (

على محور المزدوج والتي موضعها  $r$  الذي يحقق :

$$\left(1 + \frac{\lambda}{r^3}\right)H - \frac{3\lambda H}{r^3} = 0$$

ومنها نجد أن :  $2\lambda = r^3$ . وعندما يكون  $\vec{r}$  ،  $\vec{H}$  في اتجاهين متضادين فان موضع النقطة يتحدد من :

$$\left(1 + \frac{\lambda}{r^3}\right)H - \frac{3\lambda H}{r^3} = 0$$

أي أن  $r^3 = 2\lambda$ . اي توجد نقطتان يتلاشى عندهما المجال  $\vec{H}_1$ . المسافة بين النقطتين هي

$$2r' = 2\left(\frac{M}{H}\right)^{\frac{1}{3}}. \text{ وطول قطر الدائرة العمودية على محور المزدوج هي : } 2r = 2(2\lambda)^{\frac{1}{3}}$$

أي أن :  $2r' = 2(\lambda)^{\frac{1}{3}}$ . وتكون النسبة بين قطر الدائرة والمسافة بين النقطتين هي :

$$\frac{2r'}{2r} = \frac{2(\lambda)^{\frac{1}{3}}}{2(2\lambda)^{\frac{1}{3}}} = \frac{1}{(2)^{\frac{1}{3}}}$$

### مثال ( 6 ) :

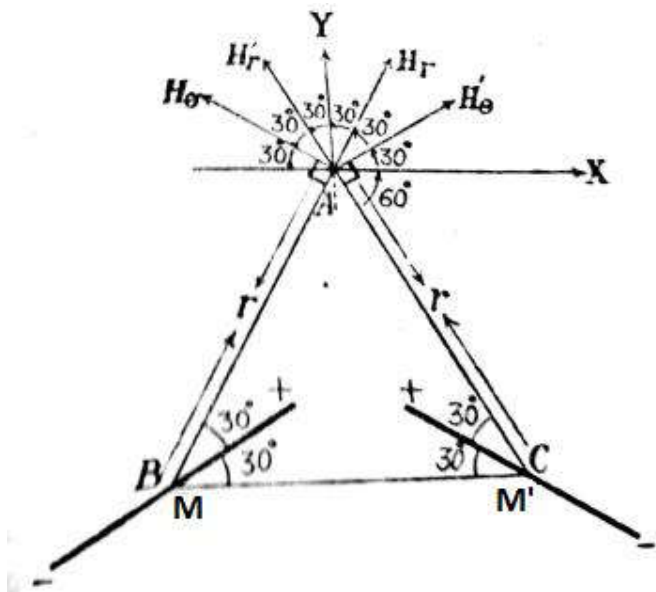
وضع مزدوجان عزمهما '  $M'$  عند الرأسين  $C$  ،  $B$  للمثلث المتساوي الأضلاع  $ABC$  بحيث ينصف محور المزدوج الزاوية المناظرة ، ثم وضع مغناطيس صغير عند  $A$  بحيث يدور بحرية . أثبت أن الزاوية بين محور المغناطيس الصغير ومنصف الزاوية  $A$  هي :

$$\tan^{-1}\left(\frac{\sqrt{3}}{7} \cdot \frac{M - M'}{M + M'}\right)$$

**الحل :**

المزدوجان '  $M'$  ،  $M$  ينتميا عند النقطتين  $C$  ،  $B$  عند النقطة المجالين المغناطيسيين :

$$\vec{H} = (H_r, H_\theta) , \quad \vec{H}' = (H'_r, H'_\theta)$$



شكل 4-3

$$H_r = \frac{2M \cos 30^\circ}{r^3} = \frac{\sqrt{3}M}{r^3}, \quad H_\theta = \frac{M \sin 30^\circ}{r^3} = \frac{M}{2r^3}$$

$$H'_r = \frac{2M' \cos 30^\circ}{r^3} = \frac{\sqrt{3}M'}{r^3}, \quad H'_\theta = \frac{M' \sin 30^\circ}{r^3} = \frac{M'}{2r^3}$$

مركبا محصلة المجالين  $\vec{H}'$  ،  $\vec{H}$  حيث :  $X$  ،  $Y$  هما

$$X = (H_r - H'_r) \cos 60^\circ + (H'_\theta - H_\theta) \cos 30^\circ = \frac{\sqrt{3}(M - M')}{4r^3}$$

$$Y = (H_r + H'_r) \cos 30^\circ + (H_\theta + H'_\theta) \cos 60^\circ = \frac{7(M + M')}{4r^3}$$

خط القوة عند  $A$  (اتجاه المغناطيس الصغير عند  $A$  في حالة الاتزان) يميل على منصف الزاوية  $A$  بالزاوية  $\theta$  حيث :

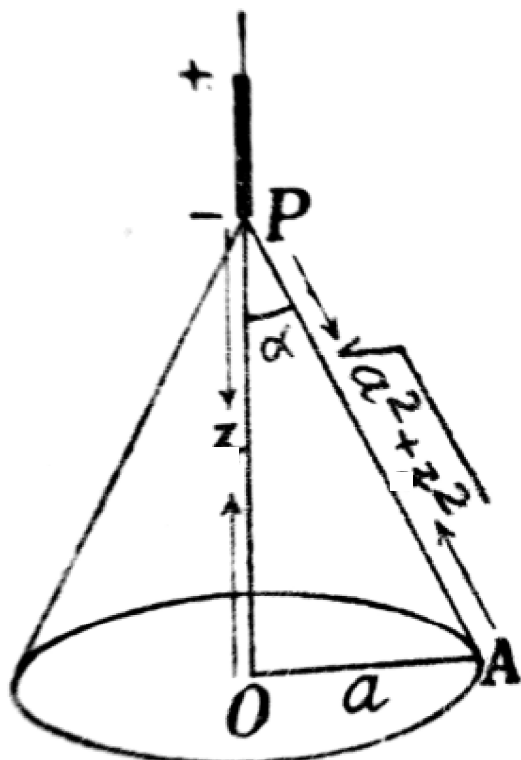
$$\tan \theta = \frac{X}{Y} = \frac{\sqrt{3}}{7} \cdot \frac{M - M'}{M + M'} \quad \therefore \quad \theta = \tan^{-1} \left( \frac{\sqrt{3}}{7} \cdot \frac{M - M'}{M + M'} \right)$$

## مثال ( 7 ) :

قشرة مغناطيسية منتظمة شدتها  $\Phi$  ومحودة بمنحنى دائري نصف قطره  $a$ . أوجد المجال المغناطيسي لهذه القشرة عند نقطة على محور القشرة وتبعد عن مركز الدائرة مسافة  $z$ . ثم أوجد القوة الميكانيكية المؤثرة على مغناطيس صغير يقع على محور القشرة ( محور المغناطيس الصغير ينطبق على محور القشرة  $z$  ).

الحل :

أولاً : نفرض أن النقطة  $p$  تبعد عن النقطة  $o$  بالمسافة  $z$ . الزاوية المحسنة عند النقطة  $p$  بواسطة المخروط الدائري القائم هي :



شكل 5-3  
 $\omega = 2\pi(1 - \cos \alpha)$

ويكون الجهد المغناطيسي للفشرة عند  $p$  هو :

$$\Omega(p) = \Phi \omega = 2\pi \Phi \left( 1 - \frac{z}{\sqrt{a^2 + z^2}} \right)$$

وشدة المجال للفترة عند  $p$  يعطى بالصورة :

$$H = -\frac{\partial \Omega}{\partial z} = \frac{2\pi\Phi a^2}{(a^2 + z^2)^{\frac{3}{2}}}$$

ثانياً : نفرض أن  $\bar{M}$  متجه عزم المغناطيس الصغير المنطبق على المحور  $z$  عند  $p$  ، وبفرض أن القطبين  $(+m, -m)$  يبعدان عن النقطة  $o$  بالمسافتين  $z + dz, z$  القوتان المؤثرتان على القطبين المغناطيسيين هما :  $+m(\bar{H} + d\bar{H}), -m\bar{H}$  و تكون القوة المؤثرة على المغناطيس الصغير (محصلة القوتين) هي :

$$F = -mH + m(H + dH) = mH = -\frac{6\pi\Phi a^2 z (mdz)}{(a^2 + z^2)^{\frac{5}{2}}} = -\frac{6\pi\Phi a^2 Mz}{(a^2 + z^2)^{\frac{5}{2}}}$$

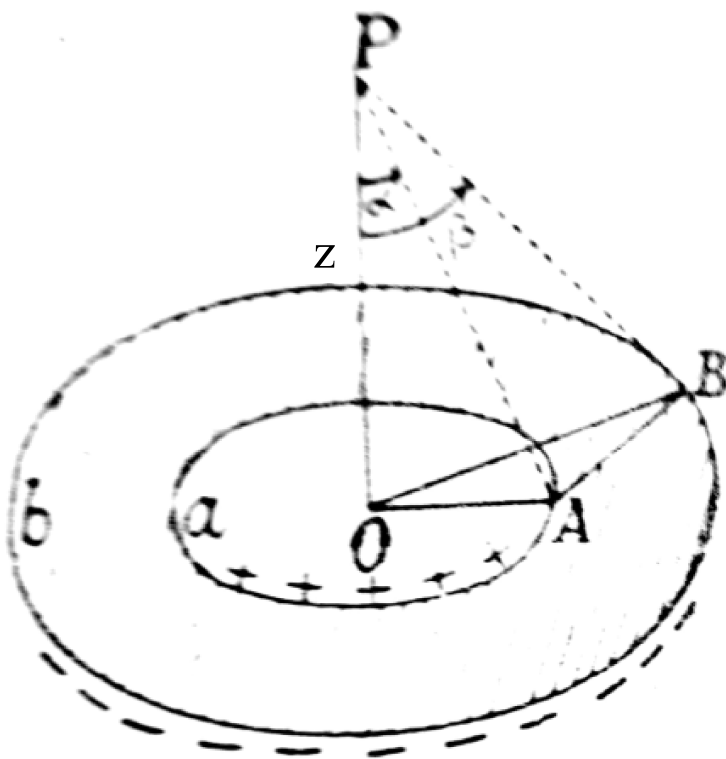
والإشارة السالبة تعنى أن القوة المؤثرة هي قوة جذب .

مثال ( 8 ) :

فترة مغناطيسية منتظمة محدودة بالمنحنيين الدائريين والمشتركين في المركز  $o$ ، ونصف قطريهما  $a, b$  . أثبت أن مجال القترة يتلاشى عند نقطة على محور القترة ويبعد عن

$$\text{المركز بالمسافة : } \frac{(ab)^{\frac{2}{3}}}{\sqrt[2]{a^{\frac{2}{3}} + b^{\frac{2}{3}}}}$$

الحل :



شكل 3-3

الجهد المغناطيسي للفشرة عند  $p$  يكون بالصورة :

$$\Omega = \Phi(\omega_b - \omega_a) = 2\pi\Phi \{ (1 - \cos \beta) - (1 - \cos \alpha) \} = 2\pi\Phi (\cos \alpha - \cos \beta)$$

$$\cos \alpha = \frac{z}{\sqrt{z^2 + a^2}}, \quad \cos \beta = \frac{z}{\sqrt{z^2 + b^2}}$$

مقدار المجال المغناطيسي عند النقطة  $p$  يتعين من :

$$H = -\frac{\partial \Omega}{\partial z} = 2\pi\Phi \left\{ \frac{b^2}{(b^2 + z^2)^{\frac{3}{2}}} - \frac{a^2}{(a^2 + z^2)^{\frac{3}{2}}} \right\}$$

يتلاشى المجال المغناطيسي  $\bar{H}$  عندما يتحقق الشرط :

$$\frac{b^2}{(b^2 + z^2)^{\frac{3}{2}}} = \frac{a^2}{(a^2 + z^2)^{\frac{3}{2}}} \quad \therefore a^4 (b^2 + z^2)^3 = b^4 (a^2 + z^2)^3$$

ومنها نجد أن :

$$z = z' = \frac{(ab)^{\frac{2}{3}}}{\sqrt{a^{\frac{2}{3}} + b^{\frac{2}{3}}}}$$

أي أن المجال  $\vec{H}$  يتلاشى عند النقطة  $p'$  التي تبعد عن المركز  $o$  بمسافة  $z'$ .  
الشغل الكلى المبذول بالمجال المغناطيسى لنقل المغناطيس الصغير من مالانهاية الى نقطة معينة  
( تمثل طاقة الوضع للمغناطيس ) يعطى بالعلاقة :  $W = -\vec{M} \cdot \vec{H}$ . وعند النقطة  $p'$  يكون :

$$W = -\vec{M} \cdot \vec{H}' = 0$$

لأن  $\vec{H}' = \vec{0}$  عند النقطة  $p'$ .

## الباب الرابع

### المجالات الكهرومغناطيسية المتغيرة



الآن نناقش حالة المجالات الكهرومغناطيسية المتغيرة مع الزمن . سنقدم مفهومين جديدين :  
مجال كهربى ينتج من مجال مغناطيسى متغير ، وهذا المفهوم نتج من البحث التجريبى لميشيل فرداى . والمفهوم الثانى عبارة عن مجال مغناطيسى ينشأ عن مجال كهربى متغير مع الزمن .

#### قانون فرداى

بعد أن أوضح أورستد ( 1820م ) أن تياراً كهربياً أثر على أبرة بوصلة . أعلن فرداى أنه إذا استطاع تيار كهربى إنتاج مجال مغناطيسى فان المجال المغناطيسى يجب أن يكون قادراً على إنتاج تيار كهربى . بدلاًة المجالات يمكن القول بأن مجالاً مغناطيسياً متغيراً مع الزمن ينتج قوة دافعة كهربية (  $emf$  ) والتي تنشئ تياراً مغلقاً . قانون فرداى يصاغ رياضياً في

الصورة :

$$emf = -\frac{dN}{dt} \quad (1)$$

حيث  $N$  عبارة عن الفيض ( الانسياب أو التدفق ) المغناطيسى الكلى خلال المقطع العرضى لدائرة مغناطيسية . أي أن

$$N = \iint_S \vec{B} \cdot d\vec{S} \quad (2)$$

حيث  $\vec{B}$  الحث المغناطيسى . العلاقة ( 1 ) تبين أن القوة الدافعة الكهربية كمية قياسية ، وتعرف هذه الكمية القياسية كذلك بالصورة :

$$emf = \oint \vec{E} \cdot d\vec{l} \quad (3)$$

حيث  $\vec{E}$  شدة المجال الكهربى . عامة فإن القوة الدافعة الكهربية تتغير إذا تغير شكل المسار من المعادلات ( 1 )-( 3 ) نجد أن :

$$\oint \vec{E} \cdot d\vec{l} = -\frac{d}{dt} \iint_S \vec{B} \cdot d\vec{S} \quad (4)$$

سنعتبر هنا أن المسار ساكن فان المعادلة ( 4 ) بالصورة :

$$emf = \oint \vec{E} \cdot d\vec{l} = -\iint_S \frac{\partial \vec{B}}{\partial t} \cdot d\vec{S} \quad (5)$$

بتطبيق نظرية ستوكس فان المعادلة ( 5 ) تأخذ الصورة :

$$\iint_S (\nabla \wedge \vec{E}) \cdot d\vec{S} = - \iint_S \frac{\partial \vec{B}}{\partial t} \cdot d\vec{S}$$

وحيث أن  $dS$  عنصر سطح اختيارى فاننا نحصل على :

$$\nabla \wedge \vec{E} = - \frac{\partial \vec{B}}{\partial t} \quad (6)$$

هذه المعادلة تمثل احدى معادلات ماكسويل . المعادلة (6) تبين أن مجالاً مغناطيسياً متغيراً مع الزمن ينشأ عنه مجال كهربى . وهذا المجال الكهربى له خاصية الدوران وتكامله الخطى حول مسار مغلق عامة لا يساوى الصفر . اذا كان متوجه الحث المغناطيسى  $\vec{B}$  لا يتغير مع الزمن فان المعادلتين (5) ، (6) تؤولان على الترتيب الى المعادلتين الكهروستاتيكتين :

$$\oint \vec{E} \cdot d\vec{l} = 0 \quad (7)$$

$$\nabla \wedge \vec{E} = \vec{0} \quad (8)$$

### تيار الازاحة – قانون أمبير الدائري

قانون أمبير الدائري في حالة المجالات المغناطيسية التي لا تتغير مع الزمن يمكن كتابته في الصورة الرياضية :

$$\nabla \wedge \vec{H} = \vec{J} \quad (9)$$

حيث  $\vec{H}$  شدة المجال المغناطيسى ،  $\vec{J}$  متوجه كثافة التيار . في حالة المجالات المغناطيسية التي تتغير مع الزمن فان المعادلة (9) تكون غير صحيحة وهذا واضح لأنه عندما نضرب طرفى المعادلة (9) قياسياً في المؤثر  $\nabla$  ، أي أن :

$$\nabla \cdot (\nabla \wedge \vec{H}) = 0 = \nabla \cdot \vec{J}$$

والتي تقود الى النتيجة :  $0 = \nabla \cdot \vec{J}$  ، وهذه النتيجة تتعارض مع معادلة الاتصال :

$$\nabla \cdot \vec{J} = - \frac{\partial \rho}{\partial t}$$

وعليه فان المعادلة (9) صحيحة فقط اذا كانت :  $0 = \frac{\partial \rho}{\partial t}$  . سنفرض اننا أضفنا حداً مجهولاً

$\vec{G}$  للطرف الأيمن للمعادلة (9) عندئذ فان (9) تأخذ الصورة :

$$\nabla \wedge \vec{H} = \vec{J} + \vec{G}$$

$$\therefore \nabla \cdot (\nabla \wedge \vec{H}) = 0 = \nabla \cdot \vec{J} + \nabla \cdot \vec{G}$$

بمقارنة هذه المعادلة مع معادلة الاتصال نجد أن :

$$\nabla \cdot \vec{G} = \frac{\partial \rho}{\partial t}$$

باستخدام المعادلة  $\rho = \nabla \cdot \vec{D}$  فاننا نحصل على أبسط حل للمتجه  $\vec{G}$  في الصورة :

$$\vec{G} = \frac{\partial \vec{D}}{\partial t}$$

وعلى ذلك فان قانون أمبير الدائري يأخذ الصورة التفاضلية الآتية :

$$\nabla \wedge \vec{H} = \vec{J} + \frac{\partial \vec{D}}{\partial t} \quad (10)$$

المعادلة (10) لم تستنبط وإنما هي صورة رياضية لقانون أمبير الدائري حصلنا عليها ولا تتعارض مع معادلة الاتصال . المعادلة (10) متوافقة أيضاً مع جميع النتائج الأخرى وهي معادلة مقبولة كما نفعل عادة مع أي قانون تجريبي والمعادلة المستنبطة منه . المعادلة (10) واحدة أخرى من معادلات ماكسويل . الحد الإضافي الموجود بالطرف الأيمن للمعادلة (10) أي الحد

$$\frac{\partial \vec{D}}{\partial t} \quad \text{له وحدات كثافة التيار (أمير لكل متر مربع) ولأنه ينتج من التغير الزمني لمتجه}$$

الازاحة }  $\vec{D}$  فإنه يسمى كثافة تيار الازاحة ويرمز له بالرمز  $\vec{J}_d$  . أما متجه كثافة التيار  $\vec{J}$  فإنه عبارة عن كثافة تيار التوصيل  $\vec{E}$  (الذى ينتج من حركة الشحنات) وكذلك تيار الحمل  $\vec{v}$  . في حالة الوسط الغير موصل ولا يوجد فيه كثافة شحنة حجمية (أي  $\rho = 0$ ) فان المعادلة (10) تؤول إلى الصورة البسيطة الآتية :

$$\nabla \wedge \vec{H} = \frac{\partial \vec{D}}{\partial t}$$

تيار الازاحة الكلى العابر لأى سطح  $S$  يتعين بالتكامل :

$$I = \iint_S \vec{J}_d \cdot d\vec{S} = \iint_S \frac{\partial \vec{D}}{\partial t} \cdot d\vec{S} \quad (11)$$

نستطيع الحصول على الصورة المتغيرة مع الزمن لقانون أمبير الدائري التكاملية , وذلك بتكميل المعادلة (10) على السطح  $S$  أي

$$\iint_S (\nabla \wedge \vec{H}) \cdot d\vec{S} = \iint_S \vec{J} \cdot d\vec{S} + \iint_S \frac{\partial \vec{D}}{\partial t} \cdot d\vec{S} = I + I_d$$

وبتطبيق نظرية ستوكس فان المعادلة السابقة تأخذ الصورة :

$$\oint \vec{H} \cdot d\vec{l} = I + I_d \quad (12)$$

## معادلات ماكسويل

حصلنا من قبل على معادلتين من معادلات ماكسويل للمجالات المتغيرة مع الزمن في الصورتين :

$$\nabla \wedge \vec{E} = -\frac{\partial \vec{B}}{\partial t} \quad (13)$$

$$\nabla \wedge \vec{H} = \vec{J} + \frac{\partial \vec{D}}{\partial t} \quad (14)$$

المعادلتان الباقيتان غير متغيرتين عن صورتيهما غير المتغيرة مع الزمن وهما :

$$\nabla \cdot \vec{D} = \rho \quad (15)$$

$$\nabla \cdot \vec{B} = 0 \quad (16)$$

المعادلات الأربع السابقة هي معادلات ماكسويل التي تمثل الأساس لدراسة النظرية الكهرومغناطيسية ، وهي معادلات تقاضلية جزئية تربط المجالات الكهربائية والمغناطيسية ببعضها وبمنابعها ( الشحنة وكثافة التيار ) . التعرف على الصور التكاملية لمعادلات ماكسويل يكون عادة أسهل بدلالة القوانين التجريبية التي تم منها الحصول على هذه المعادلات بعملية تعليم ( التجارب يجب أن تتعامل مع كميات ماكروسโคبية فيزيائية ) . لذلك فان نتائج هذه التجارب يعبر عنها بعلاقات تكاملية .

سنحاول الآن إيجاد الصور التكاملية لمعادلات ماكسويل (13) – (16) السابقة . بتكامل المعادلة (13) لسطح  $S$  وتطبيق نظرية ستوكس نحصل على :

$$\oint \vec{E} \cdot d\vec{l} = - \iint_S \frac{\partial \vec{B}}{\partial t} \cdot d\vec{S} \quad (17)$$

هذه المعادلة تسمى قانون فرداي . باجراء نفس العملية التكاملية على المعادلة (14) نجد أن :

$$\oint \vec{H} \cdot d\vec{l} = I + \iint_S \frac{\partial \vec{D}}{\partial t} \cdot d\vec{S} \quad (18)$$

والذى يسمى قانون أمبير الدائري . باجراء التكامل الحجمى للمعادلة (15) وذلك باعتبار أن الحجم الكلى  $V$  محاط بالسطح  $S$  نجد أن :

$$\iiint_V (\nabla \cdot \vec{D}) dV = \iiint_V \rho dV$$

وباستخدام نظرية جاوس لتحويل التكامل الحجمي الى تكامل سطحي فان المعادلة السابقة تأخذ الصورة :

$$\iint_S \vec{D} \cdot d\vec{S} = \iiint_V \rho d\tau \quad (19)$$

وباجراء نفس عملية التكامل السابقة على المعادلة (16) نحصل على :

$$\iint_S \vec{B} \cdot d\vec{S} = 0 \quad (20)$$

عندما تستخدم الوحدات الالكتروستاتيكية لقياس  $\rho$  والتجهيزات  $\vec{J}$  ،  $\vec{E}$  ،  $\vec{H}$  فان معادلات ماكسويل وكذلك باستخدام الوحدات الالكترومغناطيسية لقياس المتجهات  $\vec{B}$  ،  $\vec{H}$  فان معادلات ماكسويل للمجالات الكهرومغناطيسية المتغيرة تأخذ الصور التفاضلية الآتية :

$$\nabla \cdot \vec{D} = 4\pi\rho \quad (21)$$

$$\nabla \cdot \vec{B} = 0 \quad (22)$$

$$\nabla \wedge \vec{E} = -\frac{1}{c} \frac{\partial \vec{B}}{\partial t} \quad (23)$$

$$\nabla \wedge \vec{H} = 4\pi\vec{J} + \frac{1}{c} \frac{\partial \vec{D}}{\partial t} \quad (24)$$

حيث  $c$  هي سرعة الضوء في الفضاء .

### الجهود الكهرومغناطيسية في معادلات ماكسويل

من المعادلة  $\nabla \cdot \vec{B} = 0$  فان متجه الحث المغناطيسي  $\vec{B}$  يمكن وضعه بالصورة  $\vec{B} = \nabla \wedge \vec{A}$ . حيث  $\vec{A}$  يمثل الجهد الاتجاهي . بالتعويض في معادلة ماكسويل (23) نحصل على :

$$\nabla \wedge \vec{E} = -\frac{1}{c} \frac{\partial}{\partial t} \nabla \wedge \vec{A}$$

$$\therefore \nabla \wedge \left( \vec{E} + \frac{1}{c} \frac{\partial \vec{A}}{\partial t} \right) = \vec{0}$$

وعليه فإنه يمكن وضع :

$$\vec{E} + \frac{1}{c} \frac{\partial \vec{A}}{\partial t} = -\nabla \Phi$$

أي أن شدة المجال الكهربى يمكن وضعه بالصورة :

$$\vec{E} = -\nabla\Phi - \frac{1}{c} \frac{\partial \vec{A}}{\partial t} \quad (25)$$

بضرب طرفى هذه العلاقة قياسيا في المؤثر  $\nabla$  وباستخدام المعادلة  $\nabla \cdot \vec{D} = 4\pi\rho$  حيث  $\vec{D} = K\vec{E}$  فاننا نحصل على :

$$\nabla^2\Phi + \frac{1}{2} \frac{\partial}{\partial t} \nabla \cdot \vec{A} = -\frac{4\pi}{K} \rho \quad (26)$$

حيث فرضنا هنا أن الوسط ايثيروبى متجانس ( حيث  $K, \mu$  كميات ثابتة ) .

من معادلة ماكسويل (24) وباستخدام العلاقات :

$$\vec{H} = \frac{\vec{B}}{\mu} = \frac{\nabla \times \vec{A}}{\mu}, \quad \vec{D} = K\vec{E}$$

نجد أن :

$$\nabla \times (\nabla \times \vec{A}) = 4\pi\mu\vec{J} + \frac{\mu K}{c} \frac{\partial \vec{E}}{\partial t} \quad (27)$$

وباستخدام المتطابقة الاتجاهية الآتية

$$\nabla \times (\nabla \times \vec{A}) = \nabla (\nabla \cdot \vec{A}) - \nabla^2 \vec{A}$$

وكذلك باستخدام المعادلة (25) فان المعادلة (27) تأخذ الصورة :

$$\nabla (\nabla \cdot \vec{A}) - \nabla^2 \vec{A} = 4\pi\mu\vec{J} - \frac{\mu K}{c} \nabla \left( \frac{\partial \Phi}{\partial t} \right) - \frac{\mu K}{c^2} \frac{\partial^2 \vec{A}}{\partial t^2} \quad (28)$$

ثم باستخدام الشرط الآتى :

$$\nabla \cdot \vec{A} + \frac{\mu K}{c} \frac{\partial \Phi}{\partial t} = 0 \quad (29)$$

Equation of guage invarience

وعليه فان المعادلتين (26), (28) يصبحا على الترتيب بالصورتين :

$$\nabla^2\Phi - \frac{\mu K}{c^2} \frac{\partial^2 \Phi}{\partial t^2} = -\frac{4\pi}{K} \rho \quad (30)$$

$$\nabla^2 \vec{A} - \frac{\mu K}{c^2} \frac{\partial^2 \vec{A}}{\partial t^2} = -4\pi\mu\vec{J} \quad (31)$$

المعادلتان (30), (31) هما المعادلتان الموجيات للجهد القياسي المرتبط  $\Phi$  والجهد الاتجاهى  $\vec{A}$  .

أمثلة محلولة



مثال (1) :

بين أن الدالة :  $\square f = 0$  تحقق المعادلة :  $f(x, y, z) = \frac{1}{r} \rho(\xi, \eta, \zeta, t - \frac{r}{c})$  حيث  $r$  هي المسافة بين النقطتين :  $(x, y, z)$  ،  $(\xi, \eta, \zeta)$  ،  $c$  هي سرعة الصوّة في الفضاء .

الحل :

لإيجاد  $\nabla^2 f$  فاننا نعيّن أولاً  $\nabla f$  أي

$$\nabla f = \frac{1}{r} \nabla \rho + \rho \nabla \left( \frac{1}{r} \right)$$

نفرض أن  $u = t - \frac{r}{c}$  حيث  $\rho' = \frac{\partial \rho}{\partial u}$  . لذلك فاننا نحصل على :

$$\nabla f = \frac{1}{r} \left( -\frac{\rho}{c} \nabla r \right) - \frac{\rho}{r^2} \nabla r = -\left( \frac{\rho'}{cr} + \frac{\rho}{r^2} \right) \nabla r$$

وحيث أن  $\nabla r = \frac{\vec{r}}{r}$  أي وحدة متوجهات في اتجاه المتجه  $\vec{r}$  وعليه فان  $\nabla f$  تأخذ الصورة :

$$\nabla f = -\left( \frac{\rho'}{cr^2} + \frac{\rho}{r^3} \right) \vec{r}$$

$$\nabla^2 f = \nabla \cdot \nabla f = -\nabla \cdot \left( \frac{\rho'}{cr^2} + \frac{\rho}{r^3} \right) \vec{r}$$

$$= -\left[ \left( \frac{\rho'}{cr^2} + \frac{\rho}{r^3} \right) \nabla \cdot \vec{r} + \vec{r} \cdot \nabla \left( \frac{\rho'}{cr^2} + \frac{\rho}{r^3} \right) \right]$$

$$= -\left[ 3 \left( \frac{\rho'}{cr^2} + \frac{\rho}{r^3} \right) - \vec{r} \cdot \left( \frac{\rho''}{c^2 r^2} + \frac{2\rho'}{cr^3} + \frac{3\rho}{r^4} + \frac{\rho'}{cr^3} \right) \frac{\vec{r}}{r} \right] = \frac{\rho''}{c^2 r} \quad (1)$$

الدالة "  $\rho$  يمكن كتابتها بالصيغة :

$$\rho'' = \frac{\partial^2 \rho}{\partial u^2} = \frac{\partial^2 \rho}{\partial t^2} = r \frac{\partial^2 f}{\partial t^2} \quad (2)$$

وبالتغيير عن "  $\rho$  من المعادلة (2) في المعادلة (1) نجد أن :

$$\nabla^2 f = \frac{1}{c^2} \frac{\partial^2 f}{\partial t^2} \quad \therefore \left( \nabla^2 - \frac{1}{c^2} \frac{\partial^2}{\partial t^2} \right) f = \square f = 0 \quad (3)$$

المؤثر التفاضلي  $\square$  يسمى مؤثر دالمنبرت . والمعادلة (3) تسمى المعادلة الموجية .

مثال (2) :

اكتب معادلات ماكسويل لفضاء حر , وبين أن الجهد الاتجاهي :  $\vec{A} = \frac{f'(u)}{cr} \vec{k}$  يمثل حل

لهذه المعادلات . حيث  $f(u)$  دالة في المتغير  $r$  ،  $r^2 = x^2 + y^2 + z^2$  ،  $u = t - \frac{r}{c}$  متوجهة في اتجاه المحور  $z$  . أوجد مركبات المجال الكهربى والمجال المغناطيسى , وبين أن

الجهد القياسي المرتبط  $\Phi$  يمكن وضعه بالصورة :

$$\Phi = z \left( \frac{f'(u)}{cr^2} + \frac{f(u)}{r^3} \right)$$

الحل :

في حالة الفضاء الحر فان :  $K = 1, \mu = 1, \rho = 0, \vec{J} = \vec{0}$  . وعليه فان معادلات ماكسويل في هذه

الحالة تأخذ الصورة :

$$\nabla \cdot \vec{E} = 0 \quad , \quad \nabla \cdot \vec{B} = 0$$

$$\nabla \wedge \vec{E} = -\frac{1}{c} \frac{\partial \vec{B}}{\partial t} \quad , \quad \nabla \wedge \vec{B} = \frac{1}{c} \frac{\partial \vec{E}}{\partial t}$$

وفى حالة الفضاء الحر فان المعادلة الموجية التي يتحققها الجهد الاتجاهي تأخذ الصيغة :

$$\left( \nabla^2 - \frac{1}{c^2} \frac{\partial^2}{\partial t^2} \right) \vec{A} = \vec{0} \quad (1)$$

سنبرهن الان على أن الجهد الاتجاهي المعطى في المثال يحقق المعادلة الموجية (1) , ولإجراء ذلك نوجد الكميات التالية :

$$\begin{aligned} c \frac{\partial \vec{A}}{\partial x} &= \frac{\partial}{\partial x} \left( \frac{f'(u)}{cr} \vec{k} \right) = \left[ f' \cdot \left( -\frac{1}{r^2} \frac{\partial r}{\partial x} \right) + \frac{f''}{r} \cdot \left( -\frac{1}{c} \frac{\partial r}{\partial x} \right) \right] \vec{k} \\ &= -\left( \frac{x f'}{r^3} + \frac{x f'''}{cr^2} \right) \vec{k} \end{aligned}$$

باجراء عملية التفاضل الجزئى مرة أخرى نحصل على :

$$c \frac{\partial^2 \vec{A}}{\partial x^2} = - \left[ \frac{r^2 - 3x}{r^5} \cdot f' + \frac{r^2 - 3x^2}{cr^4} \cdot f'' - \frac{x^2}{c^2 r^3} \cdot f''' \right] \vec{k} \quad (2)$$

بالمثل يمكن إيجاد :  $c \frac{\partial^2 \vec{A}}{\partial y^2}$  ،  $c \frac{\partial^2 \vec{A}}{\partial z^2}$

$$c \frac{\partial^2 \vec{A}}{\partial y^2} = - \left[ \frac{r^2 - 3y^2}{r^5} \cdot f' + \frac{r^2 - 3y^2}{cr^4} \cdot f'' - \frac{y^2}{c^2 r^3} \cdot f''' \right] \vec{k} \quad (3)$$

$$c \frac{\partial^2 \vec{A}}{\partial z^2} = - \left[ \frac{r^2 - 3z^2}{r^5} \cdot f' + \frac{r^2 - 3z^2}{cr^4} \cdot f'' - \frac{z^2}{c^2 r^3} \cdot f''' \right] \vec{k} \quad (4)$$

بجمع المعادلات (4) ، (3) ، (2) نحصل على :

$$\frac{\partial^2 \vec{A}}{\partial x^2} + \frac{\partial^2 \vec{A}}{\partial y^2} + \frac{\partial^2 \vec{A}}{\partial z^2} = \nabla^2 \vec{A} = \frac{f'''}{c^3 r} \cdot \vec{k} \quad (5)$$

وحيث أن :

$$\frac{\partial^2 \vec{A}}{\partial t^2} = \frac{f'''}{cr} \cdot \vec{k} \quad (6)$$

وبالتعويض من المعادلة (6) في المعادلة (5) نجد أن :

$$\nabla^2 \vec{A} - \frac{1}{c^2} \frac{\partial^2 \vec{A}}{\partial t^2} = \vec{0}$$

أي أن المتجه  $\vec{A}$  المعطى في المثال يحقق المعادلة الموجية (1) ، أي يمثل حلًا لمعادلات ماكسويل في الفضاء الحر . لايجاد مركبات شدة المجال المغناطيسي  $\vec{H}$  حيث  $\vec{H} = \vec{B}$  حيث فاننا نستخدم العلاقة الاتجاهية :

$$\vec{H} = \nabla \wedge \vec{A} = \begin{vmatrix} \vec{i} & \vec{j} & \vec{k} \\ \frac{\partial}{\partial x} & \frac{\partial}{\partial y} & \frac{\partial}{\partial z} \\ 0 & 0 & \frac{f'}{cr} \end{vmatrix} \quad (7)$$

من العلاقة (7) نجد أن مركبات المجال المغناطيسي هي :

$$H_x = -y \left( \frac{f'}{r^3} + \frac{f''}{cr^2} \right) , \quad H_y = x \left( \frac{f'}{r^3} + \frac{f''}{cr^2} \right) , \quad H_z = 0$$

لايجاد دالة الجهد القياسي المرتبط  $\Phi$  فاننا نستخدم الشرط :

$$\nabla \bullet \vec{A} + \frac{1}{c} \frac{\partial \Phi}{\partial t} = 0$$

$$\frac{\partial \Phi}{\partial t} = -c \nabla \bullet \vec{A} = -c \nabla \bullet \left( \frac{f'}{cr} \vec{k} \right) = -\frac{\partial}{\partial z} \left( \frac{f'}{r} \right) = z \left( \frac{f'}{r^3} + \frac{f''}{cr^2} \right)$$

باجراء التكامل بالنسبة للزمن نحصل على :

$$\Phi = z \left( \frac{f}{r^3} + \frac{f'}{cr^2} \right) + F(x, y, z)$$

حيث  $F(x, y, z)$  دالة اختيارية ويمكن اختيارها تساوى صفر ، وعلى ذلك فان الجهد القياسي

يأخذ الصورة :

$$\Phi = z \left( \frac{f}{r^3} + \frac{f'}{cr^2} \right) \quad (8)$$

شدة المجال الكهربى  $\vec{E}$  يتعين من العلاقة :

$$\vec{E} = -\nabla \Phi - \frac{1}{c} \frac{\partial \vec{A}}{\partial t} \quad (9)$$

$$\frac{\partial \vec{A}}{\partial t} = \frac{f''}{cr} \quad (10)$$

$$\begin{aligned} \nabla \Phi &= z \nabla \left( \frac{f}{r^3} + \frac{f'}{cr^2} \right) + \left( \frac{f}{r^3} + \frac{f'}{cr^2} \right) \vec{k} \\ &= -z \left( \frac{3f}{r^4} + \frac{3f'}{cr^3} + \frac{f''}{c^2 r^2} \right) \nabla r + \left( \frac{f}{r^3} + \frac{f'}{cr^2} \right) \vec{k} \end{aligned} \quad (11)$$

ثم بالتعويض من المعادلتين (10) ، (11) في المعادلة (9) نحصل على مركبات المجال الكهربى بالصورة :

$$E_x = xz \left( \frac{3f}{r^5} + \frac{3f'}{cr^4} + \frac{f''}{c^2 r^3} \right)$$

$$E_y = yz \left( \frac{3f}{r^5} + \frac{3f'}{cr^4} + \frac{f''}{c^2 r^3} \right)$$

$$E_z = z^2 \left( \frac{3f}{r^5} + \frac{3f'}{cr^4} + \frac{f''}{c^2 r^3} \right) - \left( \frac{f}{r^3} + \frac{f'}{cr^2} + \frac{f''}{c^2 r} \right)$$

## مثال ( 3 ) :

أثبت أن المجال المغناطيسي :  $\vec{H} = \frac{1}{c} \frac{\partial}{\partial t} [(\nabla \Phi) \wedge \vec{k}]$  ، والمجال الكهربى :

$$\vec{E} = -\frac{1}{c^2} \frac{\partial^2 \Phi}{\partial t^2} \vec{k} + \frac{\partial}{\partial z} \nabla \Phi$$

متجهات في اتجاه المحور  $z$  ، والدالة  $\Phi$  تحقق المعادلة الموجية :  $\nabla^2 \Phi - \frac{1}{c^2} \frac{\partial^2 \Phi}{\partial t^2} = 0$

## الحل :

في حالة الفضاء الحرفاًن معادلات ماكسويل هي :

$$\nabla \cdot \vec{H} = 0 , \quad \nabla \cdot \vec{E} = 0$$

$$\nabla \wedge \vec{E} = -\frac{1}{c} \frac{\partial \vec{H}}{\partial t} , \quad \nabla \wedge \vec{H} = \frac{1}{c} \frac{\partial \vec{E}}{\partial t}$$

سنثبت أن المتجهين  $\vec{E}$  ،  $\vec{H}$  المذكورين في المثال يتحققا هذه المعادلات كما يلى :

i)

$$\nabla \cdot \vec{H} = \frac{1}{c} \frac{\partial}{\partial t} \nabla \cdot [(\nabla \Phi) \wedge \vec{k}] = \frac{1}{c} \frac{\partial}{\partial t} \left\{ \vec{k} \cdot [\nabla \wedge (\nabla \Phi)] - (\nabla \Phi) \cdot \nabla \wedge \vec{k} \right\} = 0$$

ii)

$$\begin{aligned} \nabla \cdot \vec{E} &= -\frac{1}{c^2} \nabla \cdot \left( \frac{\partial^2 \Phi}{\partial t^2} \vec{k} \right) + \frac{\partial}{\partial z} \nabla \cdot (\nabla \Phi) = -\frac{1}{c^2} \frac{\partial}{\partial z} \left( \frac{\partial^2 \Phi}{\partial t^2} \right) + \frac{\partial}{\partial z} \nabla^2 \Phi \\ &= \frac{\partial}{\partial z} \left( \nabla^2 \Phi - \frac{1}{c^2} \frac{\partial^2 \Phi}{\partial t^2} \right) = 0 \end{aligned}$$

iii)

$$\begin{aligned} \nabla \wedge \vec{E} &= -\frac{1}{c^2} \frac{\partial^2}{\partial t^2} [\nabla \wedge (\Phi \vec{k})] + \frac{\partial}{\partial z} [\nabla \wedge (\nabla \Phi)] = -\frac{1}{c^2} \frac{\partial^2}{\partial t^2} [\nabla \wedge (\Phi \vec{k})] \\ &= -\frac{1}{c^2} \frac{\partial^2}{\partial t^2} [(\nabla \Phi) \wedge \vec{k} + \Phi (\nabla \wedge \vec{k})] = -\frac{1}{c^2} \frac{\partial^2}{\partial t^2} [(\nabla \Phi) \wedge \vec{k}] \\ &= -\frac{1}{c} \frac{\partial}{\partial t} \left\{ \frac{1}{c} \frac{\partial}{\partial t} [(\nabla \Phi) \wedge \vec{k}] \right\} = -\frac{1}{c} \frac{\partial}{\partial t} \{ \vec{H} \} \end{aligned}$$

$$\therefore \nabla \wedge \vec{E} = -\frac{1}{c} \frac{\partial \vec{H}}{\partial t}$$

iv)

$$\begin{aligned}
 \nabla \wedge \vec{H} &= \frac{1}{c} \frac{\partial}{\partial t} \left\{ \nabla \wedge [(\nabla \Phi) \wedge \vec{k}] \right\} \\
 &= \frac{1}{c} \frac{\partial}{\partial t} \left\{ (k \cdot \nabla)(\nabla \Phi) - [(\nabla \Phi) \cdot \nabla] \vec{k} + (\nabla \Phi) \nabla \cdot \vec{k} - \vec{k} \nabla^2 \Phi \right\} \\
 &= \frac{1}{c} \frac{\partial}{\partial t} \left\{ \frac{\partial}{\partial z} (\nabla \Phi) - \vec{k} \nabla^2 \Phi \right\} = \frac{1}{c} \frac{\partial}{\partial t} \left\{ \vec{E} + \frac{1}{c^2} \frac{\partial^2 \Phi}{\partial t^2} \vec{k} - \vec{k} \nabla^2 \Phi \right\} \\
 &= \frac{1}{c} \frac{\partial}{\partial t} \left\{ \vec{E} - \vec{k} \left( \nabla^2 \Phi - \frac{1}{c^2} \frac{\partial^2 \Phi}{\partial t^2} \right) \right\} \quad \therefore \nabla \wedge \vec{H} = \frac{1}{c} \frac{\partial \vec{E}}{\partial t}
 \end{aligned}$$

## الباب الخامس

### حركة الجسيمات المشحونة

سنتناول في هذه الدراسة حركة الجسيمات المشحونة سواء كانت هذه الجسيمات موجبة الشحنة أو سالبة الشحنة في مجال كهربى أو في مجال مغناطيسي أو في مجال كهرومغناطيسي .  
وحيث أن تأثير هذه المجالات على حركة الجسيمات المشحونة أكبر من تأثير قوى الجذب النيوتونى بينها لذا فتنا سنهمل قوى الجذب بالمقارنة مع قوى المجال الكهربى أو المجال المغناطيسي أو المجال الكهرومغناطيسي . وسنفرض أن كتلة الجسم المشحون ثابتة أثناء الحركة .



#### حركة جسيم مشحون في مجال كهروستاتيكي

كما علمنا فإن المجال الكهربى ينشأ من شحنة كهربية ساكنة ، وهذا المجال يمثل بمجموعة من خطوط القوى . ويؤثر المجال الكهروستاتيكي في كل نقطة من نقط الفضاء بقوة على وحدة الشحنة الموجبة اذا وضعت عند تلك النقطة ، وهذا مايعرف بشدة المجال الكهربى  $\vec{E}$  وهو دالة الموضع . اذا تحرك جسيم مشحون كتلته  $m$  وشحنته  $q$  في مجال كهربى منتظم شدته

$$\vec{E}$$

فإن القوة المؤثرة على هذا الجسيم تتعين مقدارا واتجاهها من قانون كولوم ، أي أن :

$$\vec{F} = q\vec{E}$$

وتتعين عجلة الجسم  $\vec{f}$  مقدارا واتجاهها من قانون نيوتن للحركة . أي أن معادلة الحركة لجسيم مشحون في مجال كهربى منتظم هي :

$$\vec{F} = m\vec{f} = q\vec{E} \quad (1)$$

واضح أن الجسم يتحرك بعجلة منتظمة تتوقف على كتلة الجسم  $m$  وشحنته  $q$  وشدة المجال  $\vec{E}$  وتكون  $\vec{f}$  في اتجاه المجال اذا كانت شحنة الجسم موجبة وفي اتجاه عكس المجال اذا كانت شحنة الجسم سالبة . يلاحظ أن حركة الجسم تشبه حركة المقنوف الحر في المجال المنتظم للجاذبية الأرضية بالقرب من سطح الأرض .

### حركة جسيم مشحون في مجال مغناطيسي منتظم

ينشأ المجال المغناطيسي المنتظم من قطب مغناطيسي ساكن أو من مرور تيار كهربى مستمر في سلك ، ويمثل هذا المجال بمجموعة من خطوط القوى . ويؤثر المجال المغناطيسي في كل نقطة من نقط الفضاء بقوة على وحدة الأقطاب الموجبة الساكنة عند تلك النقطة . وهذا ما يعرف بشدة المجال المغناطيسي  $\vec{H}$  وهو دالة في الموضع . اذا تحرك جسيم كتلته  $m$  وشحنته  $q$  بسرعة  $\vec{v}$  في مجال مغناطيسي منتظم شدته  $\vec{H}$  فان القوة المؤثرة على هذا الجسيم تتبع مقدارا واتجاهها من قانون لورنتز بالصورة :

$$\vec{F} = q(\vec{v} \wedge \vec{H})$$

وتتعين عجلة الجسيم  $\vec{f}$  مقدارا واتجاهها من قانون الحركة لنيوتن . أي أن معادلة حركة جسيم مشحون في مجال مغناطيسي منتظم  $\vec{H}$  هي :

$$\vec{F} = m\vec{f} = q(\vec{v} \wedge \vec{H}) \quad (2)$$

حركة جسيم مشحون في مجال كهرومغناطيسي منتظم  
اذا تحرك جسيم كتلته  $m$  وشحنته  $q$  بسرعة  $\vec{v}$  في مجالين منتظمين أحدهما كهربى شدته  $\vec{E}$  والآخر مغناطيسي شدته  $\vec{H}$  . فتكون القوة الناشئة من المجالين معا بالصورة :

$$\vec{F} = q\vec{E} + q(\vec{v} \wedge \vec{H})$$

وتتعين عجلة الجسيم من معادلة الحركة :

$$\vec{F} = m\vec{f} = q\vec{E} + q(\vec{v} \wedge \vec{H}) \quad (3)$$

باستخدام الاحداثيات الكارتيزية ومتغيرات الوحدة  $\vec{i}, \vec{j}, \vec{k}$  في اتجاه المحاور المتعامدة

$$, \quad \vec{H} = H_x \vec{i} + H_y \vec{j} + H_z \vec{k} , \quad \vec{E} = E_x \vec{i} + E_y \vec{j} + E_z \vec{k} \quad \text{فإن : } x, y, z$$

$\vec{f} = f_x \vec{i} + f_y \vec{j} + f_z \vec{k}$  . ثم بالتعويض في معادلات الحركة نحصل على ثلات معادلات تقاضلية نحلها بالتكامل المباشر أو بطرق حل المعادلات التقاضلية للحصول على المعادلات البارامترية لمسار الجسيم :

$$x = x(t), y = y(t), z = z(t)$$

واضح أن هناك فرق أساسى في تأثير المجالات الكهربائية والمغناطيسية على الجسيمات المشحونة حيث أن القوة التي تؤثر في الاتجاه العمودي على الاتجاه الذى يتقدم فيه الجسيم يمكن تغيير مقدار سرعة هذا الجسيم ( أي أن متجه العجلة يكون دائما عموديا على متجه السرعة ) ، وعلى ذلك تبقى طاقة الحركة للجسيم غير متغيرة . لذلك فان المجال المغناطيسي المنتظم ( ثابت مع الزمن ) غير قادر على نقل طاقة للشحنة المتحركة ومن ناحية أخرى فان المجال الكهربى يؤثر بقوة تعتمد على الاتجاه الذى يتقدم فيه الجسيم ، لذلك فان المجال الكهربى يسبب عامة انتقال للطاقة بين المجال والجسيم المشحون .

### الجسيمات المشحونة Charged particles

الجسيمات المشحونة نوعان :

(أ) الجسيمات ذات الشحنة السالبة : وهى عبارة عن الالكترونات electrons والأيونات السالبة . والالكترون هو أصغر شحنة سالبة موجودة على الاطلاق . ثوبت الالكترون هي :

$$\text{كتلة الالكترون } (m) = 9.107 \times 10^{-31} \text{ kg}$$

$$\text{شحنة الالكترون } (-e) = -1.602 \times 10^{-19} \text{ C}$$

(ب) الجسيمات ذات الشحنة الموجبة : وهى عبارة عن البروتونات protons والأيونات الموجبة . والبروتون يحمل نفس شحنة الالكترون ولكن باشارة معاكسة . ثوابت البروتون :

$$\text{كتلة البروتون : } (m) = 1.67 \times 10^{-27} \text{ kg}$$

$$\text{شحنة البروتون : } (e) = 1.602 \times 10^{-19} \text{ C}$$

أمثلة محلولة  
مثال (1) :



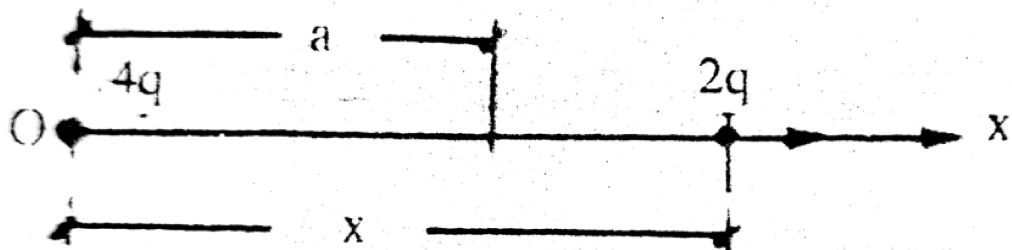
ثبت جسيم مشحون بشحنة موجبة  $4q$  عند نقطة الأصل  $O$  ووضع جسيم كتنه  $m$  وشحنته  $2q$  عند النقطة  $(a, 0)$  وترك ليتحرك من سكون تحت تأثير قوة التناحر بين الشحنتين . أوجد سرعة الجسيم عندما يصبح على بعد  $x$  من  $O$  وزمن الحركة .

**الحل :**

معادلة حركة الجسيم هي :

$$m \ddot{x} = \frac{(2q)(4q)}{4\pi\epsilon_0 x^2}$$

$$\ddot{x} = \frac{2q^2}{m\pi\epsilon_0 x^2} \quad (1)$$



شكل 5 - 1

الشروط الابتدائية للحركة هي :

$$\therefore \ddot{x} = v \frac{dv}{dx} = \frac{2q^2}{m\pi\epsilon_0 x^2}$$

وبفصل المتغيرات واجراء التكامل نحصل على :

$$\int_v^v dv = \frac{2q^2}{m\pi\epsilon_0} \int_a^x \frac{dx}{x^2}$$

$$v = \pm \frac{2q}{a\sqrt{m\pi\epsilon_0}} \sqrt{\frac{x-a}{x}}$$

وبما أن تزداد بازدياد الزمن نختار الإشارة الموجبة أي أن

$$v = + \frac{2q}{a\sqrt{m\pi\epsilon_0}} \sqrt{\frac{x-a}{x}} = \frac{dx}{dt}$$

بفضل المتغيرات واجراء التكامل نحصل على :

$$\int_0^t dt = \frac{a\sqrt{m\pi\varepsilon}}{2q} \int_a^x \sqrt{\frac{x}{x-a}} dx$$

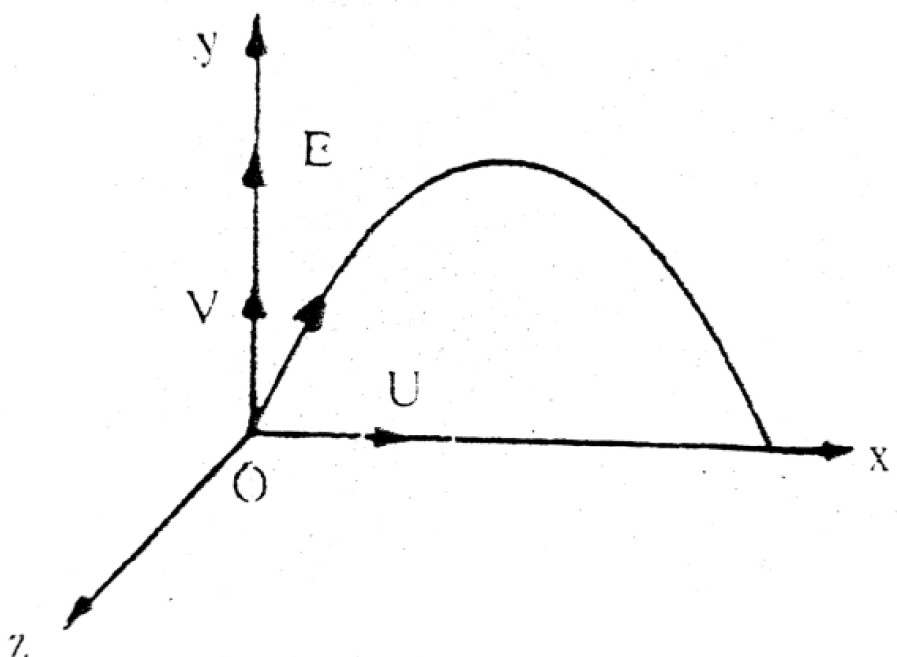
وباستخدام التعويض :  $(x = a \cosh^2 u)$  يمكن تعين قيمة التكامل بالصورة :

$$t = \frac{a\sqrt{m\pi\varepsilon}}{2q} \left\{ \sqrt{x(x-a)} + a \cosh^{-1} \sqrt{\frac{x}{a}} \right\}$$

مثال ( 2 ) :

الكترون كتلته  $m$  وشحنته يتحرك في مجال كهربى منظم شدته  $\vec{E} = +E\vec{j}$ . اذا قذف الالكترون من نقطة الأصل بسرعة ابتدائية  $\vec{v}_0 = U\vec{i} + V\vec{j}$ . أوجد المعادلات البارامترية للمسار ( اهمل وزن الجسم ).

الحل :



شكل 2-5

معادلة حركة الجسم الاتجاهية هي :

$$m \ddot{x} \vec{i} + m \ddot{y} \vec{j} + m \ddot{z} \vec{k} = -e (\vec{E} \vec{j})$$

$$\ddot{x} = 0, \quad \ddot{y} = -\frac{eE}{m}, \quad \ddot{z} = 0 \quad (1) - (3)$$

الشروط الابتدائية للحركة هي : عندما  $t = 0$  فإن :

$$\dot{x} = U, \dot{y} = V, \dot{z} = 0$$

$$x = 0, \quad y = 0, \quad z = 0$$

بحل المعادلات التفاضلية  $(3) - (1)$  واستخدام الشروط السابقة نحصل على المعادلات البارامترية لمسار الجسم بالصورة :

$$x = Ut, \quad y = Vt - \frac{eE}{2m} t^2, \quad z = 0 \quad (4) - (6)$$

من المعادلة  $(6)$  يتضح أن الجسم يتحرك في المستوى  $xoy$  ومن المعادلتين  $(4), (5)$ ،  $(4)$  وبحذف البارامتر  $t$  نحصل على المعادلة الكارتيزية لمسار بالصورة :

$$y = \frac{V}{U} x - \frac{eE}{2mU^2} x^2$$

وهي معادلة قطع مكافئ محوره رأسى ويمر بنقطة القذف (نقطة الأصل) ومقلوب الى أسفل .

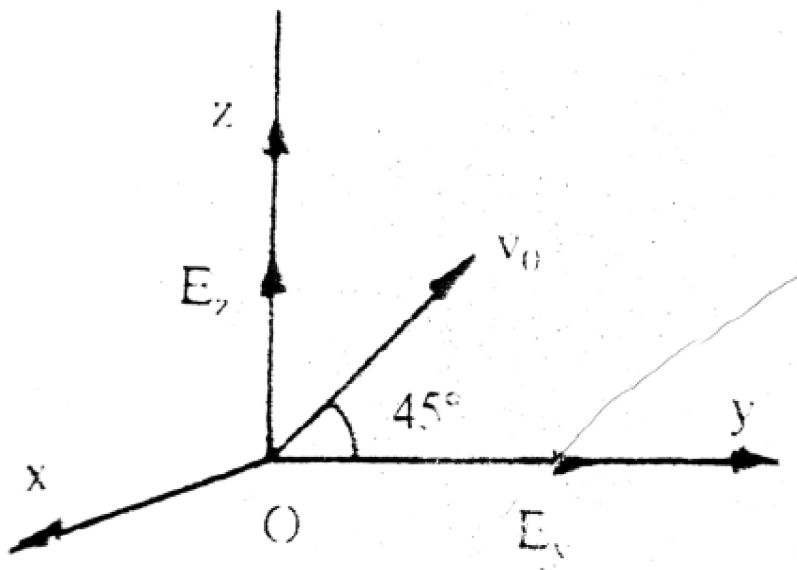
**مثال (3) :**

قاذف يقذف جسيمات مشحونة كتلة كل منها  $m$  وشحنته  $q$  بسرعة مقدارها  $v_0$  في المستوى  $yoz$  وتميل بزاوية  $45^\circ$  على محور  $y$ . يؤثر على الجسم مجال كهربى متغير في المستوى  $yoz$  ويمكن تمثيلها بحركة نقطة على دائرة مركزها الهندسى يتحرك بسرعة منتظمة .

**الحل :**

معادلة حركة الجسم في المجال الكهربى

$$m(\ddot{x}\vec{i} + \ddot{y}\vec{j} + \ddot{z}\vec{k}) = q(E_0 \sin p\vec{t}\vec{j} + E_0 \cos p\vec{t}\vec{k})$$



شكل 5-5

$$\ddot{x} = 0 \quad (1)$$

$$\ddot{y} = \frac{qE_0}{m} \sin pt \quad (2)$$

$$\dot{z} = \frac{qE_0}{m} \cos pt \quad (3)$$

والشروط الابتدائية : عندما  $t = 0$  يكون

$$\dot{x} = 0, \quad \dot{y} = \frac{v_0}{\sqrt{2}}, \quad \dot{z} = \frac{v_0}{\sqrt{2}}$$

$$x = 0, \quad y = 0, \quad z = 0$$

بالتكامل المباشر للمعادلات التفاضلية ( 1 ) - ( 3 ) واستخدام الشروط الابتدائية نحصل على المعادلات البارامترية لمسار الجسم

$$x = 0 \quad (4)$$

$$y = \left( \frac{v_0}{\sqrt{2}} + \frac{qE_0}{mp} \right) t - \frac{qE_0}{mp} \sin pt \quad (5)$$

$$z = \left( \frac{v_0 t}{\sqrt{2}} + \frac{qE_0}{mp^2} \right) - \frac{qE_0}{mp^2} \cos pt \quad (6)$$

من المعادلة (4) يتضح أن الجسم يتحرك في المستوى  $yoz$  ومن المعادلتين (5) ، (6) بحصول على المعادلة الكارتيزية لمسار الجسم على الصورة :

$$(y - y_1)^2 + (z - z_1)^2 = R^2 \quad (7)$$

حيث

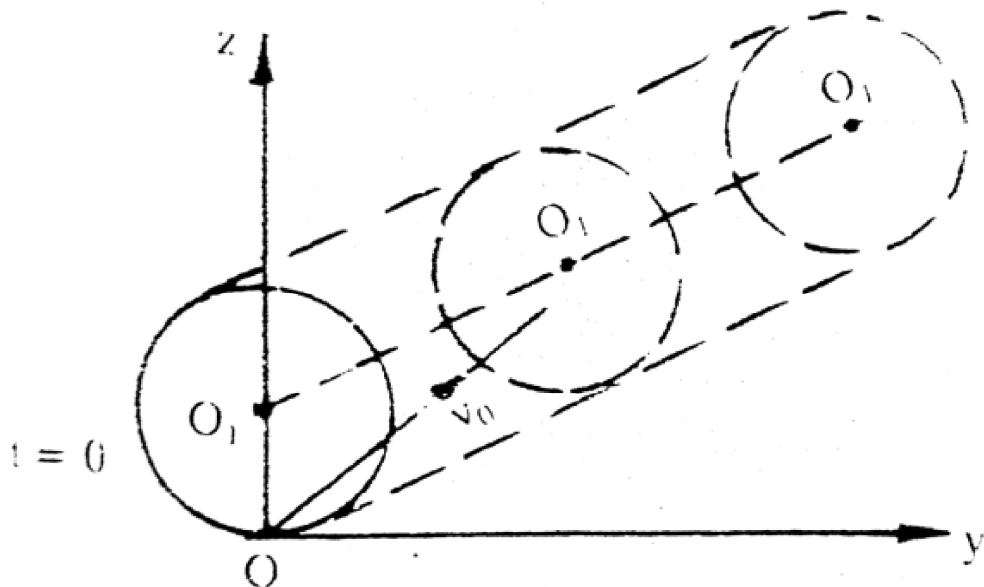
$$y_1 = \left( \frac{v_0}{\sqrt{2}} + \frac{qE_0}{mp} \right) t \quad \therefore \dot{y}_1 = \frac{v_0}{\sqrt{2}} + \frac{qE_0}{mp}$$

$$z_1 = \frac{v_0}{\sqrt{2}} t + \frac{qE_0}{mp^2} \quad \dot{z}_1 = \frac{v_0}{\sqrt{2}} \quad R = \frac{qE_0}{mp^2}$$

المعادلة (7) تبين أن حركة الجسم يمكن تمثيلها بحركة نقطة على دائرة نصف قطرها  $R$  ومركزها النقطة  $O_1(y_1, z_1)$  ويتحرك هذا المركز في المستوى  $yoz$  بسرعة منتظمة مركباتها  $\dot{y}_1, \dot{z}_1$  ومسا المركز هو خط مستقيم معادلته الكارتيزية (العلاقة بين  $y_1, z_1$ ) تكون :

$$\frac{z_1 - \frac{qE_0}{mp^2}}{\frac{v_0}{\sqrt{2}}} = \frac{y_1}{\frac{v_0}{\sqrt{2}} + \frac{qE_0}{mp}}$$

$$z_1 = \frac{y_1}{1 + \frac{qE_0}{mpv_0} \sqrt{2}} + \frac{qE_0}{mp^2}$$



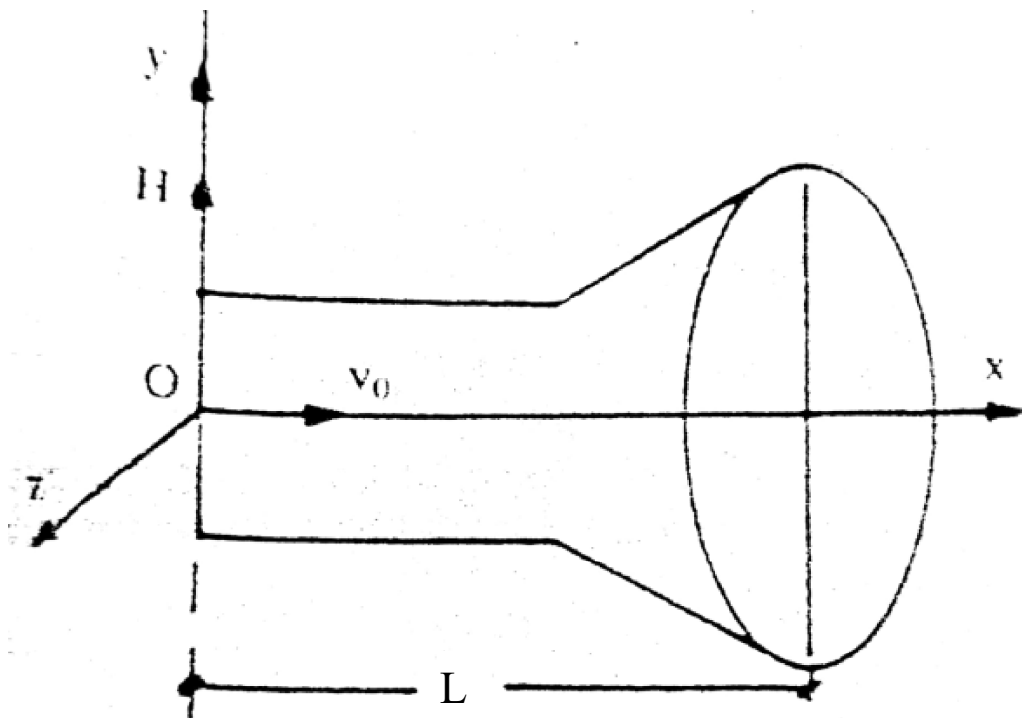
شكل 4-5

مثال (4)

أنبوبة مهبط تشع الكترونات شحنة كل منها  $(-e)$  وكتلته  $m$  وسرعته  $v_0$  وموضعها

في مجال مغناطيسي منتظم  $\vec{H} = H_j \hat{j}$ . عين احداثيات موقع اصطدام الالكترون بالشاشة.

الحل :



شكل 5-5

معادلة حركة الجسم هي :

$$m(\ddot{x}\vec{i} + \ddot{y}\vec{j} + \ddot{z}\vec{k}) = (-e) \begin{vmatrix} \vec{i} & \vec{j} & \vec{k} \\ \dot{x} & \dot{y} & \dot{z} \\ 0 & H & 0 \end{vmatrix}$$

$$\ddot{x} = \frac{eH}{m} z \quad (1)$$

$$\ddot{y} = 0 \quad (2)$$

$$\ddot{z} = -\frac{eH}{m} x \quad (3)$$

الشروط الابتدائية هي : عندما

$$\dot{x} = v_0, \quad \dot{y} = 0, \quad \dot{z} = 0$$

$$x = 0, \quad y = 0, \quad z = 0$$

بحل المعادلات التقاضلية (3) - (1) مع مراعاة الشروط الابتدائية نحصل على المعادلات  
البارامترية لمسار الجسم :

$$x = \frac{mv_0}{eH} \sin\left(\frac{eH}{m}t\right) \quad (4)$$

$$y = 0 \quad (5)$$

$$z = \frac{mv_0}{eH} \left\{ \cos\left(\frac{eH}{m}t\right) - 1 \right\} \quad (6)$$

عندما يصطدم الالكترون بشاشة الأنبوة فان  $x = L$  ومن المعادلة (4) نحصل على :

زمن وصول الجسم للشاشة (screen) هو :

$$\therefore t_s = \frac{m}{eH} \sin^{-1}\left(\frac{LeH}{mv_0}\right)$$

$$L = \frac{mv_0}{eH} \sin\left(\frac{eH}{m}t_s\right)$$

وبالتعميض في (5) ، (6) نحصل على :

$$y_s = 0$$

$$z_s = \frac{mv_0}{eH} \sqrt{\left(1 - \left(\frac{LeH}{mv_0}\right)^2\right)} - 1$$

أي أن احداثيات موقع اصطدام الالكترون بالشاشة هي :  $(L, 0, z_s)$  .

**مثال (5) :**

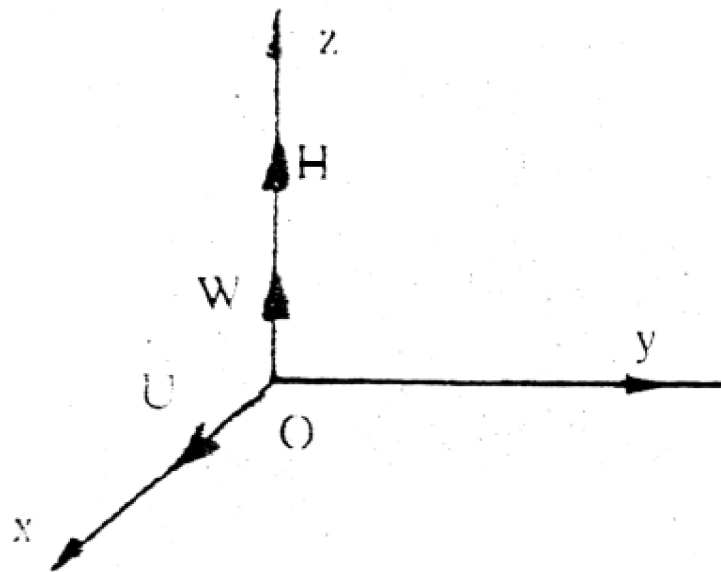
جسم مشحون كتلته  $m$  وشحنته  $q$  يتحرك في مجال مغناطيسي منتظم  $\vec{H} = H\vec{k}$

اذا قذف الجسم من نقطة الأصل  $O$  بسرعة ابتدائية  $\vec{v}_0 = U\vec{i} + W\vec{k}$  . أوجد المعادلات  
البارامترية لمسار الجسم ( اهمل وزن الجسم ) .

**الحل :**

معادلة الحركة للجسم هي :

$$M(\ddot{x}\vec{i} + \ddot{y}\vec{j} + \ddot{z}\vec{k}) = q \begin{vmatrix} \vec{i} & \vec{j} & \vec{k} \\ \dot{x} & \dot{y} & \dot{z} \\ 0 & 0 & H \end{vmatrix}$$



شكل ٥

$$\ddot{x} = \frac{qH}{m} \dot{y} \quad (1)$$

$$\ddot{y} = -\frac{qH}{m} \dot{x} \quad (2)$$

$$\ddot{z} = 0 \quad (3)$$

الشروط الابتدائية للحركة هي :  $\dot{x} = U$      $\dot{y} = 0$      $\dot{z} = W$      $t = 0$      $x = 0$      $y = 0$      $z = 0$

بحل المعادلات التفاضلية ( 3 ) - ( 1 ) مع استخدام الشروط الابتدائية نحصل على المعادلات البارامترية لمسار الجسم

$$x = \frac{mU}{qH} \sin\left(\frac{qH}{m}t\right) \quad (4)$$

$$y = \frac{mU}{qH} \left\{ \cos\left(\frac{qH}{m}t\right) - 1 \right\} \quad (5)$$

$$z = Wt \quad (6)$$

نفرض أن :

$$\Phi = \frac{qH}{m}, \quad a = \frac{mU}{qH}, \quad b = \frac{mW}{qH}$$

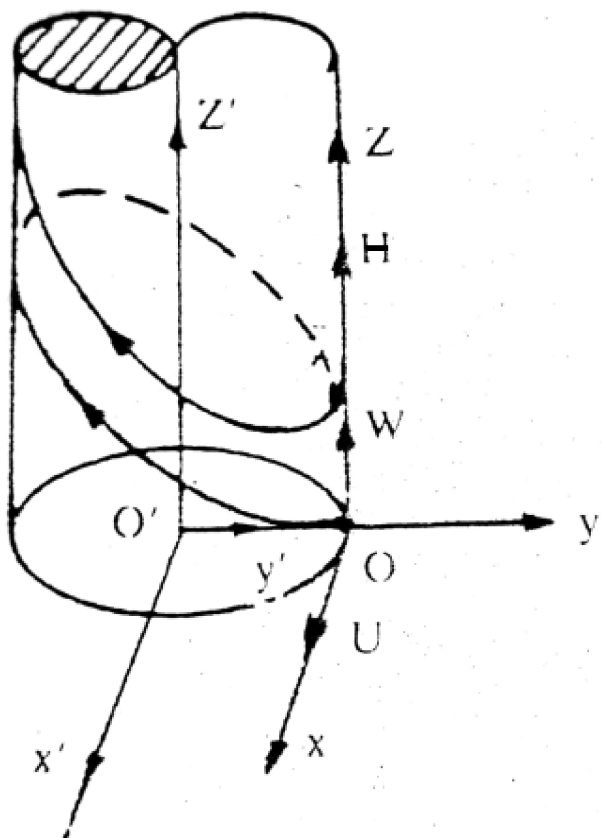
$$x' = x' , \quad y' = y' - a , \quad z' = z'$$

المعادلات البارامترية للجسم تكون على الصورة :

$$x' = a \sin \Phi \quad (7)$$

$$y' = a \cos \Phi \quad (8)$$

$$z' = b \Phi \quad (9)$$



شكل 7-5

المعادلات ( 7 ) - ( 9 ) تمثل منحنى بريمى *circular helix* يقع على سطح أسطوانة

دائري قائمة نصف قطر قاعدتها  $a$  ومحورها المحور  $'z'$  ( اتجاه المجال المغناطيسي )

وزاوية المنحنى البريمى  $\alpha$  حيث :

$$\tan \alpha = \frac{b}{a} = \frac{W}{U}$$

وخطوته  $p$  حيث :

$$p = 2\pi a \tan \alpha = \frac{2\pi m W}{qH}$$

## مثال ( 6 ) :

يبدا جسم كتلته  $m$  وشحنته  $q$  حرکته من النقطة  $(0, a, 0)$  بسرعة  $V$  في اتجاه المحور  $y$  في مجال مغناطيسي منتظم  $\vec{H}$  في اتجاه المحور  $x$  بحيث المستوى  $xoy$  يكون أفقيا . بأخذ تأثير الجاذبية الأرضية في الاعتبار أثبت أن حرکة الجسم حرکة مستوية في المستوى  $yoz$  ويمكن تمثيلها هندسيا بدائرة نصف قطرها  $R$  حيث :

$$R = \frac{m^2 g}{q^2 H^2} + \frac{mV}{qH}$$

منتظمة مقدارها  $mg/qH$  وفي الاتجاه السالب له . عين مقدار المسافة  $a$  التي يجب أن يبدأ الجسم من عندها لكي يتمكن من المرور ببنقطة الأصل . متى يمر الجسم ببنقطة الأصل .

## الحل :

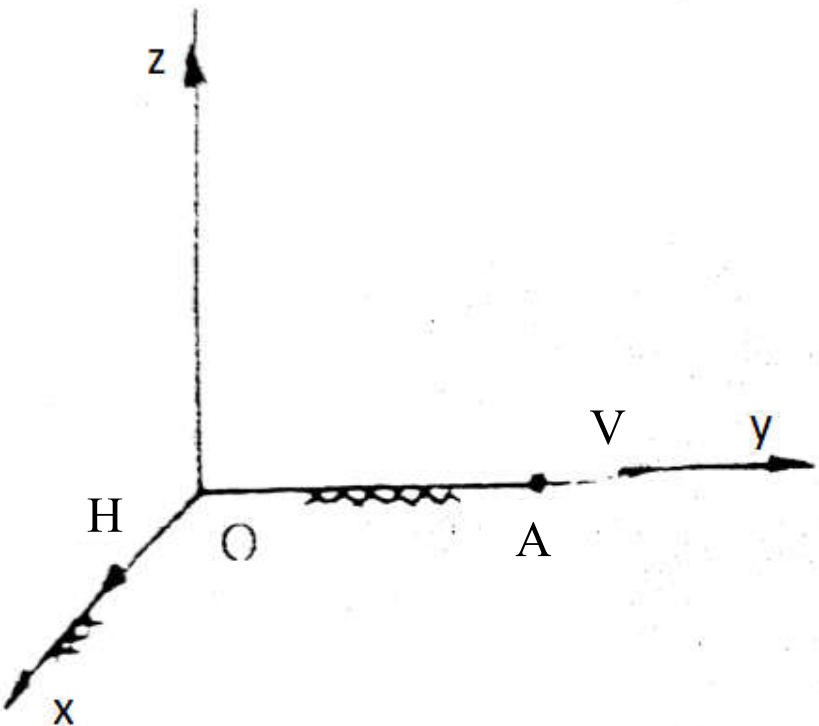
معادلة حرکة الجسم تكون بالصورة :

$$m(\ddot{x}\vec{i} + \ddot{y}\vec{j} + \ddot{z}\vec{k}) = -mg\vec{k} + q \begin{vmatrix} \vec{i} & \vec{j} & \vec{k} \\ \dot{x} & \dot{y} & \dot{z} \\ H & 0 & 0 \end{vmatrix}$$

$$\ddot{x} = 0 \quad (1)$$

$$\ddot{y} = \frac{qH}{m} z \quad (2)$$

$$\ddot{z} = -\left(g + \frac{qH}{m} \dot{y}\right) \quad (3)$$



شكل ٤ - ٥

الشروط الابتدائية هي : عندما  $t = 0$

$$\dot{x} = 0, \quad \dot{y} = V, \quad \dot{z} = 0$$

$$x = 0, \quad y = a, \quad z = 0$$

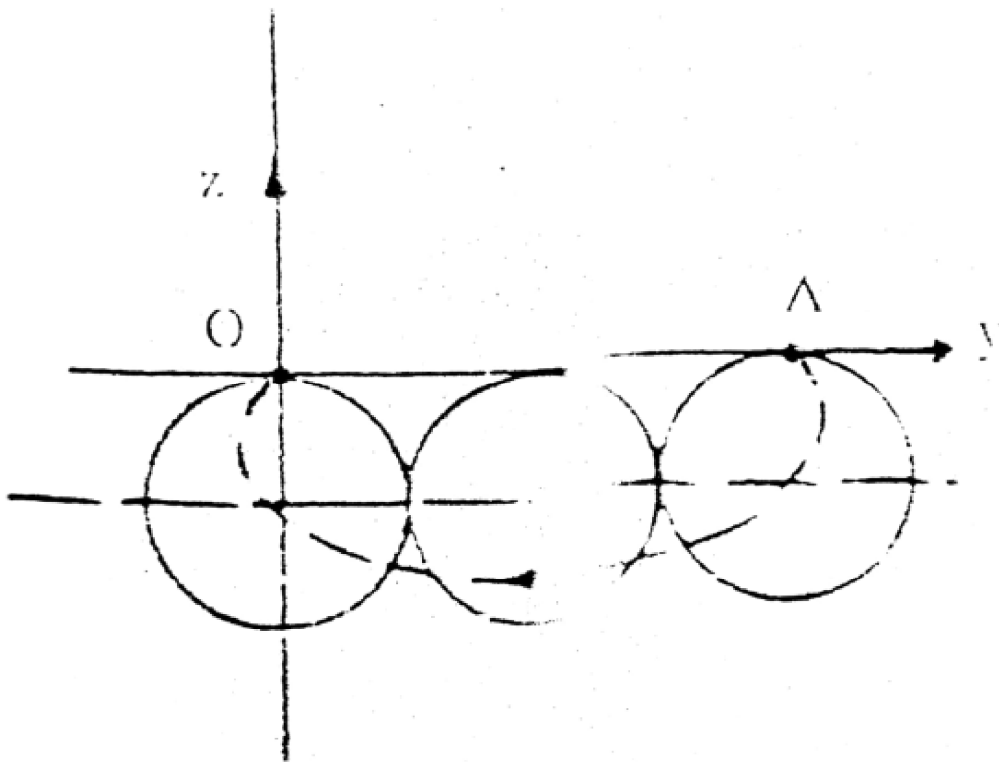
بحل المعادلات التفاضلية ( ٣ ) - ( ٣ ) واستخدام أحوال البداية نحصل على المعادلات

البارامترية لمسار الجسم بالصورة :

$$x = 0 \tag{4}$$

$$y = a - \frac{mg}{qH} t + \left( \frac{m^2 g}{q^2 H^2} + \frac{mV}{qH} \right) \sin \frac{qH}{m} t \tag{5}$$

$$z = \left( \frac{m^2 g}{q^2 H^2} + \frac{mV}{qH} \right) \left\{ \cos \frac{qH}{m} t - 1 \right\} \tag{6}$$



شكل 9-5

من المعادلة ( 4 ) يتضح أن الجسم يتحرك في المستوى  $yoz$  ومن المعادلتين ( 5 ) ، ( 6 ) نحصل على المعادلة الكارتيزية لمسار الجسم على الصورة :

$$(y - y_1)^2 + (z - z_1)^2 = R^2 \quad (7)$$

$$y_1 = a - \frac{mg}{qH}t, \quad \dot{y}_1 = -\frac{mg}{qH}$$

$$z_1 = -\left( \frac{m^2 g}{q^2 H^2} + \frac{mV}{qH} \right) = const, \quad \dot{z}_1 = 0$$

$$R = \frac{m^2 g}{q^2 H^2} + \frac{mV}{qH}$$

المعادلة ( 7 ) تعنى أنه يمكن تمثيل حركة الجسم بحركة نقطة على دائرة نصف قطرها  $R$  ومركزها النقطة  $O_1(y_1, z_1)$  ويتحرك المركز في المستوى  $yoz$  بسرعة منتظمة

مركباتها  $\dot{z}, \ddot{z}$  أي أنها في اتجاه المحور  $y$  لأن  $\dot{z} = 0$  ومسار المركز عبارة عن خط مستقيم.

عندما يمر الجسم بنقطة الأصل  $o$  في المستوى  $yoz$  فإنها تحقق معادلات البارامترية (5) وكذلك المعادلة الكارتيزية (7)

$$\left( a - \frac{mg}{qH} t \right)^2 + \left( \frac{m^2 g}{q^2 H^2} + \frac{mV}{qH} \right)^2 = \left( \frac{m^2 g}{q^2 H^2} + \frac{mV}{qH} \right)^2$$

ومنها نحصل على زمن حركة الجسم

$$t = \frac{qHa}{mg} \quad (8)$$

ثم بالتعويض بهذا الزمن في المعادلتين (5), (6) نحصل على:

$$\sin \frac{q^2 H^2 a}{m^2 g} = 0 \quad (9)$$

$$\cos \frac{q^2 H^2 a}{m^2 g} = 1 \quad (10)$$

بحل المعادلتين الملتبتين (9), (10) نحصل على:

$$\frac{q^2 H^2 a}{m^2 g} = 2n\pi, \quad n = 0, 1, 2, \dots$$

$$a = 2n\pi g \left( \frac{m}{qH} \right)^2$$

والزمن المناظر نحصل عليه من المعادلة (8) :

$$t = \frac{2n\pi m}{qH}$$

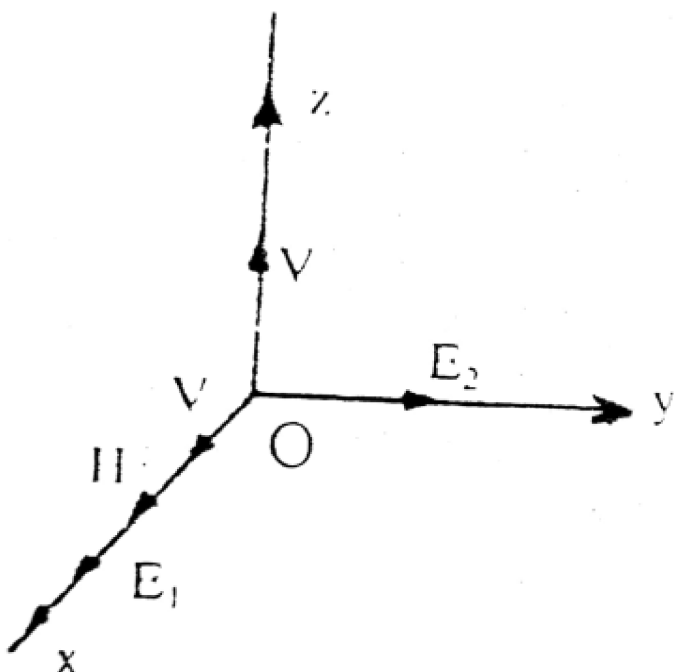
: مثال (7)

جسم كتلته  $m$  وشحنته  $q$  موضوع في مجال كهربى منتظم شدته  $\vec{E} = E_1 \vec{i} + E_2 \vec{j}$  ومجال مغناطيسي منتظم  $\vec{H}$  في اتجاه المحور  $x$ . بدأ الجسم حركته من نقطة الأصل بسرعة  $\vec{v}_0 = V (\vec{i} + \vec{k})$  عين المعادلات البارامترية للمسار.

**الحل :**

معادلة حركة الجسم الاتجاهية هي :

$$m(\ddot{x}\vec{i} + \ddot{y}\vec{j} + \ddot{z}\vec{k}) = q(E_1\vec{i} + E_2\vec{j}) + q \begin{vmatrix} \vec{i} & \vec{j} & \vec{k} \\ \dot{x} & \dot{y} & \dot{z} \\ H & 0 & 0 \end{vmatrix}$$



شكل 10 - 5

$$\ddot{x} = \frac{qE_1}{m} \quad (1)$$

$$\ddot{y} = \frac{q}{m}(E_2 + Hz) \quad (2)$$

$$\ddot{z} = -\frac{qH}{m}\dot{y} \quad (3)$$

أحوال بداية الحركة هي : عندما  $t = 0$

$$\dot{x} = V, \quad \dot{y} = 0, \quad \dot{z} = V$$

$$x = 0, \quad y = 0, \quad z = 0$$

بحل المعادلات التفاضلية ( 3 ) - ( 1 ) مع مراعاة أحوال البداية نحصل على المعادلات البارامترية لمسار الجسم بالصورة :

$$x = Vt + \frac{qE_1}{2m} t^2 \quad (4)$$

$$y = \frac{m}{qH^2} (E_2 + VH) \left\{ 1 - \cos \frac{qH}{m} t \right\} \quad (5)$$

$$z = -\frac{E_2}{H} t + \frac{m}{qH^2} (E_2 + VH) \sin \frac{qH}{m} t \quad (6)$$

مثال ( 8 ) :

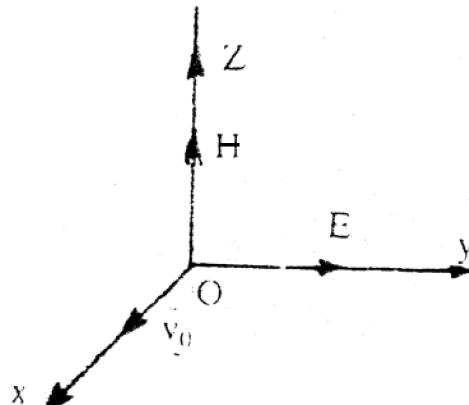
يتتحرك الكترون كتلته  $m$  وشحنته  $q$  في مجالين منتظمين أحدهما كهربى  $\vec{E} = E\hat{j}$

والآخر مغناطيسي  $\vec{v}_0 = \frac{E}{H} \hat{i} = H\vec{k}$ . بدأ الالكترون حرركه من نقطة الأصل بسرعة  $v_0$ . أثبت أن الالكترون سوف يتتحرك بسرعة منتظمة في اتجاه المحور  $x$ .

الحل :

القوة التي تؤثر على الجسم في بداية الحركة هي

$$\begin{aligned} \vec{F} &= (-e)\vec{E} + (-e)(\vec{v}_0 \wedge \vec{H}) \\ &= -eE\hat{j} - e \left( \frac{E}{H} \hat{i} \wedge H\vec{k} \right) \\ &= -eE\hat{j} + eE\hat{j} = \vec{0} \end{aligned}$$



شكل 5-11

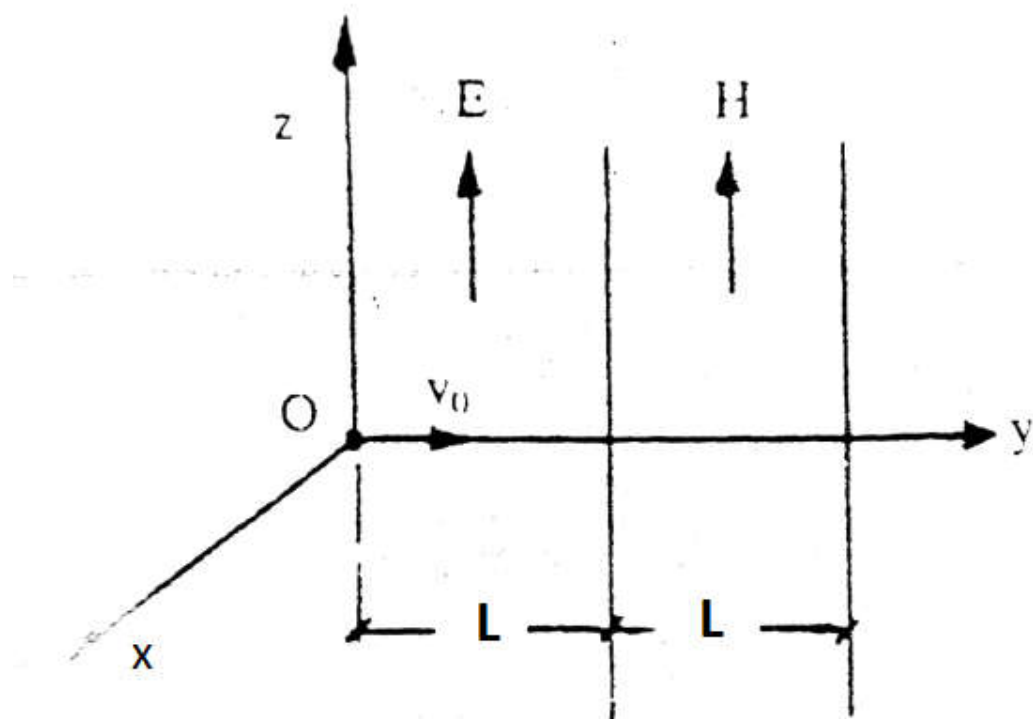
أي أن محصلة القوى المؤثرة على الالكترون تنعدم في لحظة الابتداء وبالتالي يستمر الالكترون في الحركة بسرعة منتظمة  $v_0$  في خط مستقيم على المحور  $ox$  (قانون نيوتن الأول). تستخدم هذه الخاصية في جهاز منقى السرعة *velocity selector* (انظر التطبيقات).

مثال (٩) :

يبدأ جسيم كتلته  $m$  وشحنته  $q$  حركته من نقطة الأصل  $O$  بسرعة  $\vec{v}_0 = v_0 \hat{j}$  تحت تأثير مجال كهربى منتظم شدته  $\vec{E} = E \hat{k}$  في المنطقة  $0 < y < L$  وعند خروجه من المجال الكهربى يتعرض لتأثير مجال مغناطيسى منتظم شدته  $\vec{H} = H \hat{k}$  في المنطقة  $L < y < 2L$  فإذا كانت المسافة  $L$  تحقق  $L = \frac{mv_0}{qH}$ . عين موقع الجسيم عند خروجه من المجال الكهربى ومن المجال المغناطيسى (اهمل تأثير الجاذبية الأرضية).

الحل :

دراسة حركة الجسيم في المجال الكهربى  $0 < y < L$  :



شكل 5-12

معادلة حركة الجسيم هي :

$$m(\ddot{x}\hat{i} + \ddot{y}\hat{j} + \ddot{z}\hat{k}) = q(E\hat{k})$$

$$\ddot{x} = 0 \quad (1)$$

$$\ddot{y} = 0 \quad (2)$$

$$\ddot{z} = \frac{qE}{m} \quad (3)$$

أحوال البداية : عندما  $t = 0$

$$\dot{x} = 0, \quad \dot{y} = v_0, \quad \dot{z} = 0$$

$$x = 0, \quad y = 0, \quad z = 0$$

بحل المعادلات التفاضلية (3) - (1) مع استخدام الشروط الابتدائية نحصل على :

$$\dot{x} = 0, \quad x = 0 \quad (4)$$

$$\dot{y} = v_0, \quad y = v_0 t \quad (5)$$

$$\dot{z} = \frac{qE}{m}, \quad z = \frac{qE}{2m} t^2 \quad (6)$$

أي أن الجسيم يتحرك في المستوى  $yoz$  والمعادلة الكارتيزية لمسار الجسيم في المجال الكهربى :

$$z = \frac{qE}{2mv_0^2} y^2$$

ويغادر الجسيم المجال الكهربى عندما وبالتعويض في المعادلات (6) - (4) نحصل على زمن الحركة واحداثيات موقع الجسيم وعلى مركبات سرعته عندئذ بالصورة :

$$t = \frac{L}{v_0}$$

$$\dot{x} = 0, \quad x = 0$$

$$\dot{y} = v_0, \quad y = L = \frac{mv_0}{qH}$$

$$\dot{z} = \frac{qEL}{mv_0} = \frac{E}{H}, \quad z = \frac{qE}{2mv_0^2} L^2 = \frac{mE}{2qH^2}$$

دراسة حركة الجسيم في المجال المغناطيسي :

معادلة حركة الجسيم تكون

$$m(\ddot{x}\vec{i} + \ddot{y}\vec{j} + \ddot{z}\vec{k}) = q \begin{vmatrix} \vec{i} & \vec{j} & \vec{k} \\ \dot{x} & \dot{y} & \dot{z} \\ 0 & 0 & H \end{vmatrix}$$

$$\ddot{x} = \frac{qH}{m} y \quad (7)$$

$$\ddot{y} = -\frac{qH}{m} \dot{x} \quad (8)$$

$$\ddot{z} = 0 \quad (9)$$

وأحوال البداية هي عندما  $t=0$

$$\dot{x} = 0, \quad \dot{y} = v_0, \quad \dot{z} = \frac{E}{H}$$

$$x = 0, \quad y = L = \frac{mv_0}{qH}, \quad z = \frac{mE}{2qH^2}$$

بحل المعادلات التفاضلية (9) – (7) مع مراعاة أحوال البداية نحصل على المعادلات البارامترية لمسار الحسيم في المجال المغناطيسي بالصورة :

$$x = \frac{mv_0}{qH} \left( 1 - \cos \frac{qH}{m} t \right)$$

$$y = \frac{mv_0}{qH} \left( 1 + \sin \frac{qH}{m} t \right)$$

$$z = \frac{E}{H} t + \frac{mE}{2qH^2}$$

ويغادر الجسيم المجال المغناطيسي عندما  $y = 2L$  وبالتعويض في المعادلات (12) نحصل على زمن الحركة واحداثيات موقع الجسيم المناظرة :

$$t = \frac{m\pi}{2qH}$$

$$x = \frac{mv_0}{qH}$$

$$y = 2L = \frac{2mv_0}{qH}$$

$$z = \frac{(1+\pi)mE}{2qH^2}$$

**مثال ( 10 ) :**

جسيم مشحون كتلته  $m$  وشحنته  $q$  يتحرك في مجال كهربى منتظم شدته  $\vec{E} = E\vec{j}$  ومجال مغناطيسي شدته  $\vec{H} = H\vec{k}$ . اذا تحرك الجسيم من نقطة الأصل  $o$  من السكون . أوجد المعادلات البارامترية لمسار الجسيم ( اهمل وزن الجسيم ) .

**الحل :**

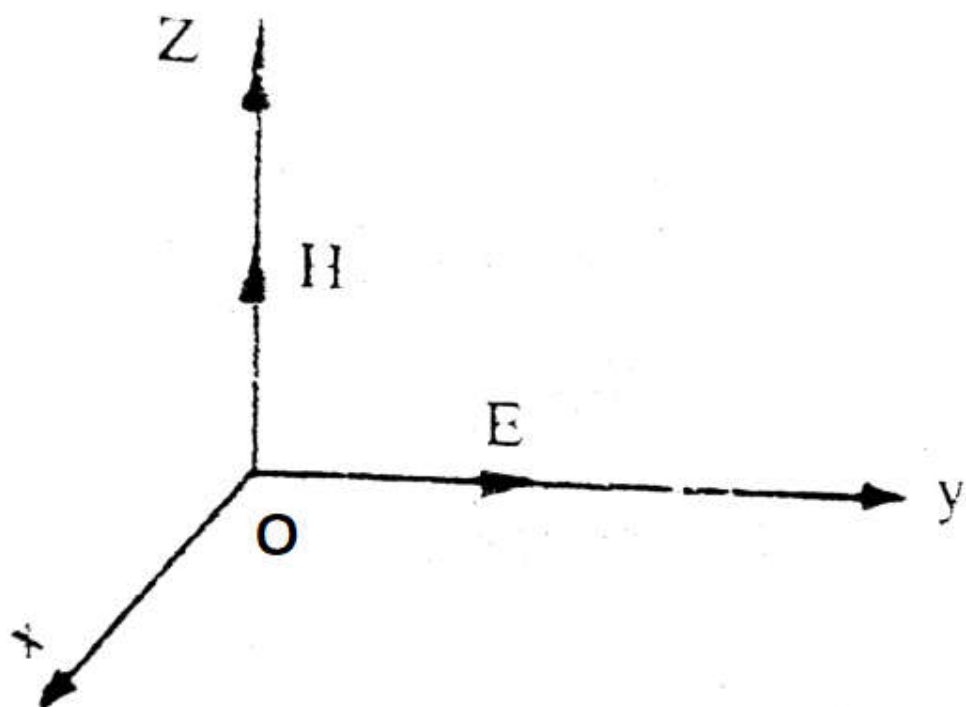
معادلة حركة الجسيم هي :

$$m(\ddot{x}\vec{i} + \ddot{y}\vec{j} + \ddot{z}\vec{k}) = q(E\vec{j}) + q \begin{vmatrix} \vec{i} & \vec{j} & \vec{k} \\ \dot{x} & \dot{y} & \dot{z} \\ 0 & 0 & H \end{vmatrix}$$

$$\ddot{x} = \frac{qH}{M} \dot{y} \quad (1)$$

$$\ddot{y} = \frac{qE}{m} - \frac{qH}{m} \dot{x} \quad (2)$$

$$\ddot{z} = 0 \quad (3)$$



شكل 5-13

أحوال بداية الحركة هي عندما  $t = 0$

$$\dot{x} = 0, \quad \dot{y} = 0, \quad \dot{z} = 0$$

$$x = 0, \quad y = 0, \quad z = 0$$

حل المعادلات التفاضلية (3) - (1) ومراعاة أحوال البداية نحصل على المعادلات البارامترية لمسار الجسم بالصورة :

$$x = \frac{mE}{qH^2} \left( \frac{qH}{m} t - \sin \frac{qH}{m} t \right) \quad (4)$$

$$y = \frac{mE}{qH^2} \left( 1 - \cos \frac{qH}{m} t \right) \quad (5)$$

$$z = 0 \quad (6)$$

من المعادلة (6) يتضح أن الجسم يتحرك في المستوى  $xoy$ . نفرض أن :

$$\theta = \frac{qH}{m} t, \quad a = \frac{mE}{qH^2}$$

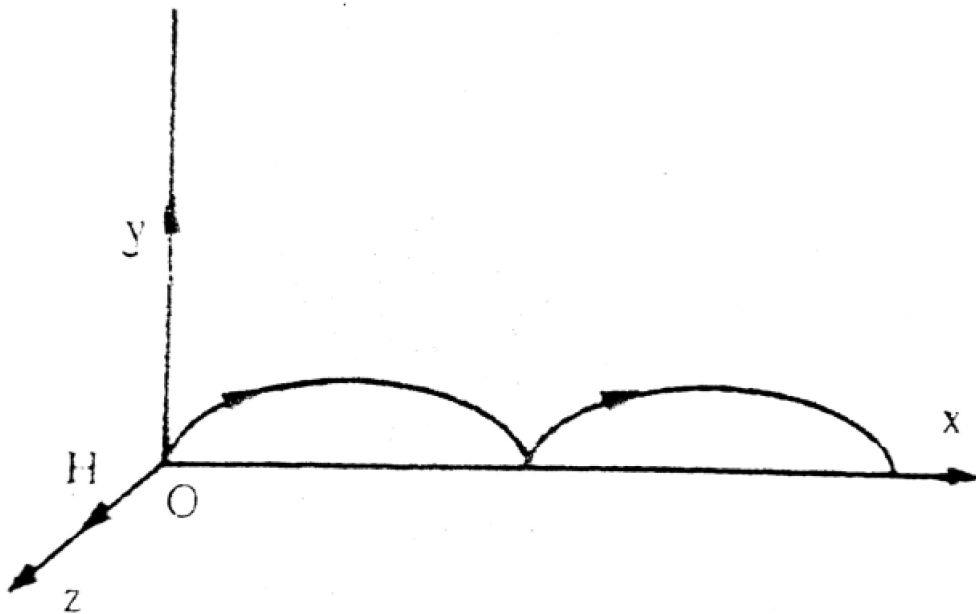
فإن المعادلات البارامترية لحركة الجسم تكون على الصورة :

$$x = a(\theta - \sin \theta) \quad (7)$$

$$y = a(1 - \cos \theta) \quad (8)$$

$$z = 0 \quad (9)$$

المعادلات (7) - (9) تمثل منحنى سيكلويد *Cycloid* في المستوى  $xoy$ .



شكل 14-5

نصف قطر الدائرة المولدة  $a$  والزمن الذي يأخذه الجسم في رسم قوس السيكلوид من ناب إلى

ناب  $\left( \text{successive cusps} \right) t_{OA}$

$$\therefore \theta = \frac{qH}{m} t \quad \therefore t_{OA} = \frac{2\pi m}{qH}$$

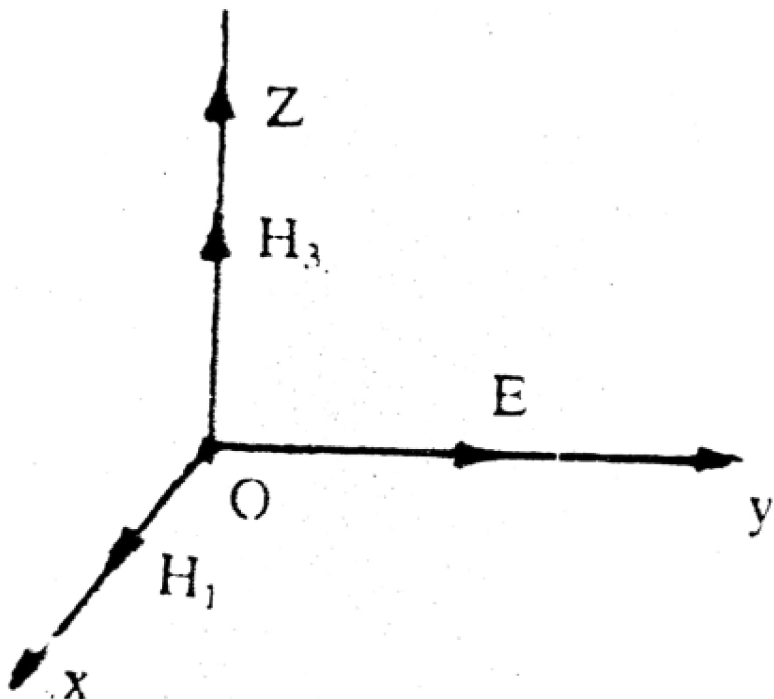
: مثال (11)

جسم كتلته  $m$  وشحنته  $q$  يتحرك تحت تأثير مجال كهربى منتظم شدته  $E$  في اتجاه محور  $y$  ومجالين مغناطيسيين شدة الأول  $H_1$  في اتجاه محور  $x$  والأخر شدته  $H_3$  في اتجاه محور  $z$ . اذا بدأ الجسم حركته من سكون عند نقطة الأصل . أثبت أنه يمكن تمثيل حركة الجسم بحركة نقطة على سطح كرة الهندسى يتحرك بسرعة منتظمة في مستوى مواز للمستوى  $xoz$  .

الحل :

معادلة حركة الجسم هي :

$$m(\ddot{x}\vec{i} + \ddot{y}\vec{j} + \ddot{z}\vec{k}) = qE\vec{J} + q \begin{vmatrix} \vec{i} & \vec{j} & \vec{j} \\ \dot{x} & \dot{y} & \dot{z} \\ H_1 & 0 & H_3 \end{vmatrix}$$



شكل 5-5

$$\ddot{x} = \frac{qH_3}{m}\dot{y} \quad (1)$$

$$\ddot{y} = \frac{q}{m}(E + H_1\dot{z} - H_3\dot{x}) \quad (2)$$

$$\ddot{z} = -\frac{qH_1}{m}\dot{y} \quad (3)$$

وأحوال البداية هي : عندما

$$\dot{x} = 0, \dot{y} = 0, \dot{z} = 0$$

$$x = 0, y = 0, z = 0$$

بحل المعادلات التفاضلية ( 1 ) - ( 3 ) ومراعاة أحوال البداية نحصل على المعادلات البارامترية لمسار الجسم على الصورة :

$$x = \frac{H_3 E}{H^2} \left\{ t - \frac{m}{qH} \sin \frac{qH}{m} t \right\} \quad (4)$$

$$y = \frac{mE}{qH^2} \left\{ 1 - \cos \frac{qH}{m} t \right\} \quad (5)$$

$$z = -\frac{H_1 E}{H^2} \left\{ t - \frac{m}{qH} \sin \frac{qH}{m} t \right\} \quad (6)$$

$$H^2 = H_1^2 + H_3^2 \quad (7)$$

من المعادلات (6) – (4) نحصل على المعادلة الكارتيزية للمسار على الصورة:

$$(x - x_1)^2 + (y - y_1)^2 + (z - z_1)^2 = R^2 \quad (8)$$

حيث

$$x_1 = \frac{H_3 E}{H^2} t, \quad \dot{x}_1 = \frac{H_3 E}{H^2}$$

$$y_1 = \frac{mE}{qH^2} = \text{const.}, \quad \dot{y}_1 = 0$$

$$z_1 = -\frac{H_1 E}{H^2} t, \quad \dot{z}_1 = \frac{H_1 E}{H^2}$$

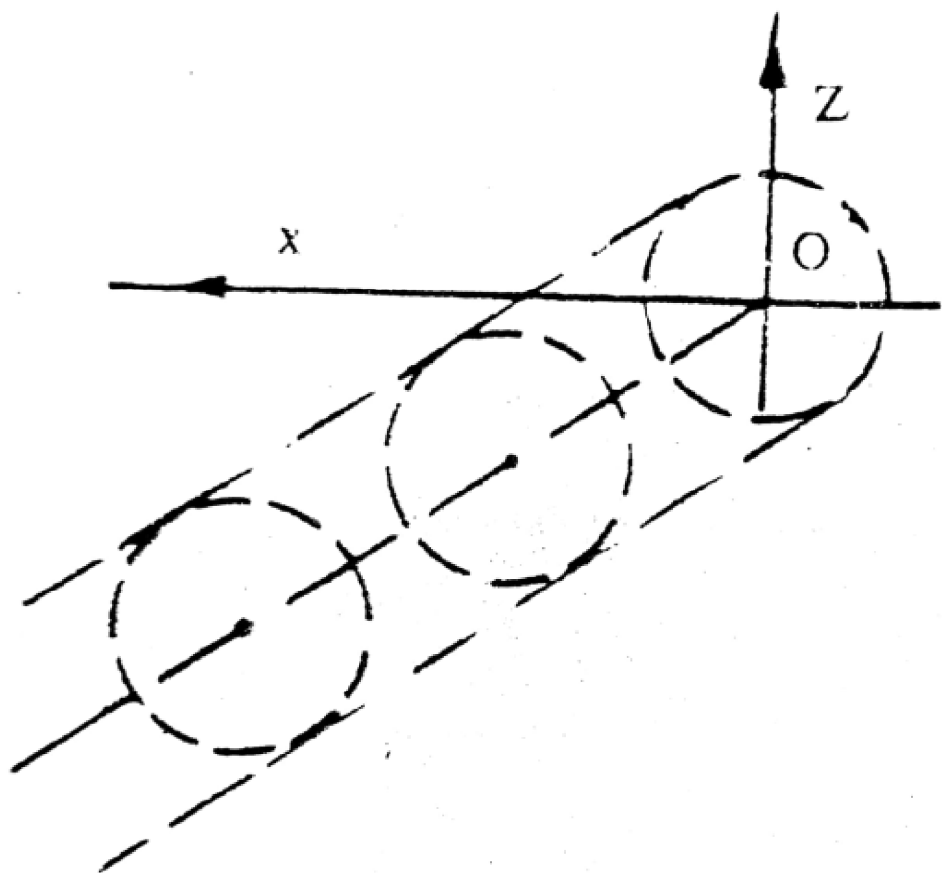
$$R = \frac{mE}{qH^2}$$

المعادلة (8) تبين أنه يمكن تمثيل حركة الجسم بحركة نقطة على سطح كرة نصف قطرها  $R$  ومركزها  $(x_1, y_1, z_1)$  ويتحرك المركز بسرعة مرکباتها  $\dot{x}_1, \dot{y}_1, \dot{z}_1$  ويلاحظ أن المركز

يتحرك في مستوى يوازي المستوى  $xoz$  والذي يبعد عنه مسافة ثابتة  $R$  ومسار

مركز الكرة خط مستقيم معادلته الكارتيزية ( العلاقة بين  $x_1, z_1$  ) تكون بالصورة :

$$z_1 = -\frac{H_1}{H_3}x_1$$



شكل 16-5

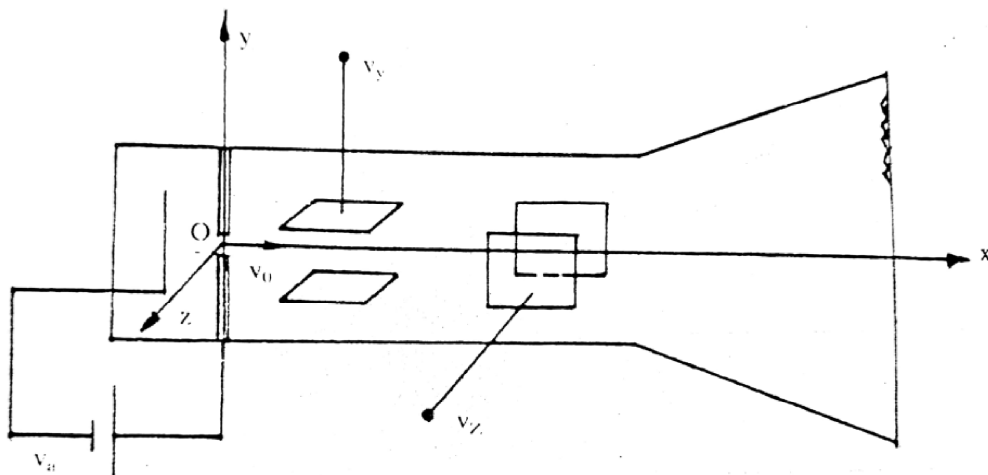
## تطبيقات Applications

سندرس فيما يلى بعض الأجهزة الإلكترونية التي تعتمد على حركة الجسيمات المشحونة في المجالات الكهربائية والمغناطيسية.



### أ – راسم الذبذبات Cathode ray oscillograph

يتكون راسم الذبذبات من أنبوبة زجاجية يتوسطها شعاع الكترونات التي تقابل شاشة فسفورية . ينحرف الشعاع الإلكتروني تحت تأثير المجال الكهربى وتحريك تبعاً لذلك النقطة المضيئة على الشاشة .

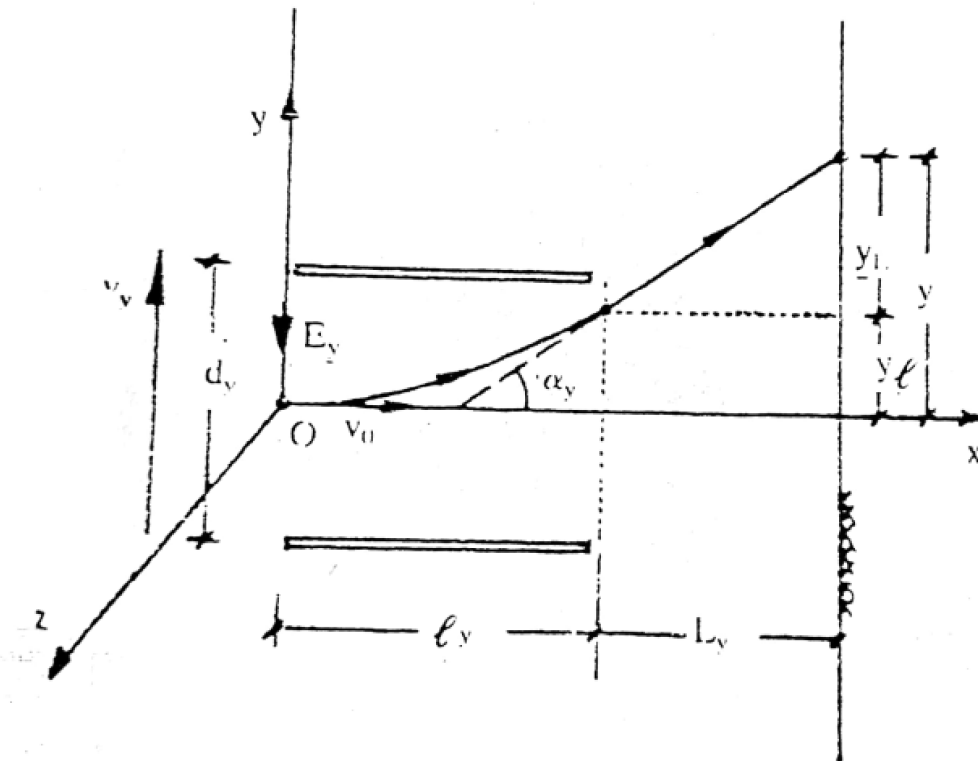


شكل 5-17

عندما يسخن المهبط Cathode تشع منه الكترونات تتحرك في اتجاه محور الأنبوبة (محور  $x$ ) بسرعة منتظمة  $v_0$  تتناسب مع فرق الجهد  $V_a$  وهناك نوعين من ألواح الانحراف . ألواح الانحراف الرأسى vertical deflecting plates وهما لوحين أفقين بينهما فرق جهد  $V_y$  وينشأ عنه مجال كهربى شدته  $E_y$  يسبب الانحراف الرأسى لشعاع الالكترونات عند مروره بين اللوحتين الأفقين ( ) حيث  $E_y = \frac{V_y}{d_y}$  هي المسافة بين لوحى الانحراف الرأسى ) . ألواح الانحراف الأفقي horizontal deflecting plates وهما لوحين رأسين بينهما فرق جهد  $V_z$  وينشأ عنه مجال كهربى شدته  $E_z$  يسبب الانحراف الأفقي

لشعاع الالكترونات عند مروره بين اللوحين الرأسين . )  
حيث  $d_z$  هي المسافة  
بين لوحي الانحراف الأفقي ( .

نعتبر الآن حركة الالكترونات بين ألواح الانحراف الرأسى :



شكل 18 - 5

تتحرك الالكترونات بسرعة  $v_0$  في اتجاه محور  $x$  (محور الانبوبية) وشدة المجال الكهربى بين اللوحين هو  $E_y$  واتجاهه الى أسفل . في فترة وجود الالكترون بين اللوحين فان معادلة حركة الالكترون هي :

$$m \left( \ddot{x} \vec{i} + \ddot{y} \vec{j} + \ddot{z} \vec{k} \right) = -e \left( -E_y \vec{j} \right)$$

$$\ddot{x} = 0 , \quad \ddot{y} = \frac{eE_y}{m} , \quad \ddot{z} = 0 \quad (1) - (3)$$

أحوال بداية الحركة هي عندما  $t = 0$

$$\dot{x} = v_0, \dot{y} = 0, \dot{z} = 0$$

$$x = 0, y = 0, z = 0$$

حل المعادلات التفاضلية (3) - (1) نحصل على المعادلات البارامترية لمسار الالكترون

$$x = v_0 t, \quad y = \frac{eE_y}{2m} t^2, \quad z = 0$$

أي أن الالكترون يتحرك في المستوى  $xoy$  ومعادلته الكارتيزية هي :

$$y = \frac{eE_y}{2mv_0^2} x^2 \quad (\text{قطع مكافئ})$$

الانحراف الرأسى  $y$  لمسار الالكترون عند مغادرته منطقة اللوحين نحصل عليها بالتعويض

$$x = \ell_y \quad \text{عن}$$

$$\therefore y_\ell = \frac{eE_y}{2mv_0^2} \ell_y^2$$

بعد خروج الالكترون من بين اللوحين يواصل حركته في خط مستقيم ميله  $\alpha_y$  يمس مساره السابق (قطع مكافئ) حتى يصطدم بشاشة فسفورية فيرضى موقع الالكترون عليها لفترة قصيرة بحيث يراه المشاهد من الخارج . ولحساب الزاوية  $\alpha_y$  نحسب ميل المماس لمسار الالكترون

(قطع مكافئ) عندما  $x = \ell_y$  وعلى ذلك فان :

$$\tan \alpha_y = \frac{eE_y}{mv_0^2} \ell_y$$

ويكون الانحراف خلال المسافة  $L_y$  الى أن يصطدم الالكترون بالشاشة هو :

$$y_L = L_y \tan \alpha_y = \frac{eE_y}{mv_0^2} \ell_y L_y$$

ويكون الانحراف الكلى

$$y = y_\ell + y_L = \left( \frac{e\ell_y^2}{2mv_0^2} + \frac{e\ell_y L_y}{mv_0^2} \right) E_y$$

$$y = C_y E_y$$

حيث  $C_y$  ثابت يعتمد على خواص الأنبوة . وعلى هذا فلو أطلق تيار مستمر من الالكترونات بسرعة  $v_0$  فإنه يصيب الشاشة في نقطة على ارتفاع  $y$  من محور الجهاز محدثاً نقطة مضيئة ويتوقف موضع النقطة مضيئة  $y$  على شدة المجال  $E_y$  وهذا بدوره يتوقف على فرق الجهد بين ألواح الانحراف الرأسي  $V_y$  .

$$y = C_y E_y = C_y \frac{V_y}{d_y} = K_y V_y , \quad K_y = \frac{C_y}{d_y}$$

بالمثل بالنسبة لألواح الانحراف الأفقي فانهما يجعلان الالكترون ينحرف في اتجاه عمودي عليهم أي في اتجاه محور  $V_z$  تبعاً للمعادلة :

$$z = C_z E_z = C_z \frac{V_z}{d_z} = K_z V_z , \quad K_z = \frac{C_z}{d_z}$$

وبالنسبة لألوح الانحراف الرأسي وألواح الانحراف الأفقي معاً فان حركة النقطة مضيئة على الشاشة تتبع المعادلتين :

$$y = C_y E_y = K_y V_y$$

$$z = C_z E_z = K_z V_z$$

مثال (12) :

في جهاز راسم الذبذبات اذا كان جهد الانحراف  $V_y = A \sin \omega t$  ،  $V_z = B \cos \omega t$



حيث  $A, B, \omega$  ثوابت . أوجد معادلة المسار على الشاشة .

الحل :

المعادلات البارامترية للمسار هي :

$$y = K_y V_y = K_y A \sin \omega t$$

$$z = K_z V_z = K_z B \cos \omega t$$

بحذف البارامتر  $t$  بينهما نحصل على :

$$\frac{y^2}{(K_y A)^2} + \frac{z^2}{(K_z B)^2} = 1$$

وهي معادلة قطع ناقص تظهر على الشاشة كمنحنى مضيء .

: مثال (13)

في جهاز راسم الذبذبات اذا كان جهدى الانحراف هما :

$$V_y = A \sin \omega t, \quad V_z = B \sin 2\omega t$$

حيث ثوابت . ما هي الصورة التي تظهر على الشاشة .

الحل :

المعادلات البارامترية للمسار هي :

$$y = K_y V_y = K_y A \sin \omega t$$

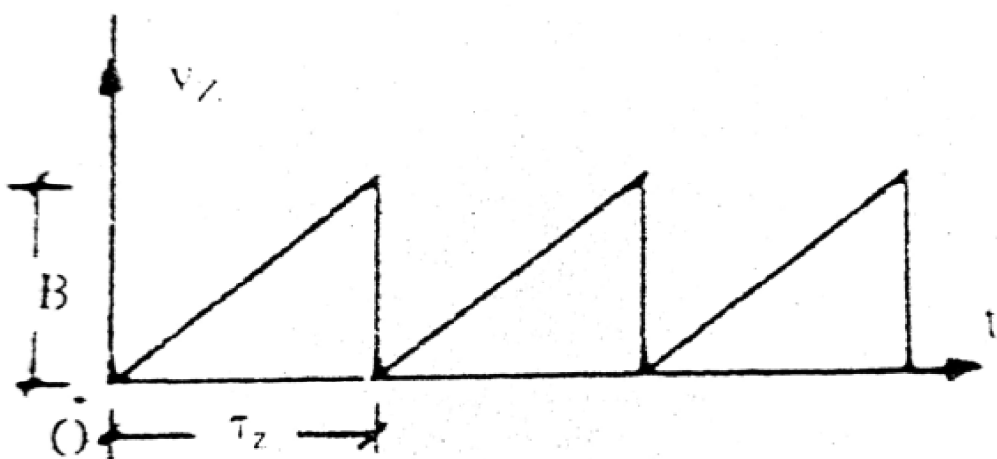
$$z = K_z V_z = K_z B \sin 2\omega t$$

بحذف البارامتر  $t$  بينهما نحصل على :

$$z = 2 \frac{K_z}{K_y} B y \sqrt{1 - \frac{y^2}{K_y^2 A^2}}$$

ويلاحظ أن الزمن الدورى  $\tau_z = \frac{\pi}{\omega}$  والزمن الدورى  $\tau_y = \frac{2\pi}{\omega}$  أي أن  $\tau_y = 2\tau_z$  أي أنه

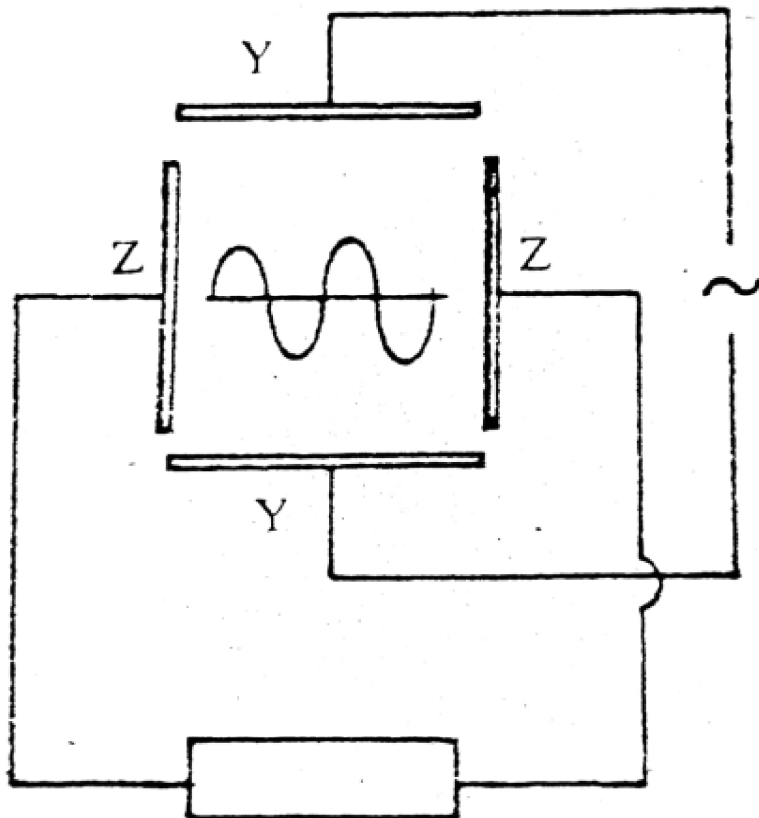
يكون لدينا ذبذبتان كاملتان في الاتجاه  $z$  لكل ذبذبة واحدة في اتجاه  $y$  .



شكل 19-5

وإذا اختلف التردد الزاوي للجهد  $V_y$  عنه للجهد العمودي  $V_z$  أمكن الحصول على ما يسمى بأشكال " ليساجو " على الشاشة . وعلى العموم اذا كانت  $V_y$  معلومة فان  $V_z$  يمكن معرفتها

من الأشكال المرسومة على شاشة الأنبوية . في الاستخدام العملى لجهاز راسم الذبذبات يعطى على شكل أسنان المنشار saw tooth مما يجعل الإلكترون ينحرف في الاتجاه الموجب لمحور  $Z$  فقط.



شكل 5-20

هذا ويوضح الجهد المطلوب دراسته  $V_y$  على اللوحين الآخرين فإذا كانت دورية فإنه يمكن

بضبط تردد  $\omega$  تكوين صورة ثابتة لأشكال الشاشة تعيننا على تفسير المجال المجهول .

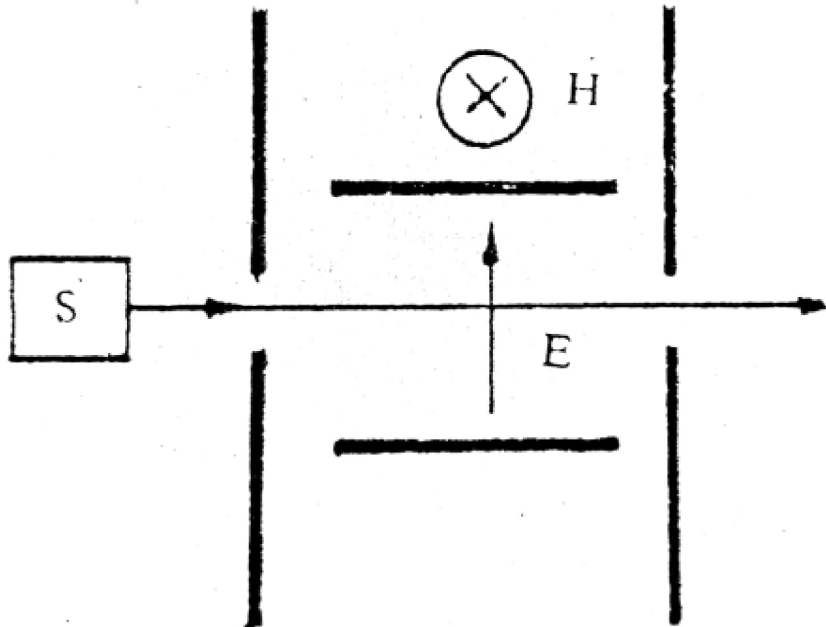
الجهد  $V_z$  المعروف يعرف بجهد التوقيت time voltage وتنبت الصورة على الشاشة اذا

كان الزمن الدورى لجهد التوقيت  $\tau$  يساوى الزمن الدورى للجهد المجهول .

## ب - منقى السرعة velocity Selector



تكون غالبية الجسيمات المشحونة الصادرة من منابع الاشعاعات ذات سرع مختلفة ولهذا يستعمل جهاز منقى السرعة للحصول على حزمة من الجسيمات المشحونة ذات سرعة واحدة تكون ذات فائدة وأهمية في الدراسات والأبحاث العملية .



شكل 5-21

يتكون الجهاز من حاجزين متقوبين على استقامة واحدة وبين الحاجزين يوجد مجال كهربى

منتظم  $\vec{E}$  ومجال مغناطيسي  $\vec{H}$  عمودى عليه . ويوضع منبع اشعاعات  $S$  أمام ثقب أحد هذين الحاجزين ( المدخل ) . يمر من المدخل حزمة من الجسيمات المشحونة السريعة وهذه الجسيمات تخضع لتأثير قوتين كهربية ثابتة ومغناطيسية تبعاً لسرعة الجسم وشدة المجال  $\vec{H}$  .

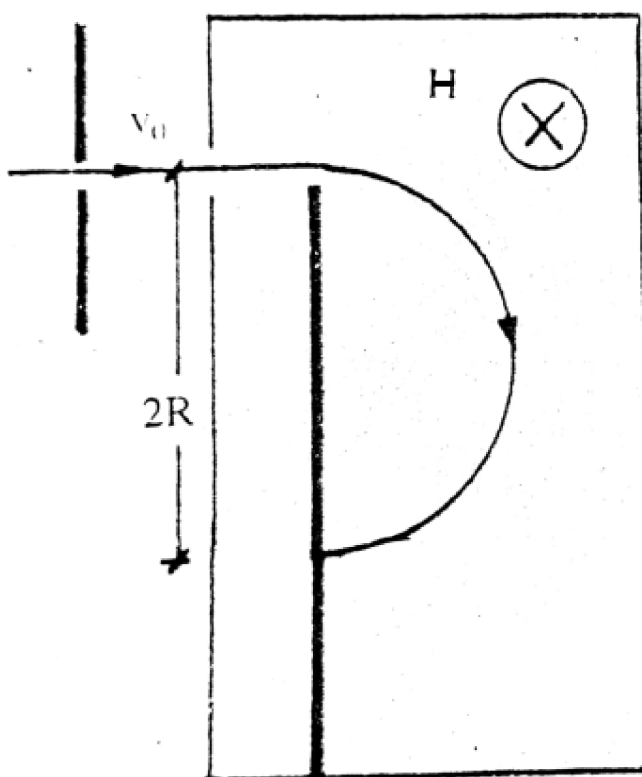
اذا ووجه المجال المغناطيسي بالجهة التي يتولد منها قوة معاكسة للقوة الكهربية وكانت القوتان متساوين فان محصلتهما تكون منعدمة ، وعليه فان الجسم ذو السرعة المناظرة هو الوحيد الذى يمكن خاضعاً لمثل هذه القوة المحصلة المنعدمة والذى لا يعاني أي انحراف فيخرج من ثقب الحاجز المقابل ( المخرج ) . أي جسم آخر يتحرك بسرعة أخرى يكون متأثراً بقوة أكبر من أو أقل من  $qvH$  ويكون هناك محصلة لقوى الكهربية والمغناطيسية تؤدى إلى انحراف

مسار الجسم وعدم مروره من المخرج . سرعة الجسم الخارج نحصل عليها من تساوى القوة الكهربية والقوة المغناطيسية .

$$qE = qvH \quad \therefore v = \frac{E}{H}$$

### جـ - مطابف الكتلة ( spectrometer )

هو جهاز يقاس بواسطته نسبة شحنة جسيم الى كتلته كما أنه يستخدم في الكشف عن النظائر المختلفة . ويعمل هذا الجهاز كما يلى :



شكل 5-22

تؤخذ حزمة جسيمات وحيدة السرعة من منتقى السرعة velocity selector وتدخل من فتحة

في صندوق مفرغ من الهواء وموضوع في مجال مغناطيسي  $\vec{H}$  عمودي على اتجاه حزمة الجسيمات وعندئذ تحرف هذه الجسيمات وتتحرك في مسار دائري . ويوضع في طريق هذه الجسيمات المنحرفة من جانب الصندوق لوح حساس يوازي مستوى المجال المغناطيسي حيث يكشف طول قطر الدائرة الذي بمعرفته تصبح النسبة بين الشحنة والكتلة معلومة وذلك لأنّه من قانون نيوتن وقانون لورنتز نحصل على :

$$\frac{mv^2}{R} = qvH \quad \therefore \quad \frac{q}{m} = \frac{v}{RH}$$

ومن منتقى السرعة

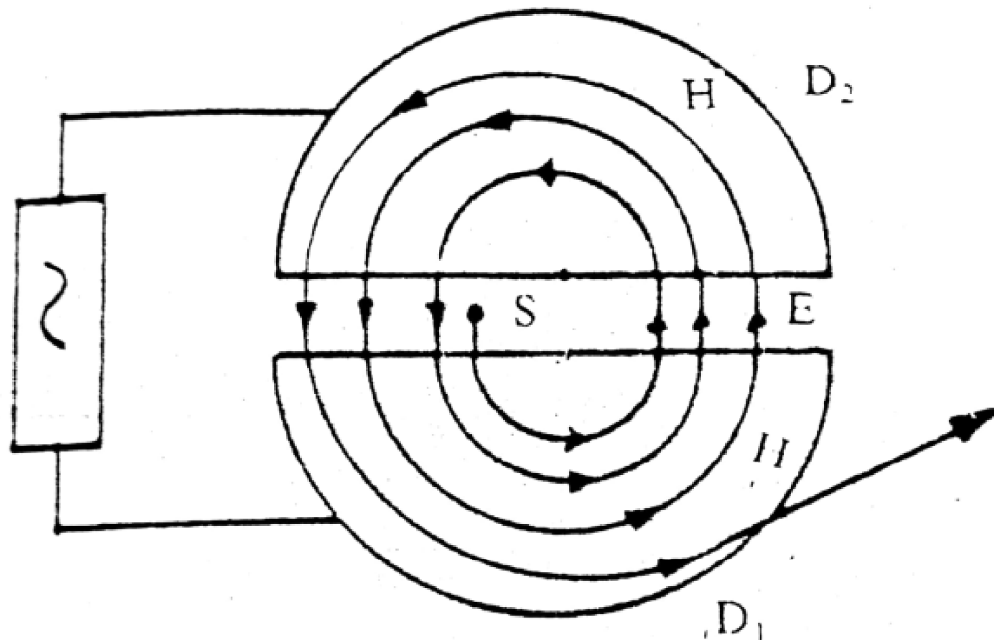
$$v = \frac{E}{H}$$

$$\therefore \quad \frac{q}{m} = \frac{E}{RH^2}$$

ومن هذه المعادلة تتعين النسبة بين الشحنة والكتلة للجسيم وذلك بقياس نصف القطر  $R$  لدائرة مسار الجسيم . ويمكن حساب الكتلة اذا علم مقدار الشحنة ولذلك سمى بمطيف الكتلة . وتخالف النسبة  $q/m$  لنظائر العنصر الواحد ويختلف تبعاً لهذا نصف قطر دائرة المسار وبذلك يمكن الكشف عن النظائر .

#### د – السيكلotron Cyclotron

يستخدم جهاز السيكلotron للحصول على شعاع من الجسيمات المشحونة الموجلة وذلك بواسطة مجال مغناطيسي قوى يؤدي إلى تحريك الجسيمات المشحونة Accelerated في مدارات دائيرية وفي نفس الوقت يتم تعجيلها بواسطة مجال كهربى .



شكل 5-23

يتكون الجهاز من نصف علبة  $D_2, D_1$  وكل منها على شكل حرف دى (Dee) مفرغتين من الهواء تفصلهما مسافة صغيرة . يوضع نصف العلبة بين قطبي مغناطيسي قوى

و اتجاه مجاله  $\vec{H}$  عمودي على مستوى سطح نصف العلبة اللذين بوصلان بمصدر لجهد

متعدد و على التردد High frequency alternating voltage ويكون اتجاه المجال الكهربى الناشئ في الفراغ بين  $D_2, D_1$  عموديا على اتجاه المجال المغناطيسي . يوضع مصدر الجسيمات المشحونة  $S$  في مركز الفتحة بين  $D_2, D_1$  . نفرض أن جسيماً موجباً انبعث من  $S$  عندما كان  $D_2$  موجباً بالنسبة إلى نصف العلبة  $D_1$  في هذه الحالة نجد أن الجسيم الموجب يتاثر بعجلة أثناء قطعه المسافة بين  $D_2, D_1$  ليدخل نصف العلبة  $D_1$  وذلك لوجود المجال الكهربى خلال هذه المسافة وحيث أن نصف العلبة يعتبر سطحاً متساوياً للجهد

Equipotential surface فان المجال الكهربى  $\vec{E}$  داخل أي من نصف العلبة يساوى صفراء لذلك نجد أن الجسيم الموجب داخل  $D_1$  يؤثر عليه المجال المغناطيسي العمودي فقط و يحركه في

قوس من دائرة نصف قطرها  $r_1$  مثلاً وبسرعة ثابتة  $v_1$  ويكون  $r_1 = \frac{mv_1}{qH}$  وعندما يصل

الجسيم إلى حافة  $D_1$  يكون الجهد المتعدد قد انعكس وبذلك يتغير اتجاه المجال الكهربى بين

ويتجه من نصف العلبة  $D_1$  الى  $D_2$  وبالتالي يحدث تعجيل جديد للجسيم أثناء عبره المسافة بين  $D_1, D_2$  ليدخل  $D_2$  وبسرعة  $v_2$  أكبر من السرعة الأولى  $v_1$  ويكون نصف قطر المسار للجسيم داخل  $D_2$  بتأثير  $\vec{H}$  أكبر من نصف القطر  $r_1$  داخل  $D_1$ . وتنكرر هذه العملية بفعل الجهد المتردد بين  $D_2, D_1$  فتزداد سرعة الجسيم الموجب الشحنة حتى يكتسب طاقة عالية جدا عند خروجه من النافذة الخاصة لذلك وال موجودة في نصف العلبة  $D_1$  حيث يصطدم بالهدف Target المراد قذفه بهذه الجسيمات .

السرعة الزاوية  $\omega$  التي يتحرك بها الجسيم في أي دائرة هي :

$$\omega = \frac{v}{r} = \frac{qH}{m}$$

ويلاحظ أن السرعة الزاوية ثابتة ( بفرض أن  $H$  ) واذا كان  $T$  زمن عبور الجسيم لأى من نصفى العلبة وتردد الجهد العالى  $f$  فان :

$$\omega = \frac{2\pi}{T} = 2\pi f = \frac{qH}{m}$$

ويلاحظ أن الزمن اللازم لرسم نصف الدائرة العلوية يساوى الزمن اللازم لرسم نصف الدائرة السفلية مع أنها أصغر وذلك لأن تردد الحركة الدائرية ثابت ولا يتعلق بنصف القطر.

## المراجع

- 1- Basic Laws of Electromagnetism By : I. E. Irodov 1986.
- 2- A Treats on Electricity & Magnetism By : J. C. Maxwell.1954.
- 3- Classical Electrodynamics B: JOHN DAVID JACKSON 1962.
- 4- ELECTROMAGNETIC FIELDS AND WAVES By : Paul Lorain 1969.
- 5- Magnetofluid Dynamics By : Lazar Dragos 1975.